

## รายงานการวิจัย

# เครื่องเหนี่ยวนำให้เกิดความร้อนสำหรับอุตสาหกรรมครัวเรือนแบบ ปรับความถี่ได้

(Induction heating system with variable control frequency for household industry)

ผู้วิจัย

หัวหน้าโครงการ  
พศ.ดร.ชาญชัย ทองโสغا  
สาขาวิชาวิศวกรรมโทรคมนาคม สำนักวิชาวิศวกรรมศาสตร์  
มหาวิทยาลัยเทคโนโลยีสุรนารี

ได้รับทุนอุดหนุนการวิจัยจาก  
กองทุนนวัตกรรมและสิ่งประดิษฐ์สู่สมเด็จพระเทพรัตนราชสุดาฯ สยามบรมราชกุมารี  
มหาวิทยาลัยเทคโนโลยีสุรนารี ปีงบประมาณ 2551  
ผลงานการวิจัยนี้เป็นความรับผิดชอบของหัวหน้าโครงการวิจัยแต่เพียงผู้เดียว  
ถูกภาพันธ์ 2553

## กิตติกรรมประกาศ

ในการจัดทำงานวิจัยเรื่องเครื่องให้ความร้อนแบบเหนี่ยววน (Induction heating) นี้ สามารถเสริสมบูรณ์บรรลุตามวัตถุประสงค์เนื่องด้วยได้รับทุนอุดหนุนการวิจัยจากกองทุน นวัตกรรมและสิ่งประดิษฐ์สมเด็จพระเทพรัตนราชสุดาฯ สยามบรมราชกุมารี และความกรุณาของ บุคคลจากหลายๆ ด้านซึ่งอยู่ให้คำปรึกษา ความช่วยเหลือ รวมถึงข้อเสนอแนะที่เป็นประโยชน์ และ การทำโครงการนี้ ผู้วิจัยขอแสดงความขอบคุณเป็นพิเศษ นายวงศ์วิชิต หอมโภสก นายสำราญ สันทาคุณย์ นายปณกพล แย้มครว นักศึกษามหาวิทยาลัยเทคโนโลยีสุรนารี ที่เป็นผู้ร่วม ออกแบบสร้างเครื่องให้ความร้อนแบบเหนี่ยววนตั้งแต่เริ่มต้นจนเสริสมบูรณ์ รวมถึงสถานที่ทำการ ทดลองเก็บข้อมูลและวิเคราะห์ผลคุณย์เครื่องมือ F4 มหาวิทยาลัยเทคโนโลยีสุรนารี ไว้เป็นอย่างสูง

ผู้ช่วยศาสตราจารย์ ดร. ชาญชัย ทองโสภา  
หัวหน้าโครงการวิจัย  
กุมภาพันธ์ 2553

## บทคัดย่อ

งานวิจัยนี้นำเสนอการออกแบบและสร้างเครื่องให้ความร้อนแบบเหนี่ยวแนด้วยสวิตช์ความถี่สูงสำหรับอุตสาหกรรมอาหาร โดยใช้หลักการเหนี่ยวแนดทางสนามแม่เหล็กไฟฟ้าทำให้เกิดความร้อนขึ้นที่ชั้นงาน ซึ่งเครื่องให้ความร้อนแบบเหนี่ยวแนดทำงานด้วยวงจรฟูลบริดจ์ อินเวอร์เตอร์ โดยใช้ IGBT เป็นอุปกรณ์สวิตช์ทำงานที่ความถี่ 25 kHz ภายใต้การทำงานแบบ ZVS-PWM โดยไม่ใช้มือแปลงความถี่สูงภาคสุดท้ายในการเหนี่ยวแนดควบคุมให้เกิดความร้อนเครื่องให้ความร้อนแบบเหนี่ยวแนดเครื่องนี้ทำงานที่แรงดันไฟฟ้า 220 โวลต์ 50 Hz กระแสอินพุทประมาณ 22 แอมเปอร์ ทำให้เกิดเส้นแรงแม่เหล็กและเกิดกระแสไฟ眷ขึ้นที่คลอดเหนี่ยวแนกับชั้นงาน จากผลการทดลองพบว่าที่ความถี่ 4 โซนนั้นจะมีการส่งผ่านพลังงานมากที่สุดและใช้เวลาในการให้ความร้อนแก่ชั้นงานเร็วขึ้น การเปลี่ยนขนาดของชั้นงานก็มีผลต่อกระแสเอาท์พุต อินเวอร์เตอร์ เมื่อนำมาทดสอบ โดยการต้มน้ำ 15 และ 20 ลิตร สามารถทำให้น้ำเดือดได้ภายในเวลา 17 และ 19 นาทีตามลำดับ การออกแบบและสร้างเครื่องให้ความร้อนแบบเหนี่ยวแนด ใช้ต้นทุนต่ำ กะทัดรัด ความปลอดภัยสูง และง่ายต่อการใช้งาน สามารถนำไปประยุกต์ใช้งานอุตสาหกรรมให้ความร้อนแบบเหนี่ยวแนดสำหรับหม้อต้มน้ำต่อไปได้

## Abstract

This research presents the design and Construction of Induction Heating with High Frequency Switching for Food Industrial, which incorporates a constant frequency 25 kHz. Its operating on ZVS-PWM. A part of high power inverter circuits used IGBT devices for a switch without a high frequency transformer for induction heating. The inductance design and construction a prototype of Induction Heating for boiler machine work for input voltage 220 volts at frequency 50 hertz with a current input approximate 22 Amperes, A maximum power transfer with a full bridge inverter at resonance frequency. When the test 15 and 20 liters of boiling point in 17 and 19 minutes. Which is more suitable and acceptable for industrial and consumer energy utilizations from a practical point of view.

## สารบัญ

<b>เรื่อง</b>	<b>หน้า</b>
กิตติกรรมประกาศ.....	ก
บทคัดย่อภาษาไทย.....	๘
บทคัดย่อภาษาอังกฤษ.....	๑
สารบัญ.....	๙
สารบัญภาพ.....	๙
<b>บทที่ 1 บทนำ</b>	
1.1 ความเป็นมาและความสำคัญของปัจจุบัน.....	1
1.2 ความนุ่งหมายและวัตถุประสงค์ของการวิจัย.....	1
1.3 ทฤษฎีที่ใช้ในการวิจัย.....	2
1.4 ขอบเขตของการวิจัย.....	3
1.5 ขั้นตอนของการวิจัย.....	3
1.6 ประโยชน์ที่คาดว่าจะได้รับ.....	4
<b>บทที่ 2 หลักการและทฤษฎีเครื่องให้ความร้อนแบบเหนี่ยวนำความถี่สูง</b>	
2.1 บทนำ.....	5
2.2 หลักการพื้นฐานของการเหนี่ยวนำความร้อนความถี่สูง.....	5
2.2.1 การหาค่าความเหนี่ยวนำ.....	8
2.2.2 การเหนี่ยวนำทางสนาณแม่เหล็กไฟฟ้า.....	9
2.2.3 ความลึกผิว.....	10
2.2.4 ค่าความด้านทานจำเพาะของโลหะกับอุณหภูมิ.....	12
2.2.5 ความซึมซาบทางแม่เหล็กของโลหะกับอุณหภูมิ.....	15
2.2.6 ความถี่ของเครื่องให้ความร้อนแบบเหนี่ยวนำด้วยสวิตช์ความถี่สูง.....	16
2.3 หลักการพารามิเตอร์.....	17
2.4 ลักษณะของวงจรเครื่องเหนี่ยวนำความร้อนความถี่สูง.....	18
2.4.1 วงจรกำเนิดสัญญาณและวงจรขับเกต.....	18
2.4.2 อินเวอร์เตอร์แบบเต็มบริดจ์ (Full Bridge Inverter).....	18
2.4.3 ไอจีบีที (Insulated Gate Bipolar Transistor, IGBT).....	19
2.5 เรโซแนนซ์.....	23

## สารบัญ(ต่อ)

	หน้า
2.5.1 วงจรรีไซเคิลแบบอนุกรรม.....	23
2.5.2 วงจรรีไซเคิลแบบขานาน.....	29
2.6 การออกแบบคลาดเห็นี่ยวนำ.....	32
2.7 การประมาณกำลังงานของเครื่องเหมี่ยวนำความร้อน.....	35
2.8 สรุป.....	35
<b>บทที่ 3 การออกแบบและหลักการทำงานของวงจร</b>	
3.1 บทนำ.....	37
3.2 วงจรเพาเวอร์ซัพพลาย.....	38
3.2.1 เพาเวอร์ซัพพลายที่ใช้ในส่วนของวงจรควบคุมในโหมดของแรงดัน.....	38
3.2.2 เพาเวอร์ซัพพลายที่ใช้ในส่วนของวงจรขับนำเกท.....	41
3.2.3 เพาเวอร์ซัพพลายที่ใช้ในส่วนของวงจรภาคกำลัง.....	42
3.3 การออกแบบวงจรควบคุมในโหมดของแรงดัน.....	44
3.4 การออกแบบวงจรขับนำเกท.....	46
3.5 การออกแบบวงจรฟูลบริดจ์อินเวอร์เตอร์.....	48
3.6 การออกแบบวงจรรีไซเคิล.....	50
3.7 ลักษณะของภาชนะที่ใช้และการออกแบบคลาดเห็นี่ยวนำ.....	51
3.8 สรุป.....	53
<b>บทที่ 4 การทดสอบและผลการทดสอบเครื่องเหมี่ยวนำความร้อน</b>	
4.1 บทนำ.....	54
4.2 การทดสอบวงจรควบคุมในโหมดของแรงดัน.....	55
4.3 การทดสอบภาคขับเกทของไอจีบีที.....	63
4.4 การทดสอบวงจรสวิตช์ความถี่สูง.....	65
4.5 ผลการทดลอง.....	67
4.5.1 กรณีที่ 1 น้ำ 15 ลิตร.....	69
4.5.2 กรณีที่ 2 น้ำ 20 ลิตร.....	70
4.6 สรุป.....	72
<b>บทที่ 5 สรุปผลและขอเสนอแนะ</b>	
5.1 สรุปผลการทดลอง.....	73

## สารบัญ (ต่อ)

หน้า

5.2 ข้อเสนอแนะ.....	73
บรรณานุกรม.....	75
ภาคผนวก.....	77

## สารบัญภาพ

ภาพที่	หน้า
1.1 หลักการเหนี่ยวนำความร้อน.....	2
2.1 การให้ความร้อนหลักการแรงเคลื่อนไฟฟ้าเหนี่ยวนำง่ายๆ.....	5
2.2 วงจรสมมูลย์ของหม้อแปลงไฟฟ้า.....	7
2.3 วงจรสมมูลย์ของคลาดหนีบานกับชื้นงาน.....	7
2.4 ความหนาแน่นของกระแสและค่าของความลึกเชิงผิว.....	11
2.5 ชื้นงานที่ถูกคลื่อออกเป็นแผ่น.....	11
2.6 ค่าความต้านทานจำเพาะกับเวลา.....	15
2.7 ลักษณะการใช้งานของเครื่องให้ความร้อนแบบเหนี่ยวนำในย่านความถี่ต่างๆ.....	16
2.8 วงจรภาคแหล่งจ่ายไฟฟ้ากระแสสลับความถี่สูง (High Frequency Inverter).....	19
2.9 โครงสร้างของไอจีบีที.....	20
2.10 วงจรสมมูลของ การถ่ายเทควัมร้อนออกจากไอจีบีที.....	22
2.11 วงจรเรโซโนนซ์แบบอนุกรม.....	24
2.12 กราฟความสัมพันธ์ของ XL และ XC ต่อความถี่สำหรับวงจร RLC แบบอนุกรม.....	25
2.13 อิมพิเดนซ์รวมและกระแสที่ไหลในวงจร RLC แบบอนุกรม ที่ความถี่ต่างๆ กระแสในวงจรอนุกรม.....	26
2.14 ลักษณะสัญญาณแรงดันของ $V_R$ , $V_C$ และ $V_L$ ที่จุดเรโซโนนซ์.....	28
2.15 วงจรเรโซโนนซ์แบบขนาน.....	30
2.16 วงจรสมมูลย์ของวงจรเรโซโนนซ์แบบขนาน.....	31
2.17 กราฟแสดงค่าอิมพิเดนซ์และกระแสกับความถี่.....	31
2.18 การออกแบบขอลวดหนีบานกับค่าอินดักเต้นซ์.....	33
2.19 ตัวอย่างของขอลวดหนีบานนิดต่างๆ.....	34
3.1 บล็อกไซโอดแกรมแสดงส่วนประกอบของเครื่องให้ความร้อนแบบเหนี่ยวนำ.....	38
3.2 วงจรเพาเวอร์ซัพพลาย.....	39
3.3 เพาเวอร์ซัพพลายในส่วนของวงจรควบคุมจากแรงดัน.....	39
3.4 วงจรจังของเพาเวอร์ซัพพลาย.....	40
3.5 วงจรจังของเพาเวอร์ซัพพลายในส่วนของวงจรควบคุมจากแรงดัน.....	40

## สารบัญภาพ(ต่อ)

ภาพที่	หน้า
3.6 เพาเวอร์ชั้บพลาຍในส่วนของวงจรขับเกต (หนึ่งในสี่ชุด).....	41
3.7 วงจรริงของเพาเวอร์ชั้บพลาຍในส่วนของวงจรขับนำเกต.....	42
3.8 เพาเวอร์ชั้บพลาຍในส่วนของวงจรภาคกำลัง.....	43
3.9 วงจรริงของเพาเวอร์ชั้บพลาຍในส่วนของวงจรภาคกำลัง.....	43
3.10 ลักษณะวงจรของไอซีเบอร์ UC3879N.....	44
3.11 วงจรริงของไอซีเบอร์ UC3879N.....	45
3.12 ลักษณะของสัญญาณที่ใช้ขับเกตของ IGBT และสัญญาณเอาท์พุต ( $V_{out}$ ) ที่ตัดครั่อมขาด漉ด เหนี่ยวน้ำความถี่สูง.....	45
3.13 แสดงวงจรขับนำเกตผ่านไอซีเบอร์ PC929.....	47
3.14 วงจรริงของวงจรขับนำเกตผ่านไอซีเบอร์ PC929.....	47
3.15 แสดงวงจรฟูลบริดจ์อินเวอตอร์.....	49
3.16 วงจรริงของฟูลบริดจ์อินเวอตอร์.....	49
3.17 ลักษณะของหน้ากากวิเตี้ยที่เลือกใช้.....	51
3.18 ลักษณะของขาด漉ดเหนี่ยวน้ำ.....	52
3.19 ลักษณะของเครื่องให้ความร้อนด้วยการเหนี่ยวน้ำและภาชนะที่ใช้.....	52
4.1 เครื่องให้ความร้อนด้วยการเหนี่ยวน้ำ.....	54
4.2 ลักษณะของสัญญาณ OUT A จากไอซี UC3879N.....	55
4.3 ลักษณะของสัญญาณ OUT B จากไอซี UC3879N.....	56
4.4 ลักษณะของสัญญาณ OUT C จากไอซี UC3879N.....	56
4.5 ลักษณะของสัญญาณ OUT D จากไอซี UC3879N.....	57
4.6 แสดงลักษณะของสัญญาณ OUT A เปรียบเทียบกับ OUT D ของไอซี UC3879N.....	58
4.7 แสดงลักษณะของสัญญาณ OUT A เปรียบเทียบกับ OUT B ของไอซี UC3879N.....	58
4.8 แสดงลักษณะของสัญญาณ OUT A เปรียบเทียบกับ OUT C ของไอซี UC3879N.....	59
4.9 แสดงลักษณะของสัญญาณ OUT B เปรียบเทียบกับ OUT C ของไอซี UC3879N.....	59
4.10 แสดงลักษณะของสัญญาณ OUT B เปรียบเทียบกับ OUT D ของไอซี UC3879N.....	60
4.11 แสดงลักษณะของสัญญาณ OUT C เปรียบเทียบกับ OUT D ของไอซี UC3879N.....	60

## สารบัญภาพ(ต่อ)

ภาพที่	หน้า
4.12 สัญญาณเอาท์พุทที่ออกมาจากไอซี UC3879N ของ OUT A ที่ทำงานพร้อมกับ OUT D และ OUT B ที่ทำงานพร้อมกับ OUT C.....	61
4.13 สัญญาณเอาท์พุทที่ออกมาจากไอซี UC3879N ของ OUT A ที่ทำงานไม่พร้อมกับ OUT B และ OUT B ที่ทำงานพร้อมกับ OUT D.....	62
4.14 สัญญาณทั้งสี่ของไอซี UC3879N.....	62
4.15 สัญญาณขับเกท ไอจีทีที่ออกจากไอซี UC3879N ที่ OUT A เปรียบเทียบกับ OUT B.....	63
4.16 สัญญาณก่อนที่จะเข้าวงจรขยายสัญญาณเปรียบเทียบกับหลังขยายสัญญาณของ OUT A..	64
4.17 สัญญาณที่ผ่านตัวต้านทานที่ขาเกท.....	64
4.18 ลำดับการทำงานของวงจรสวิตช์ความถี่สูง.....	66
4.19 ลักษณะสัญญาณที่ขาดแหวน.....	67
4.20 เครื่องเหนี่ยวนำความร้อนขณะทำการทดลอง.....	68
4.21 ขณะน้ำในภาชนะเริ่มเดือด.....	68
4.22 กราฟแสดงความสัมพันธ์ระหว่างอุณหภูมิของน้ำ 15 ลิตรกับเวลา.....	69
4.23 ประสิทธิภาพของเครื่องให้ความร้อนแบบเหนี่ยวนำความถี่สูงกับเวลาของน้ำ 15 ลิตร....	69
4.24 กราฟแสดงความสัมพันธ์ระหว่างอุณหภูมิของน้ำ 20 ลิตรกับเวลา.....	70
4.25 ประสิทธิภาพของเครื่องให้ความร้อนแบบเหนี่ยวนำความถี่สูงกับเวลาของน้ำ 20 ลิตร...71	

## บทที่ 1

### บทนำ

#### 1.1 ความเป็นมาและความสำคัญของปั๊มห่า

ในปัจจุบันนี้อุปกรณ์กำเนิดพลังงานความร้อนมีอยู่มากหลายชนิดคัวบกัน เพื่อตอบสนองความต้องการของชีวิตที่หลากหลายมากขึ้น นอกจากจะมีการพัฒนาให้ตัวผลิตภัณฑ์ใช้งานได้ง่ายขึ้นแล้ว รูปแบบของอุปกรณ์กำเนิดพลังงานความร้อนยังมีหลากหลายประเภท ไม่ว่าจะเป็น ชุดควบความร้อนหรือแก๊ส ในขณะเดียวกันการกำเนิดความร้อนโดยอาศัยหลักการเหนี่ยวแน่ได้ถูกนำมาใช้เพิ่มมากขึ้นเรื่อยๆ แทนที่ชุดควบความร้อนและแก๊ส เนื่องจากความก้าวหน้าทางด้านอุปกรณ์อิเล็กทรอนิกส์ รวมถึงการพัฒนาวงจรินเวอร์เตอร์ความถี่สูง ที่สามารถจ่ายไฟด้วยไฟฟ้า ให้ความร้อนให้มีขนาดที่เล็กลง น้ำหนักเบาขึ้น และวิธีการใช้งานที่ง่ายขึ้น

การให้ความร้อนโดยการเหนี่ยวแน่นี้ ความร้อนจะเกิดขึ้นที่ผิวของภาชนะ โดยตรง เนื่องจากเกิดกระแสไฟลุวน (Eddy current) ทำให้เกิดความร้อนได้ในเวลาอันรวดเร็ว เมื่อเปรียบเทียบกับการใช้ชุดควบความร้อนหรือแก๊ส ซึ่งเมื่อพิจารณาถึงการถ่ายเทความร้อนภายใน จะพบว่าความร้อนที่เกิดจากชุดควบความร้อนหรือแก๊สจะถ่ายเทจากชุดควบหรือเปลวไฟไปสู่โลหะตัวกลาง แล้วจึงถ่ายเทจากโลหะตัวกลางให้กับน้ำอีกต่อหนึ่ง จึงเป็นไปได้ที่ประสิทธิภาพของการใช้ชุดควบความร้อนหรือแก๊สจะลดต่ำลงเมื่อเทียบกับการให้ความร้อนโดยการเหนี่ยวแน่ที่มีหลักการทำงานคือ เมื่อป้อนกระแสสัมบmarshall (Magnetic flux) เพื่อเหนี่ยวแน่ให้เกิดกระแสไฟลุวน (Eddy current) ขึ้นที่ผิวของภาชนะ และถ่ายเทความร้อนไปยังน้ำที่อยู่ในภาชนะนั้น โดยตรง โดยความร้อนที่เกิดขึ้นจะไม่มีการสัมผัสนานทางไฟฟ้าระหว่างชุดควบเหนี่ยวแนกกับภาชนะ ทำให้มีความปลอดภัยต่อการใช้งาน และประสิทธิภาพดีขึ้นมากอีกด้วย

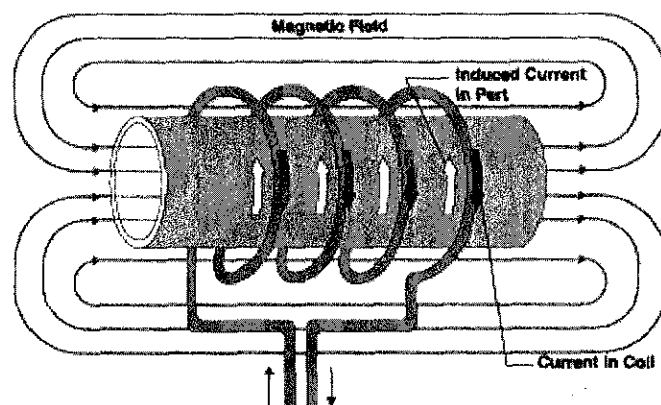
#### 1.2 ความนุ่งหมายและวัตถุประสงค์

- 1) เพื่อศึกษาให้เข้าใจถึงหลักการทำงานของการให้ความร้อนแบบเหนี่ยวแน่ความถี่สูง
- 2) เพื่อศึกษา ออกแบบ และพัฒนาที่เกี่ยวข้องกับการให้ความร้อนแบบเหนี่ยวแน่ความถี่สูง
- 3) เพื่อศึกษาให้เข้าใจถึงประสิทธิภาพการพากความร้อนของการให้ความร้อนแบบเหนี่ยวแน่ความถี่สูง

4) สามารถวิเคราะห์ถึงสาเหตุและปัจจัยที่เกี่ยวข้องกับประสิทธิภาพของการพาราความร้อนของ การให้ความร้อนแบบเหนี่ยวนำมีความถี่สูง

### 1.3 ทฤษฎีที่ใช้ในการวิจัย

การให้ความร้อนหลักการแรงเคลื่อนไฟฟ้าเหนี่ยวนำ (Induction Heating) เป็นปรากฏการณ์ทั่วไป ทางไฟฟ้า และทางความร้อนร่วมกัน โดยมีสาเหตุจากทั้งการเหนี่ยวนำของคลื่นแม่เหล็กไฟฟ้า (Electromagnetic Induction) ปรากฏการณ์พิว (Skin Effect) และการถ่ายเทความร้อน (Heat Transfer) จากปรากฏการณ์ทั้งสาม ทำให้สามารถอธิบายการให้ความร้อนหลักการแรงเคลื่อนไฟฟ้า เหนี่ยวนำโดยย่อได้ดังนี้ เมื่อให้ไฟฟ้ากระแสสลับผ่านเข้าสู่ชุดวงจรเหนี่ยวนำที่มีชิ้นงานที่เป็นโลหะ อยู่ภายใน กระแสไฟฟ้าที่จ่ายเข้าสู่ชุดวงจรเหนี่ยวนำ จะเหนี่ยวนำให้เกิดสนามแม่เหล็กขึ้นในชุดวงจร คลื่องผ่านชิ้นงาน เมื่อจากชิ้นงานเป็นโลหะ สนามแม่เหล็กที่คลื่องผ่านชิ้นงาน จะเหนี่ยวนำให้มี กระแสไฟฟ้าไหล โดยกระแสส่วนมากจะไหลผ่านชิ้นงานในบริเวณความลึกระดับพิว (Skin Depth) ของชิ้นงาน กระแสที่ไหลวนรอบชิ้นงาน ทำให้เกิดความร้อนขึ้นที่บริเวณผิวของชิ้นงาน ความร้อน นี้จะอุ่นภายนอกชิ้นงานและความต้านทานสมมูลของเส้นทางที่กระแสไฟฟ้าไหลผ่าน โดย ความร้อนที่เกิดขึ้นนี้ จะเกิดการถ่ายเทไปสู่บริเวณอื่น ๆ โดยการนำความร้อน การพาราความร้อน และ การแพร่รังสีที่บริเวณผิวของโลหะที่เกิดความร้อน



รูปที่ 1.1 หลักการเหนี่ยวนำความร้อน

รูปที่ 1.1 แสดงการให้ความร้อนด้วยหลักการแรงเคลื่อนไฟฟ้าเหนี่ยวนำอย่างง่าย ๆ กล่าวคือ ถ้า วางชิ้นงานไว้ในชุดวงจร หรือไกด์กับชุดวงจร ชิ้นงานนั้นจะถูกเหนี่ยวนำให้เกิดกระแสไฟ流วนภายใน

และเกิดความร้อนขึ้น ถ้าพิจารณาทั้งระบบ จะพบว่าคล้ายกับเป็นหม้อแปลงชุดหนึ่ง ขดลวดหนึ่ง匝 จะเป็นแม่เหล็กคลุมปฐมภูมิ (Primary Coil) ของหม้อแปลงที่มีจำนวนรอบเท่ากัน จำนวนรอบของขดลวดหนึ่ง匝 ล้วนชื่นงานที่เป็นโลหะที่ดูดให้ความร้อน จะถูกเบร์ยนแม่เหล็ก (Secondary Coil) ของหม้อแปลงที่มีจำนวนรอบเป็น 1 รอบเท่านั้น

#### 1.4 ขอบเขตของการวิจัย

บทที่ 1 ความเป็นมาและความสำคัญของปัญหา ความผุ่งหมายและวัตถุประสงค์ ทฤษฎีที่ใช้ในการวิจัย ขอบเขตการวิจัย ขั้นตอนการวิจัย และประโยชน์ที่คาดว่าจะได้รับ

บทที่ 2 กล่าวถึงหลักการพื้นฐานของการให้ความร้อนโดยการเหนี่ยวนำความถี่สูง หลักการพากความร้อน ลักษณะของวงจรเครื่องหนึ่ง匝 ความร้อนความถี่สูง หลักการเร-โซแนซ์ และการออกแบบขดลวดหนึ่ง匝

บทที่ 3 การออกแบบและหลักการทำงานของวงจรเพาเวอร์ชั้บพลาสติก วงจรควบคุมในโหมดของแรงดัน วงจรขับนำแกต วงจรฟูลบริดจ์อินเวอร์เตอร์ และวงจรเรโซแนซ์

บทที่ 4 การทดสอบและผลการทดสอบเครื่องหนึ่ง匝 ความร้อน การทดสอบวงจรควบคุม ในโหมดของแรงดัน การทดสอบภาคขั้นนำแกทของไอจีบีที การทดสอบอินเวอร์เตอร์ความถี่สูง และผลการทดลอง

บทที่ 5 สรุปผลการวิจัยและข้อเสนอแนะ

#### 1.5 ขั้นตอนของการวิจัย

- 1) ศึกษาและค้นคว้าข้อมูลเกี่ยวกับหลักการเหนี่ยวนำความถี่สูง
- 2) ศึกษาและออกแบบวงจรรวมและขดลวดหนึ่ง匝
- 3) ทดสอบพร้อมทั้งเก็บข้อมูลเพื่อหาประสิทธิภาพของเครื่อง
- 4) วิเคราะห์และสรุปผลการทดลอง
- 5) จัดทำรูปเล่มรายงาน

## 1.6 ประโยชน์ที่คาดว่าจะได้รับ

สามารถนำความรู้และเครื่องให้ความร้อนด้วยวิธีเหนี่ยวนำต้นแบบที่ได้จากการวิจัยไปพัฒนา และประยุกต์ใช้งานเพื่อความสะดวกตามความต้องการ ทั้งในภาคครัวเรือนและภาคอุตสาหกรรมต่อไป

## บทที่ 2

### หลักการและพฤษฎีเครื่องให้ความร้อนแบบเหนี่ยวนำความถี่สูง

#### 2.1 บทนำ

หม้อต้มน้ำหรือหม้อผลิตไอน้ำส่วนใหญ่จะสร้างเป็นภาชนะรูปทรงกระบอกเพื่อบรรจุน้ำ หรือของเหลวแล้วให้ความร้อนแก่น้ำหรือของเหลวด้วยความร้อนที่ได้จากการเผาไหม้ทำให้น้ำส่วนใหญ่เปลี่ยนสถานะโดยการระเหยเป็นไอน้ำ พลังงานจากไอน้ำที่ได้สามารถนำไปใช้ประโยชน์ทางด้านความร้อนและกำลังงานในกิจการต่างๆ เช่น การทำน้ำร้อนในโรงเรือน การรีดผ้าอบผ้าในโรงพยาบาล การผลิตไฟฟ้าในโรงจักรไฟฟ้า และการฆ่าเชื้อในอุตสาหกรรมอาหาร เป็นต้น

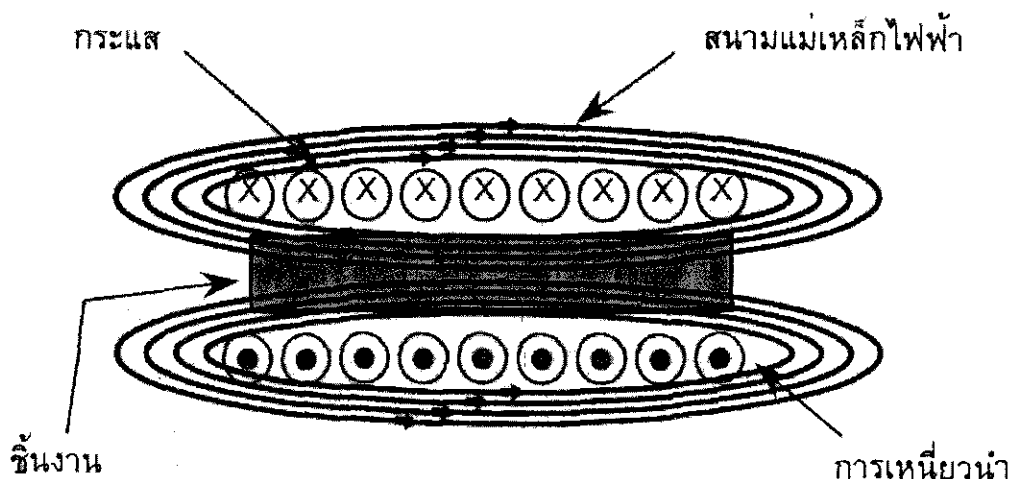
หม้อต้มน้ำหรือหม้อผลิตไอน้ำในโรงงานอุตสาหกรรม จะแบ่งเป็นชนิดท่อน้ำและห่อไฟ ทั้งนี้ขึ้นอยู่กับการจัดการแหล่งให้พลังงานความร้อนหรือก๊าซร้อนที่ได้จากการเผาไหม้ ไฟไปถ่ายไอน้ำความร้อนให้แก่น้ำซึ่งถือเป็นชนิดท่อน้ำแสดงว่าก๊าซร้อนหรือแหล่งให้พลังงานความร้อนอยู่ภายนอกห่อ ส่วนชนิดห่อไฟก๊าซร้อนไฟในห่อ นอกจากนี้น้ำมันยังสามารถใช้เป็นสารตัวกลางของการให้ความร้อนโดยตรงแก่ผู้ใช้ และสามารถผลิตไอน้ำได้โดยการสร้างเป็นเครื่องแลกเปลี่ยนความร้อน

สำหรับหม้อต้มน้ำหรือหม้อผลิตไอน้ำที่มีได้ใช้ความร้อนจากการเผาไหม้โดยตรง ได้แก่ หม้อไอน้ำที่นำเอาความร้อนที่ปล่อยทึบกลับมาใช้ใหม่ หม้อน้ำที่ใช้คลอดไฟฟ้าหรือเลกโทรด และหม้อน้ำที่ใช้การเหนี่ยวนำสนามแม่เหล็กในการให้ความร้อน

#### 2.2 หลักการพื้นฐานของการเหนี่ยวนำความร้อนความถี่สูง

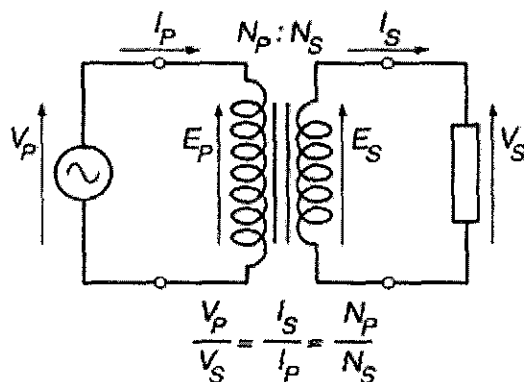
การให้ความร้อนแบบเหนี่ยวนำเกิดจากพฤษฎีทางไฟฟ้าและความร้อนร่วมกัน โดยมีสาเหตุจากการเหนี่ยวนำของคลื่นแม่เหล็กไฟฟ้า (Electro-magnetic induction), ปราภูภารณ์ที่ผิว (Skin effect) และ การถ่ายเทความร้อน (Heat transfer) จากปราภูภารณ์ทึบสาม ทำให้สามารถอธิบายการให้ความร้อนหลักการแรงคลื่นไฟฟ้าหนี่ยวนำโดยย่อได้ดังนี้ เมื่อให้ไฟฟ้ากระแสสลับผ่านเข้าสู่ชุด漉ดเหนี่ยวนำที่มีชิ้นงานที่เป็นโลหะอยู่ภายใน กระแสไฟฟ้าที่จ่ายเข้าสู่ชุด漉ดเหนี่ยวนำ จะเหนี่ยวนำให้เกิดสนามแม่เหล็กขึ้นในชุด漉ดคดด้องผ่านชิ้นงาน เนื่องจากชิ้นงานเป็นโลหะสนามแม่เหล็กที่คดด้องผ่านชิ้นงาน จะเหนี่ยวนำให้มีกระแสไฟฟ้าไหล โดยกระแสส่วนมากจะไหลผ่านชิ้นงานในบริเวณความลึกระดับผิว (Skin Depth) ของชิ้นงาน กระแสที่ไหลวนรอบชิ้นงาน ทำ

ให้เกิดความร้อนขึ้นที่บริเวณผิวของชิ้นงาน ความร้อนนี้ขึ้นอยู่กับปริมาณกระแสที่เหนือขึ้นนำ และความต้านทานสมมูลของเส้นทางที่กระแสไหลผ่าน โดยความร้อนที่เกิดขึ้นนี้ จะเกิดการถ่ายเทไปสู่บริเวณอื่น ๆ โดยการนำความร้อน การพาความร้อน และการแผ่รังสีที่บริเวณผิวของโลหะที่เกิดความร้อน

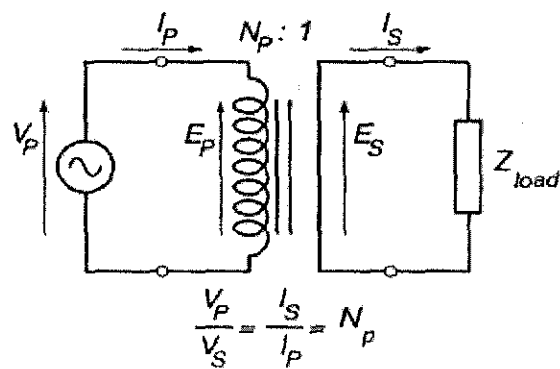


รูปที่ 2.1 การให้ความร้อนหลักการแรงเคลื่อนไฟฟ้าเหนือขึ้นนำอย่างง่าย

จากรูปที่ 2.1 เป็นการแสดงถึงหลักการให้ความร้อนด้วยแรงเคลื่อนไฟฟ้าเหนือขึ้นนำอย่างง่าย ก่อร่องคือ เมื่อมีกระแสไฟฟ้าผ่านชุดวงจรซึ่งพันอยู่รอบชิ้นงาน จะเกิดสนามแม่เหล็กขึ้นรอบๆ ชุดวงจรนั้น ชิ้นงานนั้นจะถูกเหนือขึ้นนำให้เกิดกระแสไฟฟ้าวนภายในและเกิดความร้อนขึ้น ถ้าพิจารณาทั้งระบบ จะพบว่าคล้ายกับเป็นหม้อแปลงชุดหนึ่ง โดยที่ ชุดวงจรเหนือขึ้นนำ จะเป็นแม่ข่ายชุดวงจรปฐมภูมิ (Primary Coil) ของหม้อแปลงที่มีจำนวนรอบเท่ากับจำนวนรอบของชุดวงจรเหนือขึ้นนำ ส่วน ชิ้นงานที่เป็นโลหะที่ถูกให้ความร้อน จะถูกเปรียบเสมือนชุดวงจรทุติยภูมิ (Secondary Coil) ของหม้อแปลงที่มีจำนวนรอบเป็น 1 รอบเท่านั้น เมื่อไฟฟ้ากระแสสลับที่ถูกเหนือขึ้นในชิ้นงาน จะไหลอยู่ภายในเนื้อโลหะเอง ซึ่งสามารถเปรียบได้เป็นการทางไฟฟ้าที่มีสภาพเกือบจะลักษณะเดียวกัน ความต้านทานสมมูลของชิ้นงานโลหะค่อนข้างต่ำมาก จากการอธิบายข้างต้นหากจะเขียนเป็นวงจรสมมูลเปรียบเทียบกันระหว่างหม้อแปลงไฟฟ้ากับการให้ความร้อนหลักการแรงเคลื่อนไฟฟ้าเหนือขึ้นนำ จะแสดงให้เห็นได้อย่างชัดเจนในรูปที่ 2.2 และรูปที่ 2.3 แสดงถึงลักษณะวงจรสมมูลของ ชุดวงจรเหนือขึ้นนำและชิ้นงานโลหะ



รูปที่ 2.2 วงจรสมมูลของหม้อแปลงไฟฟ้า



รูปที่ 2.3 วงจรสมมูลของขดลวดเหนี่ยวนำกับชี้นงาน

รูปที่ 2.3 ถ้า  $I_p$  เป็นกระแสไฟฟ้าที่ไหลผ่านขดลวดเหนี่ยวนำ เป็นสาเหตุให้เกิดการเหนี่ยวนำกระแสไฟฟ้า  $I_s$  ไหลวนอยู่ในชี้นงาน จากกฎความสัมพันธ์ของหม้อแปลงไฟฟ้า จะทำให้กระแสทั้งสองมีความสัมพันธ์กันดังสมการ 2.1

$$I_s = N_p I_p \quad (2.1)$$

โดยที่  $N_p$  คือจำนวนรอบของขดลวดเหนี่ยวนำ และกำลังสูญเสียเป็นความร้อนในชี้นงานจะมีค่าเท่ากับสมการ 2.2

$$P_w = (N_p I_p)^2 R_w \quad (2.2)$$

โดยที่  $R_w$  คือความต้านทานสมมูลของชี้นงาน

### 2.2.1 การหาค่าความหนี่ยวนำ

ค่าความหนี่ยวนำถูกกำหนดโดย 4 ปัจจัยดังนี้

#### 1. จำนวนรอบของขดลวด

ถ้าตัวหนี่ยวนำมีจำนวนรอบของขดลวดมากขึ้น สนามแม่เหล็กที่เกิดจากการไฟฟ้าน่องกระระยะไฟฟ้าในขดลวดก็จะเกิดขึ้นมากด้วย สนามแม่เหล็กปริมาณมากนี้ จะทำให้เกิดแรงดันไฟฟ้าขึ้นในตัวหนี่ยวนำ และจากการที่มีเดินเรียงแม่เหล็กจำนวนมากตัดกับขดลวด จึงส่งผลให้ค่าความหนี่ยวนามากตามไปด้วย ดังนั้น ค่าความหนี่ยวนำ จึงเป็นสัดส่วนโดยตรงกับจำนวนรอบของขดลวด

#### 2. พื้นที่ของขดลวด

ถ้าพื้นที่ของขดลวดเพิ่มขึ้นสำหรับขดลวดที่มีจำนวนรอบใดๆ จะทำให้เดินเรียงแม่เหล็กมีจำนวนมากขึ้นด้วย และการมีสนามแม่เหล็กเพิ่มขึ้นจะทำให้ค่าความหนี่ยวนำเพิ่มขึ้นตาม ดังนั้น ค่าความหนี่ยวนำ จึงเป็นสัดส่วนโดยตรงกับพื้นที่ของขดลวด

#### 3. ความยาวของขดลวด

ถ้าทำให้ขดลวดจำนวน 4 รอบขยายพื้นที่ออก ผลรวมของสนามแม่เหล็กที่เกิดขึ้นจากขดลวดแต่ละ匝จะมีปริมาณลดลง ในทางกลับกันถ้าขดลวดที่มีจำนวนเท่าเดิมนี้นำมาพันให้อยู่ชิดกันมากขึ้น ความยาวของขดลวดถันลงสนามแม่เหล็กที่เกิดจากขดลวดในแต่ละ匝จะเสริมซึ้งกันและกัน ทำให้เกิดสนามแม่เหล็กที่มีปริมาณมากขึ้น ทำให้ค่าความหนี่ยวนามีค่ามากตามไปด้วย ดังนั้น ค่าความหนี่ยวนำจึงเป็นสัดส่วนผกผันกับความยาวของขดลวด

#### 4. วัสดุที่นำมาใช้ทำขดลวด

ตัวหนี่ยวนำส่วนมากมีแกนที่ทำจากวัสดุจำพวกนิกเกิล โคนอลต์ เหล็ก เฟอร์ไรต์ หรืออัลลอย ซึ่งแกนเหล่านี้มีคุณสมบัติที่จะช่วยรวมหรือเพิ่มความเข้มของสนามแม่เหล็ก ดังนั้น ค่าความซึมซาบได้ (Permeability) จึงเป็นอีกปัจจัยหนึ่งที่มีผลต่อค่าความหนี่ยวนำ โดยถ้าค่าความซึมซาบได้ของวัสดุที่ใช้ทำแกนมีค่ามาก ก็จะทำให้ค่าความหนี่ยวนามีค่ามากตามไปด้วย

จากปัจจัยทั้ง 4 ประการที่มีผลต่อค่าความหนี่ยวนำ ดังนั้นจึงสามารถนำมาเขียนเป็นได้ตามสมการ 2.3 คำนวณหาค่าความหนี่ยวนำได้ดังนี้

$$L = \frac{a^2 N^2}{9a + 10b} \quad (2.3)$$

โดยที่  $L$  คือ ค่าความเหนี่ยวนำ ( $\mu H$ )

$N$  คือ จำนวนรอบของขดลวด

$a$  คือ รัศมีของขดลวดเหนี่ยวนำที่พันแล้ว (นิ้ว)

$b$  คือ ความสูงของขดลวดเหนี่ยวนำที่พันแล้ว (นิ้ว)

### 2.2.2 การเหนี่ยวนำทางสนามแม่เหล็กไฟฟ้า

เมื่อจ่ายกระแสไฟกับขดลวดเหนี่ยวนำ สนามแม่เหล็กไฟฟ้าจะเกิดขึ้นรอบๆ ขดลวดซึ่งสอดคล้องกับกฎของแอมเปอร์ (Ampere's Law)

$$\int H dI = Ni = F \quad (2.4)$$

$$\emptyset = \mu H A$$

ซึ่งวัตถุที่ใส่เข้าไปในส่วนของพื้นที่ที่เกี่ยวกับสนามแม่เหล็กไฟฟ้าเป็นสาเหตุทำให้เกิดการเปลี่ยนแปลงความเร็วของการเคลื่อนไหวเกี่ยวกับสนามแม่เหล็ก ความหนาแน่นของส่วนพื้นที่ที่เกิดสนามแม่เหล็กจะเกิดขึ้นที่บริเวณตรงกลางจากพื้นผิวมากที่สุด ซึ่งคล้ายกับกฎของฟาราเดย์ (Faraday's Law) เมื่อจ่ายกระแสเข้ากับพื้นผิวของวัตถุที่สามารถนำไฟฟ้าได้มีความสัมพันธ์กลับกันกับกระแสบนวงจรการเหนี่ยวนำ ดังสมการที่ 2.4 เกิดกระแสบนพื้นผิวของวัตถุ

$$E = \frac{d\lambda}{d\lambda} = N \frac{d\emptyset}{dt} \quad (2.5)$$

ดังนั้นจึงเป็นสาเหตุให้เกิดพลังงานทางไฟฟ้าจากกระแสชักจูงและกระแสบนแปลงเป็นพลังงานในรูปของความร้อน ดังสมการที่ 2.5

$$P = \frac{E^2}{R} = I^2 R \quad (2.6)$$

ซึ่งค่าของตัวต้านทานได้จากค่าของความหนาแน่น และ ค่าความซึมซาบได้ของวัตถุที่สามารถนำไฟฟ้าได้ ส่วนกระแสได้จากค่าความหนาแน่นของสนามแม่เหล็กไฟฟ้า พลังงานความร้อนจะเกิดขึ้นได้โดยมีความสัมพันธ์กับค่าของความลึกผิว ถ้าวัตถุที่สามารถนำไฟฟ้าได้ เช่น เหล็ก พลังงานความร้อนที่เกิดขึ้นจากสนามแม่เหล็กจะมีค่าเพิ่มขึ้น โดยจำนวนของพลังงานความร้อนที่ได้จะมากขนาดไหนขึ้นอยู่กับขนาดของวัตถุด้วยพลังงานจะเพิ่มขึ้นถ้าวัตถุมีขนาดเล็กมากๆ เมื่อจาก พลังงานมีการสูญเสียมากกว่า 10 เปอร์เซ็นต์

### 2.2.3 ความลึกผิว

ปรากฏการณ์ที่สัญญาณความถี่สูงไหลที่ผิวและความถี่ต่ำไหลลึกลงไปในผิวเรือยา ตาม ความถี่ที่ลดลง ดังสมการที่ 2.7 และสมการที่ 2.8 เราเรียกว่าเกิดปรากฏการณ์ Skin Effect

$$i_x = i_0 e^{-x/\delta} \quad (2.7)$$

เมื่อ  $i_x$  คือ ความหนาแน่นของกระแสที่  $x$

$i_0$  คือ ความหนาแน่นของกระแสบนความลึกผิว

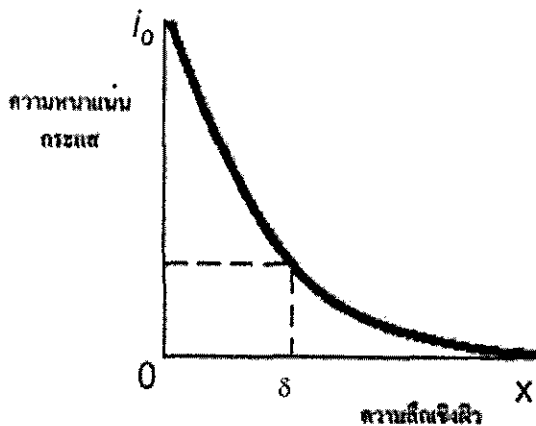
$\delta$  คือ ความลึกผิว

$$\delta = \sqrt{\frac{2\rho}{\mu\omega}} \quad (2.8)$$

$\rho$  คือ ความควบแน่น

$\mu$  คือ ความซึมซาบได้

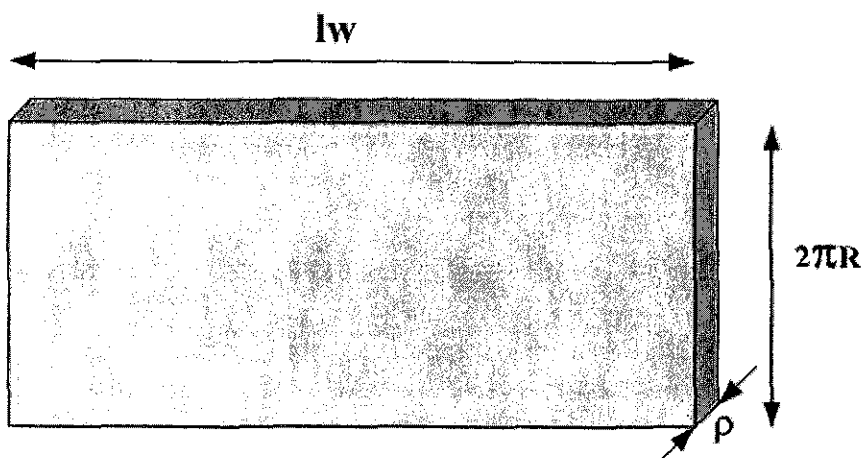
$\omega$  คือ ความถี่ที่กระแสไหลผ่านวัตถุ



รูปที่ 2.4 ความหนาแน่นของกระแสและค่าของความถี่แม่เหล็กผิว

จากสมการที่ 2.7 จะเห็นว่าค่าความถี่ผิวที่ได้ขึ้นอยู่กับ ค่าความหนาแน่น ค่าความชื้นชาน ได้ และความถี่ของวัตถุ รูปที่ 2.4 เป็นกราฟที่แสดงความสัมพันธ์ระหว่างค่าความหนาแน่นของกระแสและค่าของความถี่แม่เหล็กผิว

ถ้าพิจารณาว่ากระแสโดยส่วนมากไหลอยู่ในระดับความถี่ผิว และความต้านทานสมมูลย์ของชิ้นงานจะพิจารณาชิ้นงานทรงกระบอก จากการคลื่อออกเป็นแผ่นบาง มีระบบทางการไหลของกระแสมีค่าเท่ากับขนาดเส้นรอบวงของชิ้นงานทรงกระบอกที่มีความหนาเท่ากับความถี่ผิว



รูปที่ 2.5 ชิ้นงานที่ถูกคลื่อออกเป็นแผ่น

จากค่าความต้านทาน  $R = \frac{\rho l}{A}$  ดังนั้นค่าความต้านทานของชิ้นงานรูปทรงกรวยก็จะได้  
ออกเป็นแบบดังรูปที่ 2.5 จะมีความหนาของชิ้นงานเท่ากับความลึกผิว โดยค่าความลึกผิวสามารถหา  
ได้จากสมการ 2.9

$$R_w = \rho \frac{2\pi R}{\delta_{l_w}} \quad (2.9)$$

ดังนั้น

$$R_w \propto \frac{\rho}{\delta} = \sqrt{\rho \mu f} \quad (2.10)$$

สรุปได้คร่าวๆ ว่า ค่าความต้านทานของชิ้นงานจะแปรผันโดยตรงกับรากที่สองของค่าความ  
ต้านทานจำเพาะของชิ้นงาน รากที่สองของค่าความซึ่งซาบทางแม่เหล็กของชิ้นงาน และรากที่สอง  
ของความถี่ของแหล่งจ่ายไฟฟ้ากระแสสลับ

#### 2.2.4 ค่าความต้านทานจำเพาะของโลหะกับอุณหภูมิ

ค่าความต้านทานจำเพาะโดยทั่วไปจะขึ้นกับสารที่เป็นชิ้นงาน โดยปกติสารที่เป็นพลาสติก  
โลหะเมื่อมีอุณหภูมิสูงขึ้น ค่าความต้านทานจำเพาะจะเพิ่มขึ้น ในลักษณะเชิงเส้นความสัมพันธ์ใน  
ลักษณะทั่วไปจะเป็นดังสมการที่ 2.11

$$\rho_\theta = \rho_i [1 + \alpha(\theta - \theta_i)] \quad (2.11)$$

โดยที่  $\rho_\theta$  คือค่าความต้านทานจำเพาะ ( $\Omega_m$ ) ที่อุณหภูมิ  $\theta$  ( $^{\circ}\text{C}$ ) ใดๆ และ  $\rho_i$  คือความต้านทาน  
จำเพาะที่อุณหภูมิ  $\theta_i$  ส่วน  $\alpha$  คือค่าสัมประสิทธิ์ของสารชนิดต่างๆ ในทางปฏิบัติจะพบว่าค่าความ  
ต้านทานจำเพาะของชิ้นงานจะเปลี่ยนแปลงไปตามอุณหภูมิ ในการคำนวณค่าความต้านทานจำเพาะ  
สมมูลย์จะพิจารณาจากกำลังที่ชิ้นงาน โดยกำลังที่ชิ้นงานจะแปรตาม  $\rho / \delta$  หรืออีกนัยหนึ่งคือแปร  
ตาม  $\sqrt{\rho}$  ดังนั้นถ้าให้ตัวแปรอื่นคงที่และพิจารณาว่าค่าความต้านทานจำเพาะของชิ้นงานจะแปรผัน  
กับอุณหภูมิเป็นเชิงเส้นจะได้ว่า

$$\rho_0 = \rho_1 + \frac{\theta - \theta_1}{\theta_2 - \theta_1} (\rho_2 - \rho_1) \quad (2.12)$$

และ

$$\frac{d\theta}{dt} = C \sqrt{\rho} \quad (2.13)$$

โดยที่  $C$  = ค่าคงที่  
จัดรูปสมการที่ 2.12 ใหม่จะได้

$$\int_{\theta_1}^{\theta_2} \frac{d\theta}{\sqrt{\rho_1 + \frac{\theta - \theta_1}{\theta_2 - \theta_1} (\rho_2 - \rho_1)}} = \int_0^1 C dt \quad (2.14)$$

ดังนั้นเวลาที่ใช้ในการให้ความร้อนจนอุณหภูมิ  $\theta_1$  เปลี่ยนเป็น  $\theta_2$  เท่ากับ

$$t = \frac{(\theta_2 - \theta_1)}{(\rho_2 - \rho_1)} \frac{(\sqrt{\rho_2} - \sqrt{\rho_1})}{C} \quad (2.15)$$

ถ้าสมมติให้ค่าความด้านทานจำเพาะมีค่าคงที่ และมีค่าเป็น  $\rho_m$  ตลอดช่วงอุณหภูมิการใช้งาน ( $\theta_1$  ถึง  $\theta_2$ ) เมื่อแทนในสมการ 2.13 จะได้

$$\int_{\theta_1}^{\theta_2} d\theta = \int_0^1 C \sqrt{\rho_m} dt$$

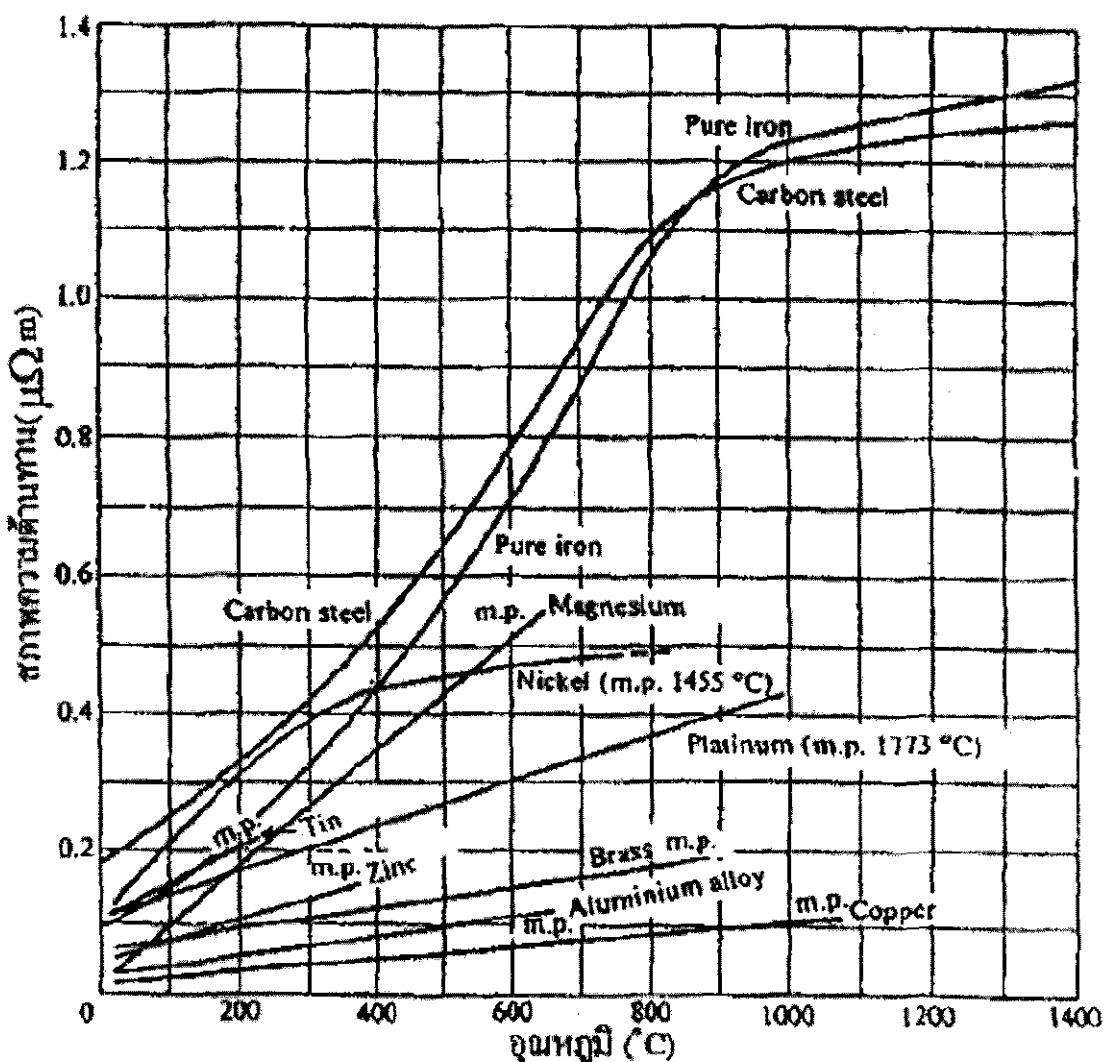
$$t = \frac{(\theta_2 - \theta_1)}{C \sqrt{\rho_m}} \quad (2.16)$$

เมื่อเปรียบเทียบสมการ 2.15 กับ 2.16 จะได้ว่า

$$\rho_m = \frac{(\sqrt{\rho_2} + \sqrt{\rho_1})^2}{4} \quad (2.17)$$

จากสมการ 2.17 ค่าความต้านทานจำเพาะสมมูลที่ได้อาจจะใช้ได้กับโอลูห์บงประเกทที่มีลักษณะการเปลี่ยนแปลงอุณหภูมิเป็นเชิงเส้น และจากการที่ 2.6 จะเห็นได้ว่าโอลูห์ที่เป็นสารเฟอร์โรแมกнетิกจะมีการเปลี่ยนแปลงของค่า  $\rho$  กับอุณหภูมิจะไม่เป็นเชิงเส้นตลอดช่วงอุณหภูมิ เมื่อสนับสนุนในสมการ 2.12 ดังนั้นการคำนวณโดยใช้ค่า  $\rho_m$  จึงต้องแยกพิจารณากราฟที่เป็นเชิงเส้นออกเป็นช่วงๆ ทีละช่วงไป

ค่าความต้านทานจำเพาะค่าน้อยจะส่งผลให้สนามแม่เหล็กเหนือบันไดชั้นงานให้เกิดความร้อนได้ดีกว่าชั้นงานที่มีค่าความต้านทานจำเพาะมาก



รูปที่ 2.6 ค่าความต้านทานจำเพาะกับเวลา

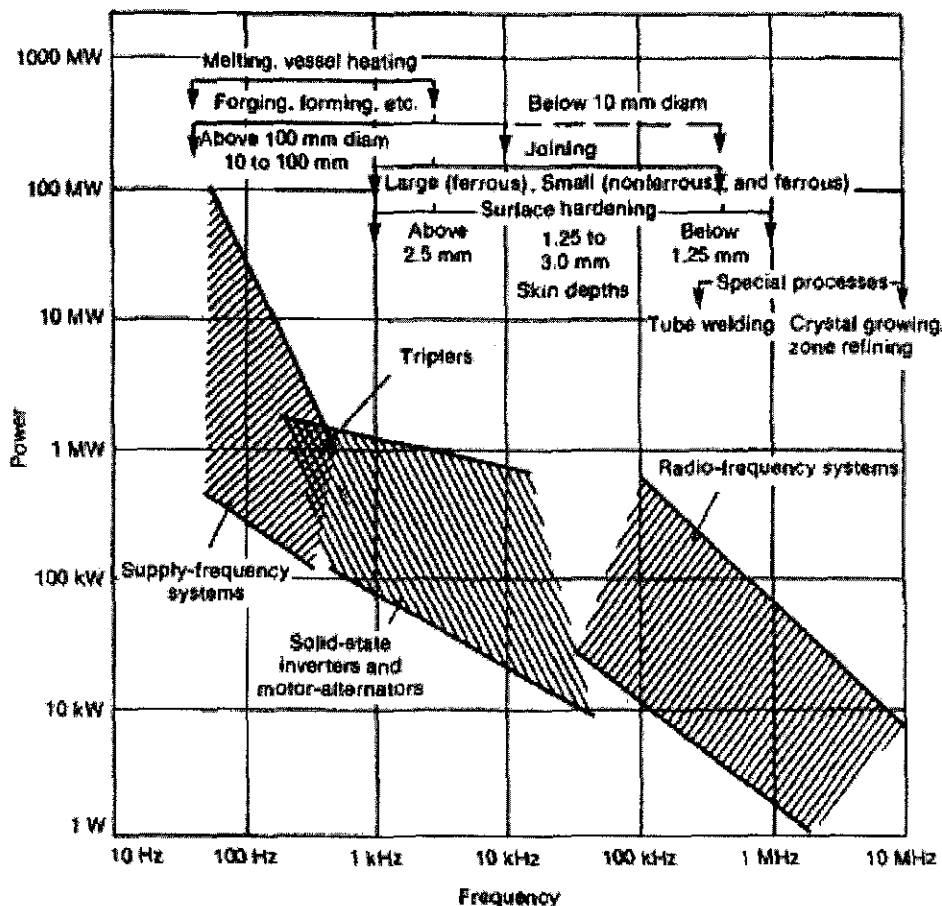
### 2.2.5 ความซึมซาบทางแม่เหล็กของโลหะกับอุณหภูมิ

ความซึมซาบทางแม่เหล็กของโลหะนั้นปกติจะมีค่าคงข้างคงที่ แต่สำหรับสารที่มีคุณสมบัติเป็นสารเฟอร์โรแมกเนติกนั้น ความสัมพันธ์ระหว่างความหนาแน่นสนามแม่เหล็กกับความเข้มสนามแม่เหล็กจะไม่เป็นเชิงเส้น

นอกจากนี้ค่าความซึมซาบทางแม่เหล็กของสารเฟอร์โรแมกเนติกยังมีความสัมพันธ์กับอุณหภูมิด้วย โดยปกติแล้วความซึมซาบทางแม่เหล็กของสารประเภทนี้จะค่อนข้างมีค่าคงที่เมื่อเทียบกับอุณหภูมิ แต่ถ้าอุณหภูมิเพิ่มขึ้นจนถึงจุดคริรี (Curie point) และ ค่าความซึมซาบของสารนั้นจะลดลงเป็นค่าซึมซาบของอากาศทันที  $\mu_r = 1$  มีผลให้สารนั้นหมดสภาพความเป็นแม่เหล็กนั่นเอง

## 2.2.6 ความถี่ของเครื่องให้ความร้อนแบบเหนี่ยวนำด้วยสวิตช์ความถี่สูง

งานให้ความร้อนด้วยการเหนี่ยวนำแต่ละประเภท จะใช้ช่วงความถี่และระดับกำลังแตกต่างกันไปดังที่แสดงในรูปที่ 2.7 ซึ่งจะได้รับกำลังจากแหล่งกำเนิดไฟฟ้ากระแสสลับซึ่งได้มามากแล้วก็กำเนิดชนิดต่างๆ ซึ่งสามารถจำแนกได้ดังนี้



รูปที่ 2.7 ลักษณะการใช้งานของเครื่องให้ความร้อนแบบเหนี่ยวนำในย่านความถี่ต่างๆ

1) เครื่องให้ความร้อนแบบเหนี่ยวนำที่ใช้แหล่งจ่ายจากการไฟฟ้าโดยตรง แรงดันไฟฟ้าจาก การไฟฟ้าเป็นแรงดันไฟฟ้าที่มีความถี่ค่อนข้างต่ำจึงทำให้ระดับความลึกผิวในการให้ความร้อนมีค่ามากตั้งแต่ 10 – 100 มิลลิเมตร โดยปกติเครื่องให้ความร้อนแบบเหนี่ยวนำประเภทนี้จะใช้ในงานการหลอมโลหะมีกำลังสูงได้ถึงหลายร้อยเมกะวัตต์

2) เครื่องให้ความร้อนแบบเหนี่ยวนำที่ใช้มอเตอร์และเครื่องกำเนิดไฟฟ้า ให้ความถี่อยู่ในย่าน 500 เฮิร์ซ ถึง 10 กิโลเฮิร์ซ เครื่องให้ความร้อนแบบเหนี่ยวนำชนิดนี้จะใช้พลังงานจากการไฟฟ้า

มาขับเคลื่อนมอเตอร์ และใช้มอเตอร์ไปขับเคลื่อนเครื่องกำเนิดไฟฟ้าอีกที โดยสามารถให้กำลังได้หลายร้อยกิโลวัตต์ และให้ระดับความลึกผิวด้วย 1 – 10 มิลลิเมตร

3) เครื่องให้ความร้อนแบบเหนี่ยวนำโดยวิธีการเปลี่ยนผันแปรด้วยใช้สิ่งประดิษฐ์สารกึ่งตัวนำ จำพวกทรานซิสเตอร์กำลัง นอสเฟตกำลัง หรือพวากไทริสเตอร์ แปลงผันแปรดันไฟฟ้าจากการไฟฟ้าให้เป็นไฟสลับอิครั่งแต่มีความถี่สูงขึ้น โดยใช้งานในย่านความถี่ 500 เฮิร์ซ ถึง 50 กิโลเฮิร์ซ การเลือกใช้อุปกรณ์สวิตช์จะต้องคำนึงถึงความเร็วในการสวิตช์ และขนาดกำลังของอุปกรณ์สวิตช์ให้เหมาะสม

4) เครื่องให้ความร้อนแบบเหนี่ยวนำที่ทำงานย่านความถี่วิทยุ โดยเครื่องประเภทนี้จะทำงานตั้งแต่ความถี่ 50 กิโลเฮิร์ซ จนถึง 50 เมกกะเฮิร์ซ ซึ่งปัจจุบันนี้สิ่งประดิษฐ์สารกึ่งตัวนำยังมีสมรรถนะในการใช้งานที่ความถี่สูงๆ ได้ไม่ดีพอ โดยความลึกผิวยูในช่วง 0.1 ถึง 2 มิลลิเมตร ซึ่งเหมาะสมสำหรับงานชุบแข็งที่ผิว เครื่องให้ความร้อนแบบเหนี่ยวนำนี้จะให้กำลังงานค่อนข้างต่ำ

จะเห็นว่าความถี่นี้เป็นตัวแปรสำคัญต่อประสิทธิภาพ ความลึกผิวในชิ้นงาน และกำลังเข้าของชิ้นงาน โดยที่เมื่อความถี่สูงขึ้น ความลึกผิวจะลดลงประสิทธิภาพและกำลังเข้าของชิ้นงานจะสูงขึ้น

## 2.3 หลักการพาความร้อน

การพาความร้อน คือ วิธีการที่ความร้อนเคลื่อนที่ระหว่างผิวของของแข็งและของไหหลังจากการพาความร้อน โดยที่ของไหจะเป็นตัวพาความร้อนมาให้ หรือพาความร้อนจากผิวของของแข็ง กลไกที่ทำให้เกิดการเคลื่อนที่ของความร้อน โดยการพาให้นั่น เกิดจากผลรวมของการนำความร้อน การสะสมพลังงานและการเคลื่อนที่ของการไห การพาความร้อนยังแบ่งออกได้เป็น 2 ชนิดคือ การพาโดยการบังคับ (Forced convection) และการพาตามธรรมชาติ (natural หรือ free convection)

การพาโดยการบังคับ (Forced convection) คือการเคลื่อนที่ของความร้อนระหว่างผิวของของแข็งและของไห โดยที่ของไหถูกบังคับให้เคลื่อนที่ไปสัมผัสกับผิวของของแข็ง โดยกลไกภายในออก เช่น พัดลม หรือเครื่องสูบน้ำ

การพาตามธรรมชาติ (Natural หรือ Free convection) คือการเคลื่อนที่ของความร้อนระหว่างผิวของของแข็งและของไห โดยที่ไม่มีกลไกใดๆ มาทำให้ของไหเคลื่อนที่ แต่ของไหที่อยู่ใกล้กับผิวของของแข็งก็อาจจะเคลื่อนที่ได้จากแรงดึงดูดของไหเอง แรงดึงดูดด้านนี้เกิดจากความแตกต่างของความหนาแน่นของของไห เมื่อเกิดความแตกต่างของอุณหภูมิในชั้นของของไหขึ้น

การคำนวณอัตราการเคลื่อนที่ของความร้อนโดยการพานั้นมีหลายสิ่งที่ต้องพิจารณารวมกัน ไม่ว่าจะเป็นตัวแปรทางกายภาพที่มีผลต่อการเคลื่อนที่ของความร้อน เช่น ความหนาแน่นของของไอล ความหนืด เป็นต้น ดังนั้นเราจึงตัดความบุ่งยากเหล่านี้โดยเสนอสมการสำหรับคำนวณอัตราการเคลื่อนที่ของความร้อน q โดยการพาดังสมการ 2.18

$$q = hA(\Delta T) \quad (2.18)$$

โดยที่

$q$  = ปริมาณความร้อนที่เกิดการถ่ายโอนเนื่องจากการพาน

$h$  = สัมประสิทธิ์การพากำไรความร้อน

$A$  = พื้นที่แลกเปลี่ยนความร้อน

$\Delta T$  = ผลต่างของอุณหภูมิ

## 2.4 ลักษณะของวงจรเครื่องเหนี่ยวนำความร้อนความถี่สูง

### 2.4.1 วงจรกำเนิดสัญญาณและวงจรขับเกฟ

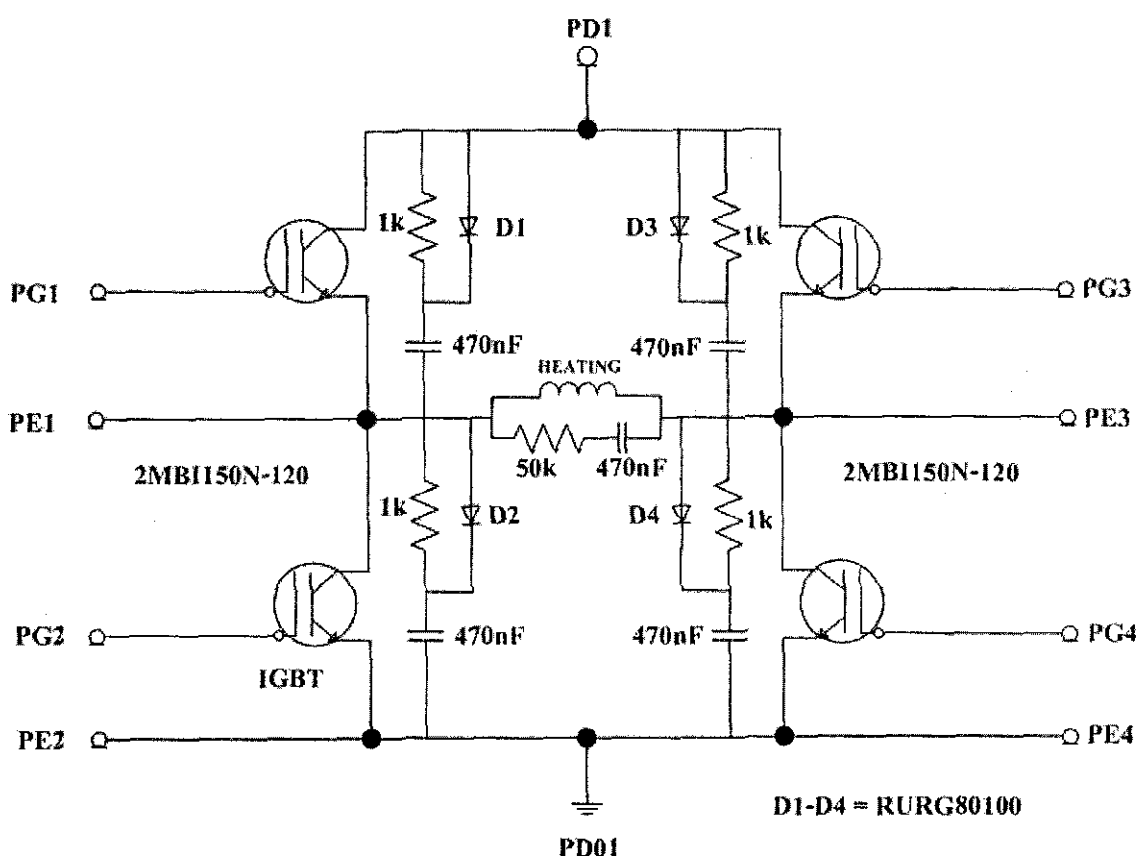
อุปกรณ์สวิตซ์ไอจีบีที่จะทำงานได้จะต้องมีสัญญาณมาขับที่ขาเกฟของมัน และสัญญาณที่จะนำมายังตัวอุปกรณ์ให้ชักนำหนดที่ไอจีบีที่ต้องการค้ายิ่ง เช่น จะต้องสามารถจ่ายกระแสและแรงดันไฟฟ้าที่เพียงพอ กับการชาร์จขาเกฟได้ ซึ่งสัญญาณควบคุมโดยทั่วๆ ไปจะไม่สามารถนำมาขับที่ขาเกฟของไอจีบีที่ได้โดยตรง แต่จะต้องผ่านการขยายกระแสและแรงดันไฟฟ้าให้สูงขึ้นเพื่อให้เพียงพอ กับความต้องการของไอจีบีที่ และงานวิจัยนี้ได้เลือกใช้ไอซีเบอร์ PC929 เพื่อยายสัญญาณ เอาท์พุทที่ได้จากไอซีเบอร์ UC3879N ซึ่งเป็นเหมือนตัวกำเนิดสัญญาณให้กับไอจีบีที่ห้อง 4 ชุด นั่นเอง

วงจรขับของไอจีบีที่จะเหมือนกับวงจรขั้บมอสเฟต เป็นวงจร Gate Source Driver Voltage โดยจะต้องสามารถจ่ายกระแสได้อย่างมากพอที่จะชาร์จตัวเก็บประจุที่อยู่ภายในได้อย่างรวดเร็ว และการออกแบบจะต้องให้สายที่ต่อจากวงจรขับไปยังขาเกฟสั้นที่สุดเท่าที่จะทำได้เพื่อไม่ให้เกิดการอสัมภัยหรือจะแก้ไขได้โดยการต่อความต้านทานอนุกรมที่ขาเกฟ

### 2.4.2 อินเวอร์เตอร์แบบเติมบริดจ์ (Full Bridge Inverter)

อินเวอร์เตอร์แบบเติมบริดจ์ เป็นวงจรที่ทำหน้าที่เปลี่ยนไฟฟ้ากระแสตรงเป็นไฟฟ้ากระแสสลับที่มีความถี่สูง จากรูป วงจรอินเวอร์เตอร์แบบเติมบริดจ์ประกอบด้วยสวิตซ์ 4 ตัว ไอจีบีที่

และไดโอดซึ่งทำหน้าที่เป็นทางผ่านกระแสสัมภัญญา “ไอจีบีที” หุดนำกระแส อินเวอร์เตอร์แบบเติมบริดจ์สามารถให้กำลังงานได้สูง ดังนั้นจึงเหมาะสมกับงานที่ต้องการกำลังสูงๆ จากรูปที่ 2.8 ไอจีบีทีจะทำงานสลับกันเป็นคู่ โดยที่ SW1 และ SW4 จะทำงานในเวลาเดียวกันจะเกิดแรงดัน  $V_s$  ตกคร่อมขดลวดเหนียวนำและสลับให้ SW2 และ SW3 ทำงานในเวลาเดียวกันแรงดันที่ตกคร่อมขดลวดเหนียวนำจะกลับขั้วเป็น  $-V_s$  ในขณะที่ไอจีบีทีแต่ละคู่ปิดจะเกิดแรงดันย้อนกลับมีค่าเป็น  $V_s$  เราจึงเรียกว่าอินเวอร์เตอร์แบบเติมบริดจ์ (Full Bridge Inverter)



รูปที่ 2.8 วงจรภาคแหล่งจ่ายไฟฟ้ากระแสสลับความถี่สูง (High Frequency Inverter)

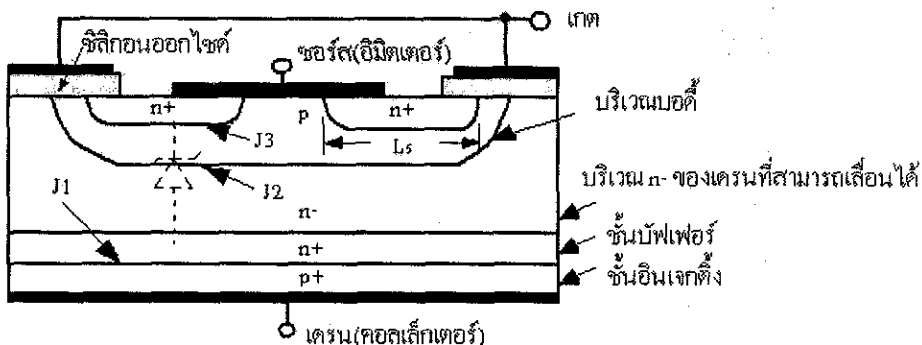
#### 2.4.3 ไอจีบีที (Insulated Gate Bipolar Transistor, IGBT)

บีเจที (Bipolar Junction Transistor, BJT) และมอสเฟต (MOSFET) ต่างก็มีข้อดีต่างกันไป คือ บีเจทีจะมีกำลังสูญเสียบนกระแสสัมภัญญาอย่างมาก แต่จะมีความเร็วในการตัวตัวซึ่งกันและมีช่วงหุดนำกระแสนานาน ส่วนมอสเฟต สามารถที่จะเริ่มน้ำกระแสและหุดนำกระแสได้อย่างรวดเร็ว จากข้อดีของอุปกรณ์ทั้งสองจึงทำให้มีการประดิษฐ์อุปกรณ์สารกึ่งตัวนำชนิดใหม่

ขึ้นมาโดยนำบีจีทีและมอสเฟตลงในเวเฟอร์เดียวกันเรียกว่า Insulated Gate Bipolar Transistor, IGBT ซึ่งคาดว่าจะมีการนำไปใช้อย่างแพร่หลายในอนาคต ในส่วนนี้เราจะกล่าวถึงโครงสร้างและคุณสมบัติต่างๆ รวมทั้งค่ากำลังการทำงาน

#### 2.4.3.1 โครงสร้างของไอจีบีที

จากรูปที่ 2.9 โครงสร้างของ IGBT ชนิดเอ็นแซนเนลแสดงเป็นภาพตัดขวาง โครงสร้างส่วนมากจะมีลักษณะเหมือนมอสเฟต จะแตกต่างตรงที่ IGBT จะมีชั้น P+ หรือชั้นอินเจกต์ (injecting) ต่ออยู่ระหว่างขาเดรน ซึ่งในมอสเฟตจะไม่มี จากการที่ขาเกตถูกกันด้วยชั้นของซิลิโคนออกไซด์ ( $\text{SiO}_2$ ) เป็นผลทำให้ความ



รูปที่ 2.9 โครงสร้างของไอจีบีที

ด้านบนอินพุตที่ขาเกตมีค่าสูงมากเหมือนกับเพาเวอร์มอสเฟต โครงสร้างของไอจีบีทีจะเหมือนกับมีไทริสเตอร์อยู่ภายใน เนื่องจากการได้ปั๊วการทำให้เกิดรอยค่อที่มีคุณสมบัติเป็นไทริสเตอร์ ความหนาของชั้นเป็นสิ่งที่สามารถปรับปรุงการทำงานของไอจีบีทีได้โดยมีเหตุผลสำคัญอยู่สองประการ คือ ทำให้เกิดแรงดันตกคร่อมในการนำกระแสตัว และ มีช่วงหยุดนำกระแสสั้น แต่ย่างไรก็ตามการทำเช่นนี้จะทำให้ลดความสามารถในการทนแรงดัน (Reverse Blocking Capacity) ต่ำลงกว่าเดิม

#### 2.4.3.2 ลักษณะการทำงานของไอจีบีที

จากรูปโครงสร้างของไอจีบีที กระแสจะถูกกันไว้ให้ไฟลั่นได้ในกรณีที่ไฟ Negative Bias จะทำให้เป็นค่าของ Reverse Blocking Capacity เมื่อมีแรงดันบวกที่ขาคอลเลคเตอร์แต่ยังไม่มีแรงดันไฟอัลที่เกิดขึ้นด้านบน J2 จะได้รับ Reverse Bias และ ไอจีบีทีจะทำงานในย่าน Forward Blocking Mode อย่างไรก็ตาม ถ้ามีแรงดันมากจ่ายให้ที่เกตเพียงพอที่จะทำให้อิเลคตรอนรวมที่ชั้นพี (P-Base Region) ภายในได้เกต ไอจีบีทีจะอยู่ในสภาพนำกระแสแล้ว เพราะอิเลคตรอนขณะนี้สามารถ

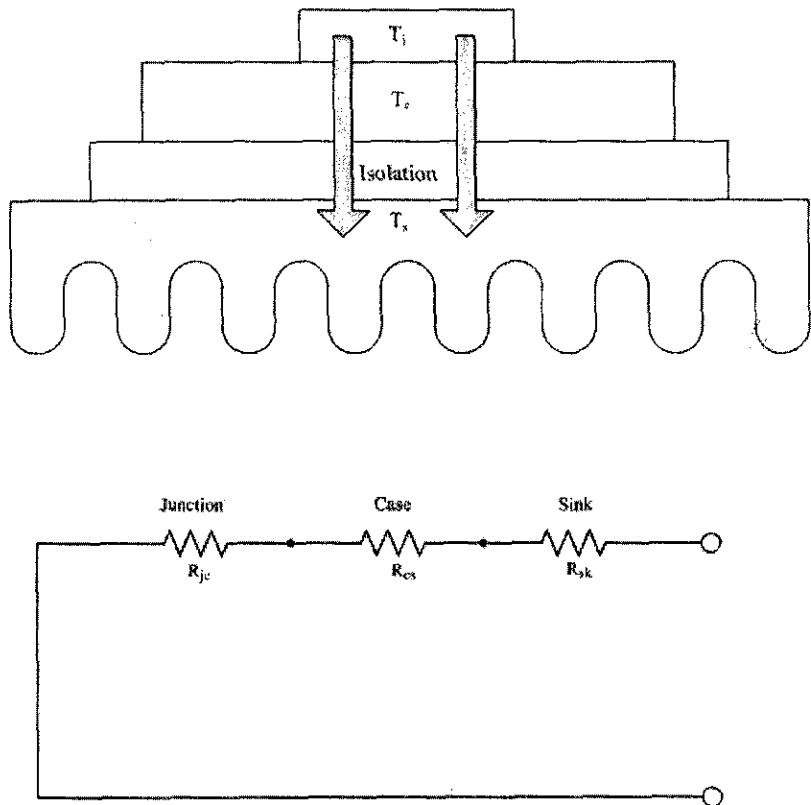
ไฟลจากย่าน  $n^+$  ไปสู่ N-Base ในสถานะนำกระแสนี้ J3 จะได้รับ Forward Bias และค่าผลลัพธ์เดอร์  $p^+$  จะฉีด回去ในชั้น N-Base

#### 2.4.3.3 การระบายน้ำร้อนของไอจีบีที

กำลังงานสูญเสียในรูปความร้อนของไอจีบีทีจะขณะทำงานเป็นเรื่องที่ไม่สามารถหลีกเลี่ยงได้ กำลังงานสูญเสียที่เกิดขึ้นภายในตัวไอจีบีทีจะทำให้เกิดความร้อนที่ร้อยต่อ และอุณหภูมิที่ร้อยต่อ ( $T_j$ ) ของสารกึ่งตัวนำภายในไอจีบีทีจะมีค่าเพิ่มขึ้น หากไม่มีการระบายน้ำร้อนไปจากตัวถังแล้ว อุณหภูมิที่ร้อยต่อระหว่างสารกึ่งตัวนำจะเพิ่มขึ้นอย่างรวดเร็ว จนกระทั่งค่าอุณหภูมิที่ร้อยต่อสูงเกิน ทำให้เกิดการเสียหายในที่สุด

ไอจีบีทีโดยทั่วไปจะมีค่าอุณหภูมิที่ร้อยต่อ ( $T_j$ ) สูงสุดขณะทำงานประมาณ 150 – 200 องศาเซลเซียส ขึ้นอยู่กับชนิดของสารกึ่งตัวนำภายในไอจีบีที และลักษณะของวัสดุที่นำมาใช้ทำเป็นตัวถัง วิธีที่ง่ายที่สุดในการระบายน้ำร้อนคือ การติดแผ่นระบายน้ำร้อนเข้ากับไอจีบีทีโดยตรง การระบายน้ำร้อนออกจากตัวไอจีบีทีจะมีประสิทธิภาพสูงสุดเมื่อเลือกขนาดและชนิดของแผ่นระบายน้ำร้อน ได้เหมาะสมกับขนาดของไอจีบีที แผ่นระบายน้ำร้อนที่มีขนาดเล็กจะไม่สามารถระบายน้ำร้อนได้เพียงพอทำให้ไอจีบีทีมีอุณหภูมิสูงเกิน อาจการใช้งานของไอจีบีทีก็จะสั่นลงหรืออาจเสียหายได้

การลดความร้อนที่ร้อยต่อของสารกึ่งตัวนำในไอจีบีที สามารถทำได้โดยถ่ายเทความร้อน ออกจากรอยต่อผ่านตัวถังไอจีบีที และติดแผ่นระบายน้ำร้อนที่ตัวถัง ความร้อนจะถูกถ่ายผ่าน แผ่นระบายน้ำร้อนออกไปสู่อากาศรอบข้างจนเกิดความสมดุลย์ความร้อนทำให้ความร้อนที่ร้อยต่อลดลงเนื่องจากวัสดุแต่ละชนิดมีการระบายน้ำร้อนผ่านตัวมันเอง ได้ไม่เท่ากัน ความสามารถในการระบายน้ำร้อน ได้มากหรือน้อยของวัสดุแต่ละชนิดนั้นอาจถาวรได้ว่า วัสดุที่มีค่าความต้านทานทางความร้อน (Thermal Resistance,  $R_{th}$ ) ไม่เท่ากัน คือเมื่อให้พลังงานความร้อนผ่านวัสดุ โดยวัสดุจะสามารถระบายน้ำร้อนผ่านตัวมันโดยมีการต้านทานพลังงานความร้อน ไม่ให้ผ่านไปได้ง่ายๆ ซึ่งจะทำให้ตัวมันมีอุณหภูมิเพิ่มขึ้น ดังนั้นการระบายน้ำร้อนของไอจีบีที ผ่านแผ่นระบายน้ำร้อนอาจเจียนเป็นวงจรสมมูลย์ในลักษณะความต้านทานทางความร้อนได้ดังรูปที่ 2.10



รูปที่ 2.10 วงจรสมมูลของการถ่ายเทความร้อนออกจากไอจีบีที

อุณหภูมิที่รออยู่ต่อของสารกึ่งตัวนำ ภายหลังติดแผ่นระบบความร้อนอาจคำนวณได้จาก  
สมการ 2.19

$$T_j = P_D (R_{jc} + R_{cs} + R_{sk}) + TA \quad (2.19)$$

โดยที่

$P_D$  คือ กำลังงานสูญเสียที่เกิดขึ้นในตัวไอจีบีที (Watt)

$TA$  คือ อุณหภูมิแวดล้อมของระบบ ( $^{\circ}\text{C}$ )

$R_{jc}$  คือ ค่าความต้านทานความร้อนระหว่างรอยต่อและตัวถัง ( $^{\circ}\text{C}/\text{W}$ )

$R_{cs}$  คือ ค่าความต้านทานความร้อนระหว่างตัวถังและแผ่นระบบความร้อน ( $^{\circ}\text{C}/\text{W}$ )

$R_{sk}$  คือ ค่าความต้านทานความร้อนระหว่างแผ่นระบบความร้อนและอุณหภูมิแวดล้อม ( $^{\circ}\text{C}/\text{W}$ )

ปกติบริษัทผู้ผลิต ไอจีบีที่จะระบุค่าความด้านทานความร้อนต่างๆไว้ใน Datasheet ยกเว้นค่า  $R_{cs}$  และ  $R_s$  จะขึ้นอยู่กับลักษณะการยึดติดของตัวถังของ ไอจีบีที่กันแผ่นระบบความร้อนและขนาด และวัสดุที่นำมาใช้ทำแผ่นระบบความร้อน โดยที่วัสดุที่มีค่าความด้านทานความร้อนน้อยมาก เท่าไหร่ยิ่งดี

ขนาดตัวถังของ ไอจีบีที่ ลักษณะของผิวสัมผัสและแรงกดยึดตัวถังของ ไอจีบีที่เข้ากันแผ่นระบบความร้อน จะมีผลโดยตรงต่อค่า  $R_{cs}$  การใช้แผ่นชั้นวนคั่นระหว่างตัวถังกับแผ่นระบบความร้อนจะทำให้ค่า  $R_{cs}$  เพิ่มขึ้น แต่อาจจะทำให้ลดลงได้โดยการทำครีมระบบความร้อน เช่น ครีมชิลิโคน การทำครีมระบบความร้อนจะทำให้ค่า  $R_{cs}$  ลดลงเนื่องจากครีมจะช่วยลดช่องว่างระหว่างผิวสัมผัสให้น้อยลงค่าความด้านทานความร้อนจึงลดลง

## 2.5 เรโซแนนซ์

วงจรไฟฟ้ากระแสสลับที่เกิดสภาพเรโซแนนซ์ (Resonance) หมายถึงวงจรที่มีค่าเพาเวอร์แฟคเตอร์ของวงจรเท่ากับหนึ่ง นั่นคือกระแสไฟฟ้าในวงจรจะมีเฟสตรงกันกับแรงดันที่จ่ายให้กับวงจร และค่าอิมพิเดนซ์เทียบท่าภายในวงจรจะเหลือแต่ค่าความด้านทานเพียงอย่างเดียวเท่านั้น เพราะค่าอินดักทิฟรีแอคเคนซ์ (Inductive Reactance) และค่าคาปิซิฟรีแอคเคนซ์ (Capacitive Reactance) จะหักด้านกันหมด ในขั้นพื้นฐานสามารถพิจารณาได้ 2 ลักษณะ คือ วงจรเรโซแนนซ์แบบอนุกรม และวงจรเรโซแนนซ์แบบขนาน

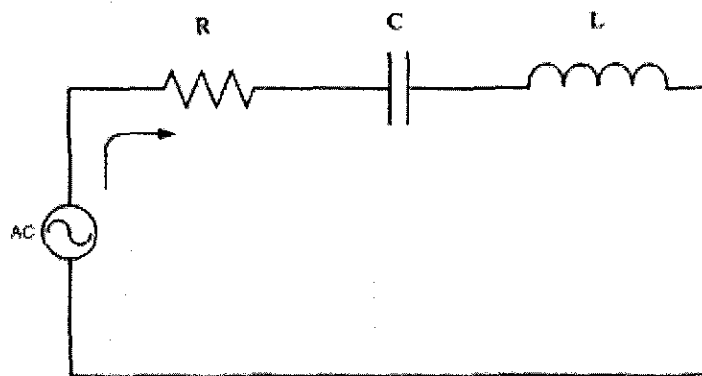
### 2.5.1 วงจรเรโซแนนซ์แบบอนุกรม (Series resonance circuit)

$$Z = R + j(X_L - X_C) \quad (2.20)$$

ลักษณะพฤติกรรมทางไฟฟ้าของวงจรเรโซแนนซ์แบบอนุกรมจะมีอิมพิเดนซ์ที่ต่ำแห่งเมื่อเรโซแนนซ์ต่ำที่สุด ดังนั้นกระแสที่ไหลผ่านวงจรจะมีค่ามากสุดทำให้เกิดกำลังไฟฟ้าที่โหลดมีค่าสูงสุด วิธีการควบคุมกำลังไฟฟ้าทำได้โดยการลดแรงดันที่จ่ายให้วงจร หรือเลื่อนความถี่การใช้งานให้ต่ำหรือสูงกว่าต่ำแห่งเรโซแนนซ์ เมื่อพิจารณาในรูปที่ 2.11 ค่าอิมพิเดนซ์ของวงจร RLC ที่ต่อแบบอนุกรมจะมีค่าดังสมการที่ 2.20

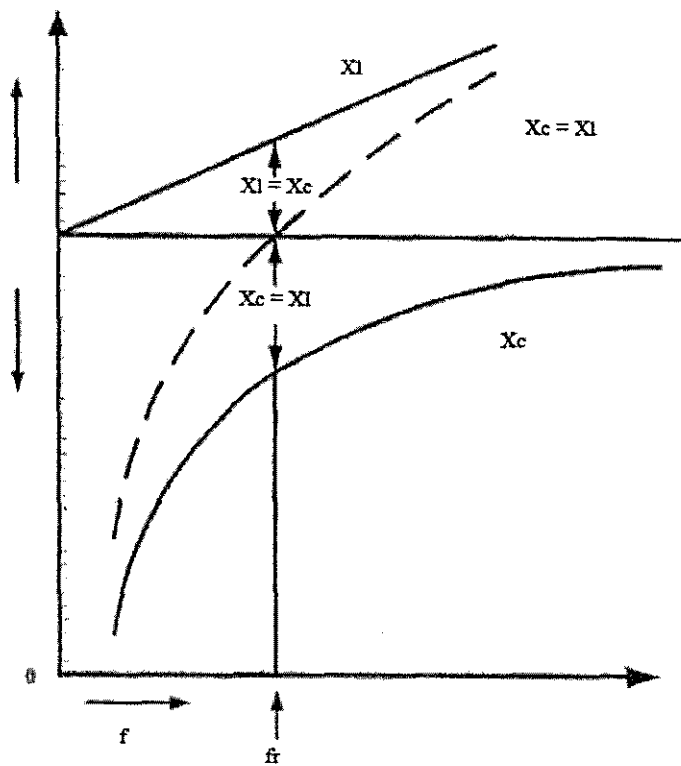
สภาวะเรโซแนนซ์จะสามารถหาค่าความถี่ได้ดังสมการที่ 2.21

$$f = \frac{1}{2\pi\sqrt{LC}} \quad (2.21)$$



รูปที่ 2.11 วงจรเรโซแนนซ์แบบอนุกรม

จากสมการ 2.21 จะพบว่า ค่าอิมพิเดนซ์จะขึ้นอยู่กับความถี่ของแหล่งจ่ายไฟฟ้า เนื่องจากค่า  $X_L = 2\pi fL$  และ  $X_C = \frac{1}{2\pi fC}$  จากรูปที่ 2.12 จะเห็นว่าเมื่อความถี่ของแหล่งจ่ายไฟฟ้ามีค่าเพิ่มขึ้นอย่างเป็นชิ้งเส้น ค่า  $X_L$  จะมีค่าเพิ่มขึ้น ส่วนค่าของ  $X_C$  จะมีค่าลดลงอย่างเป็นชิ้งเส้นด้วย โดยรวมของค่าเรียกแคนตันซ์จะมีค่าเท่ากับ  $(X_L - X_C)$  ดังนั้นถ้าความถี่ของแหล่งจ่ายไฟมีค่าเท่ากับความถี่เรโซแนนซ์จะมีผลทำให้ค่าเรียกแคนตันซ์รวมมีค่าเป็นศูนย์ และอิมพิเดนซ์รวมของวงจรจะมีค่าเท่ากับค่าความต้านทาน ( $Z=R$ )

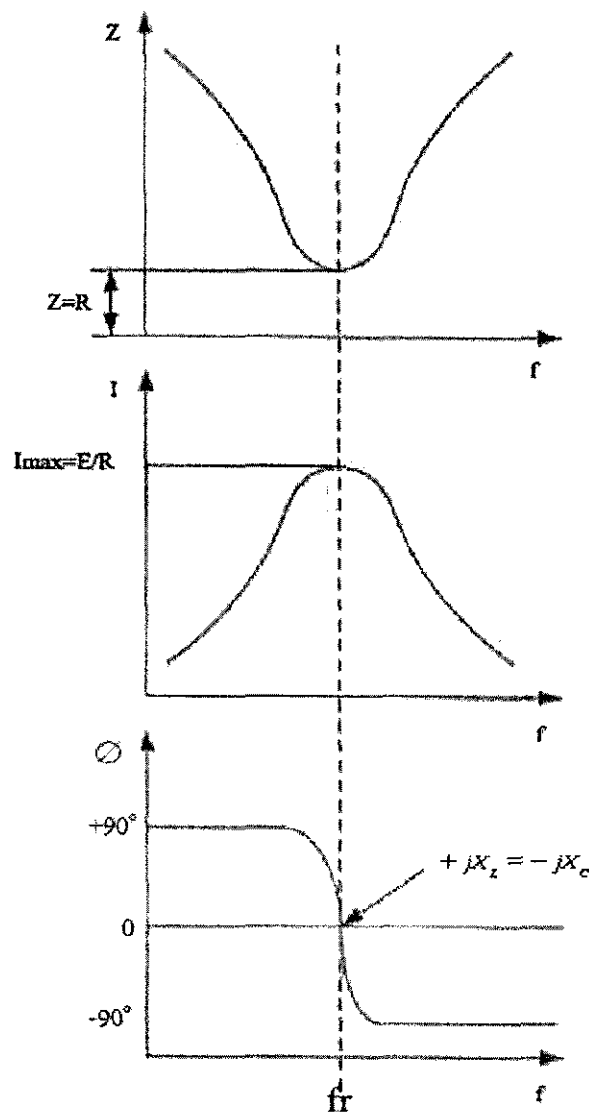


รูปที่ 2.12 กราฟความสัมพันธ์ของ  $XL$  และ  $XC$  ต่อความถี่สำหรับวงจร RLC แบบอนุกรม

$$Z = \sqrt{R^2 + X^2} \quad (2.22)$$

$$I = \frac{V}{Z} \quad (2.23)$$

จากสมการที่ 2.22 และ 2.23 นำค่าอิมพิเดนซ์รวมและกระแสที่ไฟลในวงจรที่ความถี่ใดๆ มาเขียนกราฟได้ดังรูปที่ 2.13



รูปที่ 2.13 อิมพีเดนซ์รวมและกระแสที่โหลดในวงจร RLC แบบอนุกรม ที่ความถี่ต่างๆ กระแสในวงจรอนุกรม

$$I = \frac{V}{R + j(X_L + X_C)} \quad (2.24)$$

กระแสที่โหลดเมื่อเรซิแตนซ์ ( $X_L = X_C$ )

$$I = \frac{V}{R} \quad (2.25)$$

จากรูป 2.13 พนว่ากราฟที่ได้จะมีค่าดำเนินความถี่ในวงจร ไม่อุ้มที่จุดเรโซแนนซ์

### 2.5.1.1 ความถี่เรโซแนนซ์

$$X_L = 2\pi fL \quad (2.26)$$

$$X_C = \frac{1}{2\pi fC} \quad (2.27)$$

$$2\pi fL = \frac{1}{2\pi fC} \quad (2.28)$$

เมื่อ

$L$  คือ ตัวหนี่ยวนำ มีหน่วยเป็นเแอนริ (H)

$C$  คือ ตัวเก็บประจุ มีหน่วยเป็น ฟารัด (F)

$f$  คือ ความถี่ มีหน่วยเป็นเฮิร์ต (Hz)

### 2.5.1.2 แรงดันที่จุดเรโซแนนซ์

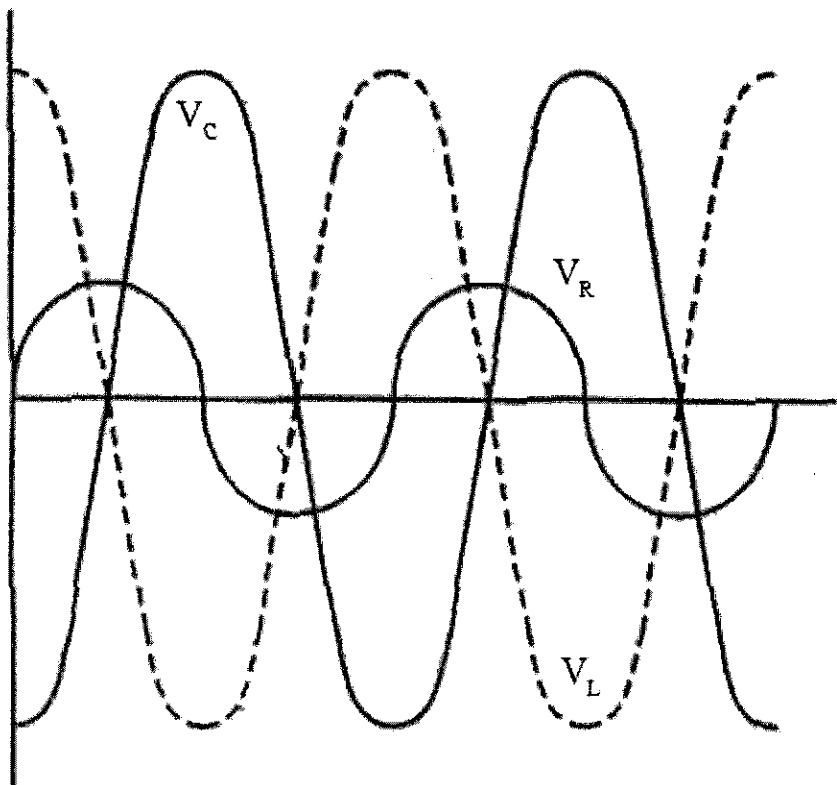
แรงดันที่จุดตกลจรรอมตัวต้านทานในวงจร RLC จะมีค่าเท่ากับ  $I_X R$  และที่จุดเรโซแนนซ์ แรงดันที่ตกลจรรอมตัวต้านทานจะมีค่าเท่ากับแรงดันที่แหล่งจ่าย ส่วนแรงดันที่ตกลจรรอมตัวเก็บประจุ และตัวหนี่ยวนำจะมีค่าคงนี้

$$V_C = L X_C \quad (2.29)$$

$$V_L = L X_L \quad (2.30)$$

### 2.5.1.3 พลังงานที่ส่งผ่านระหว่าง L และ C

เมื่อนำรูปคลื่นสัญญาณของ  $V_R$ ,  $V_C$  และ  $V_L$  ที่จุดเรโซแนนซ์มาพิจารณาดังรูป 2.14 จะพบว่า  $V_L$  และ  $V_C$  จะกลับเฟสกัน 180 องศา ส่วน  $V_R$  จะมีค่ามากที่สุดเมื่อ  $V_C$  และ  $V_L$  มีค่าเท่ากับศูนย์ จากที่กล่าวมานี้แสดงให้เห็นว่ามีการส่งพลังงานระหว่าง L และ C กลับไปกลับมาเมื่ออุปกรณ์ในสภาวะเรโซแนนซ์



รูปที่ 2.14 ถักยณาและสัญญาณแรงดันของ  $V_R$ ,  $V_C$  และ  $V_L$  ที่จุดเรโซแนนซ์

### 2.5.1.4 Q แฟกเตอร์ของวงจรอนุกรม LC

พิจารณาความสัมพันธ์ของ  $I$ ,  $V_C$ ,  $V_L$  ที่จุดเรโซแนนซ์

$$V = IR$$

$$V_L = IX_L$$

ดังนั้น

$$V_L = \frac{V \times X_L}{R}$$

$$\frac{V_L}{V} = \frac{X_L}{R}$$

อัตราส่วน  $\frac{V_L}{V}$  และ  $\frac{V_C}{V}$  คือค่าคุณภาพ (Quality) ของวงจรเรโซแนนซ์หรือค่า Q แฟกเตอร์ นั่นเอง

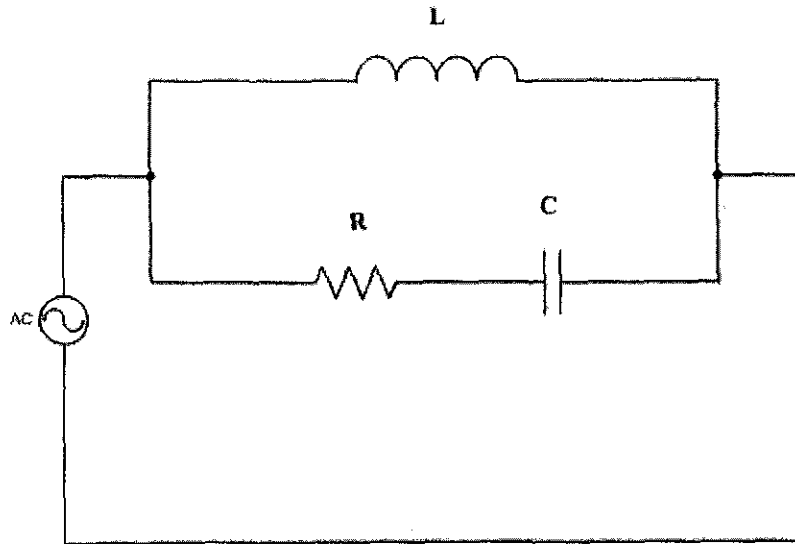
$$Q = \frac{X_L}{R} = \frac{X_C}{R} = \frac{1}{\omega CR} \quad (2.31)$$

จากสมการพบว่าค่า Q แฟกเตอร์ของวงจรอนุกรมเรโซแนนซ์สามารถเปลี่ยนเพิ่มได้เมื่อผลิต  
ความต้านทานหรือโดยการเพิ่มอัตราส่วนของ L/C

### 2.5.2 วงจรเรโซแนนซ์แบบขนาน (Parallel resonance circuit)

วงจรเรโซแนนซ์แบบขนานแสดงไว้ดังรูป 2.15 ค่าแอดมิทtanซ์ (Admittance) ของวงจรมี  
ค่าดังสมการ 2.32

$$Y = \frac{1}{R} - j \frac{1}{X_L} + j \frac{1}{X_C} \quad (2.32)$$



รูปที่ 2.15 วงจรเรโซแนนซ์แบบขนาน

ถ้าปรับความถี่ของแหล่งจ่ายไฟไปจนกระทั้ง  $X_L$  และ  $X_C$  มีค่าเท่ากัน ค่าแอดมิตเตนซ์จะมีค่า

$$Y = \frac{1}{R_p} \quad (2.33)$$

และค่าอิมพีเดนซ์มีค่า

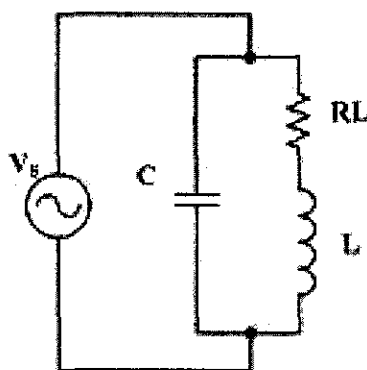
$$Y = \frac{1}{R_p} \quad (2.34)$$

กระแสจากแหล่งจ่ายมีค่า

$$I = \frac{V}{R} \quad (2.35)$$

กระแสที่ไฟล์ผ่านตัวต้านทานจะมีมุมอินเฟสกับแรงดันของแหล่งจ่าย กระแสที่ไฟล์ผ่านตัวเหนี่ยวนำจะมีมุมไฟล์ลังไป 90 องศา ส่วนกระแสที่ไฟล์ผ่านตัวเก็บประจุจะนำหน้าแรงดันอยู่ 90 องศา นั่นคือ มีการส่งพลังงานกลับไปมาระหว่างตัวเหนี่ยวนำและตัวเก็บประจุ

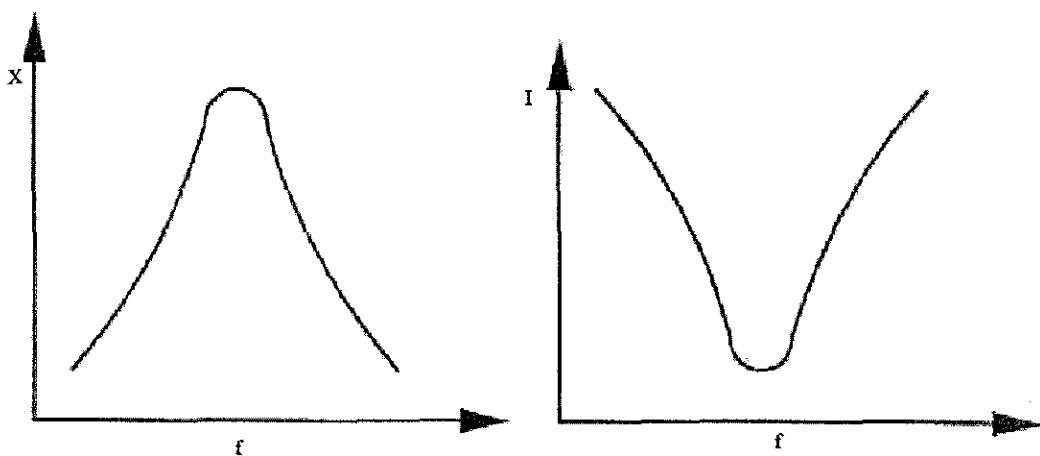
เนื่องจากความเป็นจริงในตัวเหนี่ยวนำจะมีความต้านทานรวมอยู่ด้วย ส่วนที่ตัวเก็บประจุจะมีความต้านทานภายในตัวอยู่น้อยมาก สามารถเขียนเป็นวงจรสมมูลย์ดังรูปที่ 2.16



รูปที่ 2.16 วงจรสมมูลย์ของวงจรเรโซแนนซ์แบบบานาน

เพราะจะนี้นที่จุดเรโซแนนซ์

$$X_C = \frac{R_L^2 + X_L^2}{X_L} \quad (2.36)$$



ก) ค่าอิมพิเดนซ์กับความถี่

ข) ค่ากระแสกับความถี่

รูปที่ 2.17 กราฟแสดงค่าอิมพิเดนซ์และกระแสกับความถี่

### 2.5.2.1 Q แฟคเตอร์ของวงจรเรโซแนนซ์แบบบานาน

จากรูป 2.17 พบร่วงจรเรโซแนนซ์แบบบานานจะมีค่าอิมพิเดนซ์สูงสุดที่ความถี่เรโซแนนซ์ ผลกระทบของกระแสที่ไหลในวงจรที่มีความถี่เรโซแนนซ์นั้นจะมีเฟสเดียวกันกับแรงดันของแหล่งจ่ายกระแสจะมีค่าน้อยกว่า  $I_c$  และ  $I_L$  หลายเท่า ดังนั้นวงจรเรโซแนนซ์แบบบานาน  $L_c$  จะมีค่าการขยายกระแสค่า Q แฟคเตอร์คือค่าอัตราส่วนของ  $I_c$  หรือ  $I_L$  ต่อค่ากระแสจากแหล่งจ่าย

### 2.5.2.2 ความถี่ที่จุดเรโซแนนซ์

ค่าความถี่ที่จุดเรโซแนนซ์สำหรับวงจรบานาน LC เมื่อ  $Q > 10$  คือ

$$f_r = \frac{1}{2\pi\sqrt{LC}} \quad (2.37)$$

ในกรณีที่  $Q < 10$  ความถี่เรโซแนนซ์จะมีค่า

$$f_r = \frac{1}{2\pi\sqrt{LC}} \sqrt{1 - \frac{CR_L^2}{L}} \quad (2.38)$$

## 2.6 การออกแบบคลื่นเหนี่ยวนำ

คลื่นเหนี่ยวน้ำหรือคลื่นให้ความร้อน คือคลื่นที่สร้างสนามแม่เหล็กไปเหนี่ยวน้ำให้เกิดความร้อนขึ้นที่ชิ้นงาน การออกแบบรูป่าง ขนาด หรือจำนวนรอบขึ้นอยู่กับปัจจัยหลายๆ ประการ เช่น ขึ้นอยู่กับขนาด รูป่างและชนิดของวัสดุที่ใช้ทำคลื่นเหนี่ยวน้ำและชิ้นงาน ตลอดจน ความถี่ของไฟฟ้ากระแสสลับที่ใช้ป้อนให้กับคลื่นเหนี่ยวน้ำ ดังนั้นทั้งประสิทธิภาพ และตัวประกอบคังกล่าวข้างต้น หลักการพื้นฐานประกอบไปด้วย

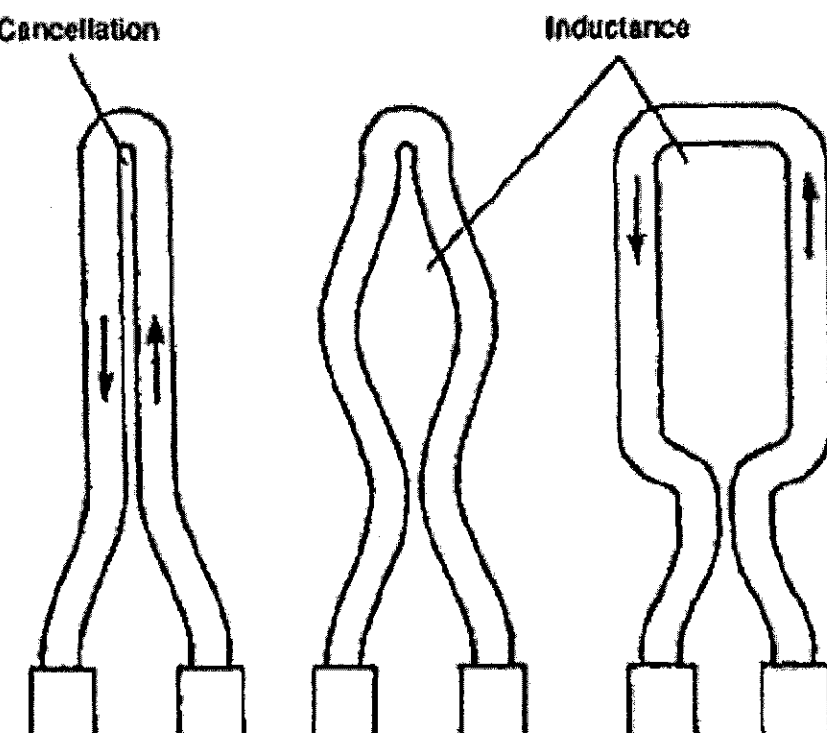
1) คลื่นเหนี่ยวน้ำจะต้องอยู่ใกล้ชิ้นงานให้มากที่สุดเท่าที่ทำได้ เพื่อให้เกิดการส่งผ่าน พลังงานสูงสุด สามารถอธิบายได้โดยการที่มีจำนวนเส้นแรงแม่เหล็กตัดผ่านชิ้นงาน ได้มากขึ้นเมื่ออยู่ใกล้ชิ้นงานมากขึ้น

2) ในกรณีที่คลื่นเหนี่ยวน้ำเป็นคลื่นโซลินอยด์ เส้นแรงแม่เหล็กจะคลื่นผ่านภายใน คลื่นความมากที่สุด ซึ่งตำแหน่งนี้จะให้อัตราการให้ความร้อนมากที่สุด

3) เนื่องจากเส้นแรงแม่เหล็กจะมีความหนาแน่นมากที่สุดที่ตำแหน่งใกล้ชิดคลวตเหนี่ยวนำ และจะลดลงเมื่อห่างออกไป โดยที่ตำแหน่งศูนย์กลางของคลวตเหนี่ยวนำจะมีเส้นแรงแม่เหล็กน้อยที่สุด ดังนั้นถ้าชิ้นงานถูกวางไม่ตรงกลางของคลวตเหนี่ยวนำ พื้นที่ที่อยู่ใกล้กับชิดคลวตเหนี่ยวนำจะถูกเหนี่ยวนำให้เกิดความร้อนมากกว่า ทำให้ไม่ได้ความร้อนสม่ำเสมอ

4) ที่บุคคลต้องของเส้นคลวตตัวนำกับชิดคลวตเหนี่ยวนำ สนามแม่เหล็กจะมีค่าอ่อนมาก ดังนั้น ศูนย์กลางสนามแม่เหล็กไม่จำเป็นจะต้องเป็นศูนย์กลางทางเรขาคณิต ด้วยเหตุนี้จะมีผลอย่างมาก สำหรับชิดคลวตเหนี่ยวนำที่มีร้อนเดียว แต่ถ้ามีจำนวนรอบมากขึ้น สภาวะนี้จะมีผลน้อยลง ในทางปฏิบัติแล้วจะจับชิ้นงานหมุนไปด้วยขณะที่มีการให้ความร้อน เพื่อให้ชิ้นงานได้รับความร้อนอย่างสม่ำเสมอ

5) การออกแบบชิดคลวตเหนี่ยวนำจะต้องไม่ทำให้เกิดการหักล้างสนามแม่เหล็ก ดังรูปที่ 2.18 ด้านซ้ายสุดจะไม่มีค่าอินดักแทนซ์ เพราะว่าตัวโครงข้ามของชิดคลวตเหนี่ยวนำอยู่ใกล้กันมากเกินไป การทำให้เกิดร้อนในชิดคลวตเหนี่ยวนำจะทำให้เกิดค่าอินดักแทนซ์เพิ่มขึ้น การออกแบบในรูปที่ 2.18 ด้านขวาเป็นการออกแบบที่ดี

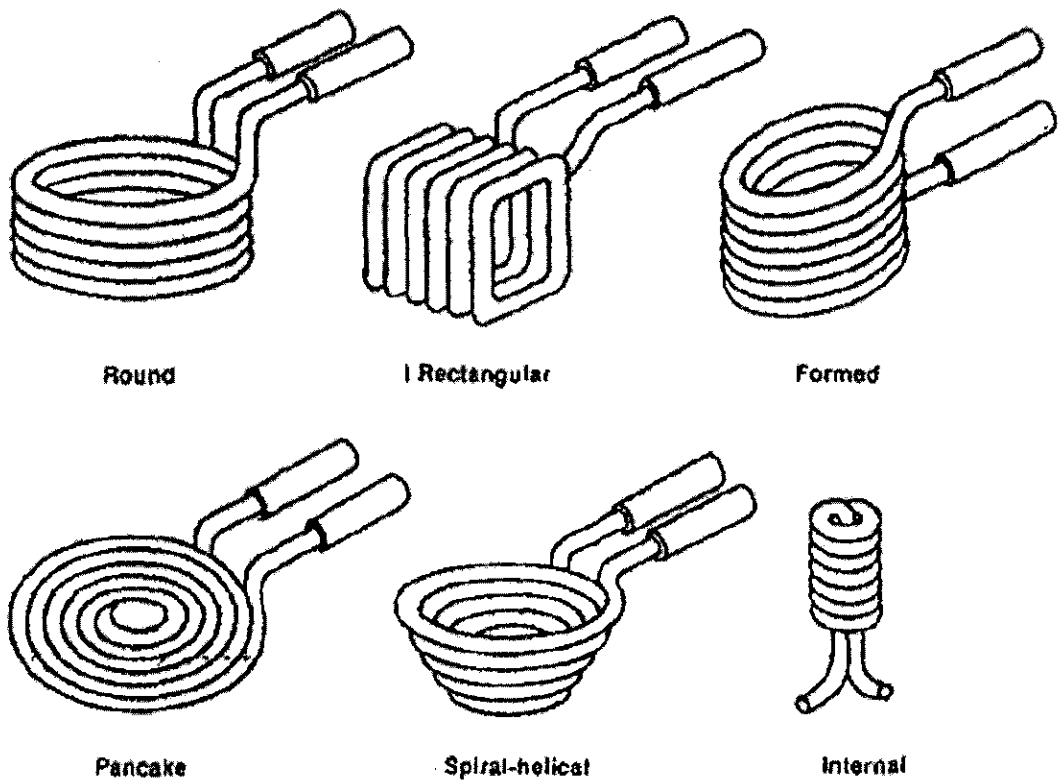


รูปที่ 2.18 การออกแบบชิดคลวตเหนี่ยวนำกับค่าอินดักแทนซ์

เนื่องจากเหตุผลข้างต้น ขดลวดเหนี่ยวนำจะต้องสามารถทำให้เกิดความหนาแน่นสีนั้นแรงแม่เหล็กในพื้นที่ที่ต้องการให้ความร้อนได้ตัวอย่างเช่น

- A helical solenoid จะให้ความร้อนแก่ชิ้นงานภายในขดลวดเหนี่ยวนำ
- A pancake coil จะให้ความร้อนเฉพาะบริเวณผิวหน้าด้านหนึ่งของชิ้นงาน
- An internal coil จะให้ความร้อนบนบริเวณรอบนอกของขดลวดเหนี่ยวนำ

โดยทั่วไปแล้วขดลวดเหนี่ยวนำจะทำขึ้นจากห่อห้องแดงกลวง ทั้งนี้ เพราะห้องแดงเป็นตัวนำไฟฟ้าที่ดี ทำให้มีกำลังสูญเสียในขดลวดเหนี่ยวนำต่ำ ซึ่งจะมีผลให้ระบบมีประสิทธิภาพสูงอย่างไรก็ได้เนื่องจากความหนาแน่นของกระแสในขดลวดเหนี่ยวนำมีค่าสูง ความร้อนที่เกิดจากกระแสที่ไหลในขดลวดเหนี่ยวนำจะมีค่ามาก ดังนั้นจึงต้องใช้ห่อห้องแดงกลวง เพื่อให้สามารถระบายความร้อนที่เกิดขึ้นภายในขดลวดเหนี่ยวนำได้ด้วยของเหลว เช่น น้ำมันผ่านเข้าไปในห่อ



รูปที่ 2.19 ตัวอย่างของขดลวดเหนี่ยวนำชนิดต่างๆ

## 2.7 การประมาณกำลังงานของเครื่องเหนี่ยวนำความร้อน

การประมาณกำลังงานที่ได้ของเครื่องเหนี่ยวนำความร้อนความถี่สูงนี้เราพิจารณาจาก พลังงานความร้อนที่ชื้นงานคุณภาพดีได้ตลอดช่วงของการทดลอง โดยพิจารณาจากอุณหภูมิที่เปลี่ยนแปลงไปของชื้นงาน จากสมการที่ 2.39 แสดงถึงพลังงานที่ชื้นงาน ( $P_w$ ) ต้องการได้รับในการเพิ่มอุณหภูมิ

$$P_w = mc \frac{T_f - T_{in}}{t} \quad (2.39)$$

โดยที่

$P_w$  คือ พลังงานที่ต้องการ (Watts)

$m$  คือ มวลของชื้นงาน (กิโลกรัม, kg)

$c$  คือ ค่าความร้อนจำเพาะของชื้นงาน ( $J/kg \cdot ^\circ C$ )

$T_{in}$  คือ อุณหภูมิเริ่มต้นของชื้นงาน ( $^\circ C$ )

$T_f$  คือ อุณหภูมิสุดท้ายของชื้นงาน ( $^\circ C$ )

$t$  คือ เวลาที่ใช้ (วินาที, s)

## 2.8 สรุป

จากหลักการพื้นฐานการให้ความร้อนโดยวิธีเหนี่ยวนำคำว่าความถี่สูงเพื่อใช้ในอุตสาหกรรมอาหาร ดังที่กล่าวมาแล้วนั้นสามารถทำการสรุปเป็นข้อๆ ได้ดังนี้

1) คุณสมบัติไฟฟ้าของวัสดุต่างๆ ที่นำมาใช้เป็นภาชนะหุงต้มจะขึ้นอยู่กับค่าพารามิเตอร์ต่างๆ ของวัสดุนั้น ไม่ว่าจะเป็น สภาพความต้านทานทางไฟฟ้า  $\rho$  ของภาชนะหุงต้ม, ค่าซึมซาบแม่เหล็กไฟฟ้า  $\mu$ , ความลึกผิว  $\delta$ , สภาพความต้านทานของภาชนะหุงต้ม  $R$ , จำนวนรอบของขดลวดเหนี่ยวนำ และความถี่กระแสสลับที่ขดลวดเหนี่ยวนำ  $f$  ซึ่งค่าพารามิเตอร์เหล่านี้ทำให้ค่าความต้านทานเทียนเท่าและอินดักเต้นซ์เทียนเท่าของวงจรเรโซแนนซ์เปลี่ยนไป โดยที่ภาชนะหุงต้มที่ทำด้วยสารอนเฟอร์โรแมกнетิก เช่น อลูминียมและทองแดงจะมีค่าสภาพความต้านทานของภาชนะหุงต้ม  $R$  ต่ำมากเมื่อเทียบกับภาชนะที่ทำด้วยสารเฟอร์โรแมกเนติค เช่น สารเตตานเลสและเหล็ก เป็นต้น โดยจะมีความแตกต่างกันถึงประมาณ 50 เท่า ดังนั้นเมื่อนำวัสดุที่ทำด้วยสารอนเฟอร์โรแมกเนติก มาใช้เป็นภาชนะหุงต้มจะทำให้มีกระแสมากเกินไป เป็นผลให้ชุดอินเวอร์เตอร์เสียหายได้

ขณะเดียวกันถ้าเลือกภาษาชนะที่ทำจากสาร เฟอร์โรแมกнетิก ก็จะทำให้กระแสความดึงสูงจากจร อินเวอร์เตอร์ลดลงได้มาก

2) วงจรอินเวอร์เตอร์เร โซนแนช์แบบบานานาเมะที่จะนำมาใช้กับเครื่องเหนี่ยวนำความร้อนความร้อนความดึงสูง เนื่องจากต้องการกำลังงานมาก ดังนั้นวงจรเร โซนแนช์แบบบานานาที่สามารถให้กระแสได้มากจึงถูกนำมาใช้กับเครื่องเหนี่ยวนำความร้อนความดึงสูง

3) ชุดอินเวอร์เตอร์เร โซนแนช์แบบบานานาที่เหมาะสมกับเครื่องเหนี่ยวนำความร้อนความดึงสูง จะเป็นอินเวอร์เตอร์แบบฟูลบริค์ เนื่องจากสามารถให้กำลังงานได้สูง

4) สำหรับการควบคุมกำลังไฟฟ้า จะเลือกวิธีการปรับขนาดของสัญญาณพัลส์ ที่ใช้ขับดันเกทของไอซีบีที คือถ้าขนาดของสัญญาณพัลส์กว้าง จะให้กำลังงานสูง

5) ความดึงเป็นตัวแปรสำคัญต่อประสิทธิภาพ ความลึกผิวในชิ้นงาน และกำลังเข้าของชิ้นงาน โดยที่เมื่อความดึงสูงขึ้น ความลึกผิวจะลดลงประสิทธิภาพและกำลังเข้าของชิ้นงานจะสูงขึ้น

## บทที่ 3

### การออกแบบและหลักการทำงานของวงจร

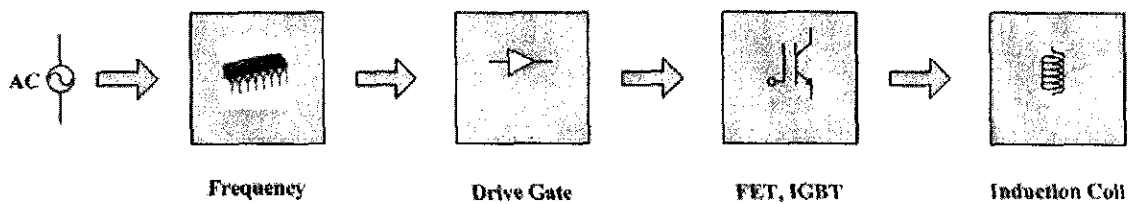
#### 3.1 บทนำ

บทนี้จะกล่าวถึงการออกแบบ และหลักการทำงานของวงจรที่ใช้ควบคุมเครื่องให้ความร้อนแบบเหนี่ยวนำ โดยสามารถแบ่งออกเป็นส่วน 4 ส่วน คือ วงจรเรียงกระแสและกรองกระแสทางด้านอินพุต (Rectifier & Filter), วงจรอินเวอร์เตอร์ (Inverter), วงจรควบคุมอินเวอร์เตอร์ และ โหลดเรโซแนนซ์ (Load resonant) การออกแบบจะต้องคำนึงถึงประสิทธิภาพที่จะได้ โดยทำการคัดสรรรีซิสเตอร์และอุปกรณ์ต่างๆ เพื่อให้วงจรมีคุณสมบัติตามที่ต้องการ

เครื่องให้ความร้อนแบบเหนี่ยวนำที่ได้รับการพัฒนาขึ้นนี้มีหลักการทำงานดังรูปที่ 3.1 เครื่องให้ความร้อนแบบเหนี่ยวนำนี้ใช้ไฟฟ้ากระแสสลับ 1 เฟส 220 โวลต์ 50 เฮิร์ซ โดยมีวงจรเรียงกระแสและวงจรกรองแรงดันเพื่อแปลงไฟฟ้ากระแสสลับให้เป็นไฟฟ้ากระแสตรงป้อนให้กับวงจรต่างๆ ทั้งส่วนของวงจรควบคุมจากแรงดันที่เป็นส่วนให้กำหนดสัญญาณความถี่ ส่วนวงจรขยายสัญญาณ ส่วนของบัฟเฟอร์และส่วนของวงจรภาคกำลัง ซึ่งส่วนของวงจรภาคกำลังจะใช้วงจรการทำงาน อินเวอร์เตอร์แบบเติมบริดจ์ที่ใช้ IGBT เป็นอุปกรณ์สวิตช์ โดยจะใช้ไอซีสำเร็จรูปเบอร์ UC3879N ในการควบคุมการทำงานอุปกรณ์สวิตช์ IGBT นี้ทำหน้าที่แปลงไฟฟ้ากระแสตรงเป็นไฟฟ้ากระแสสลับความถี่สูงจ่ายให้กับขดลวดเหนี่ยวนำที่พันรอบชิ้นงานทำให้เกิดกระแสไฟฟ้าในชิ้นงานและทำให้เกิดความร้อนขึ้น ชิ้นงานนั้นก็เปรียบเสมือนโหลดนั่นเอง

สำหรับระบบควบคุมที่ใช้ไอซีเบอร์ UC3879N ในการควบคุมความถี่ของสัญญาณจุดนำสวิตช์ผ่านวงจรขับนำเกต โดยทำงานจากโหมดควบคุมแรงดันและจะมีสัญญาณเอาท์พุท 4 ค่า คือที่ขา 8, 9, 13 และ 14 โดยสัญญาณที่ออกมายังมีลักษณะเป็นสัญญาณพัลส์รูปสี่เหลี่ยมที่สลับการทำงานกัน เพื่อควบคุม IGBT ให้ทำงานสลับกัน แต่สัญญาณพัลส์สี่เหลี่ยมที่ได้มีแรงดันเอาท์พุท น้อยกว่าที่จะทำให้ IGBT ทำงานได้ ดังนั้นจึงจำเป็นต้องมีวงจรขยายโดยใช้ทรานซิستเตอร์เป็นตัวขยายสัญญาณให้ได้แรงดันตามที่ต้องการ แต่ลักษณะของพัลส์ยังไม่ดีพอจึงใช้วงจรบัฟเฟอร์ เข้ามาช่วยเพื่อให้ได้ลักษณะของสัญญาณและแรงดันตามที่ต้องการ

สัญญาณที่ได้จะป้อนเข้าสู่ส่วนของวงจรภาคกำลัง ซึ่งต่อวงจรแบบฟูลบริดจ์คอนเวอร์เตอร์ เพื่อควบคุมการทำงานของ IGBT และสัญญาณที่ออกจากส่วนของวงจรภาคกำลัง จะป้อนเข้าท่วงจรชุดเรโซแนนซ์ตัวเก็บประจุและส่วนของขดลวดเหนี่ยวนำเพื่อทำให้เกิดความร้อน



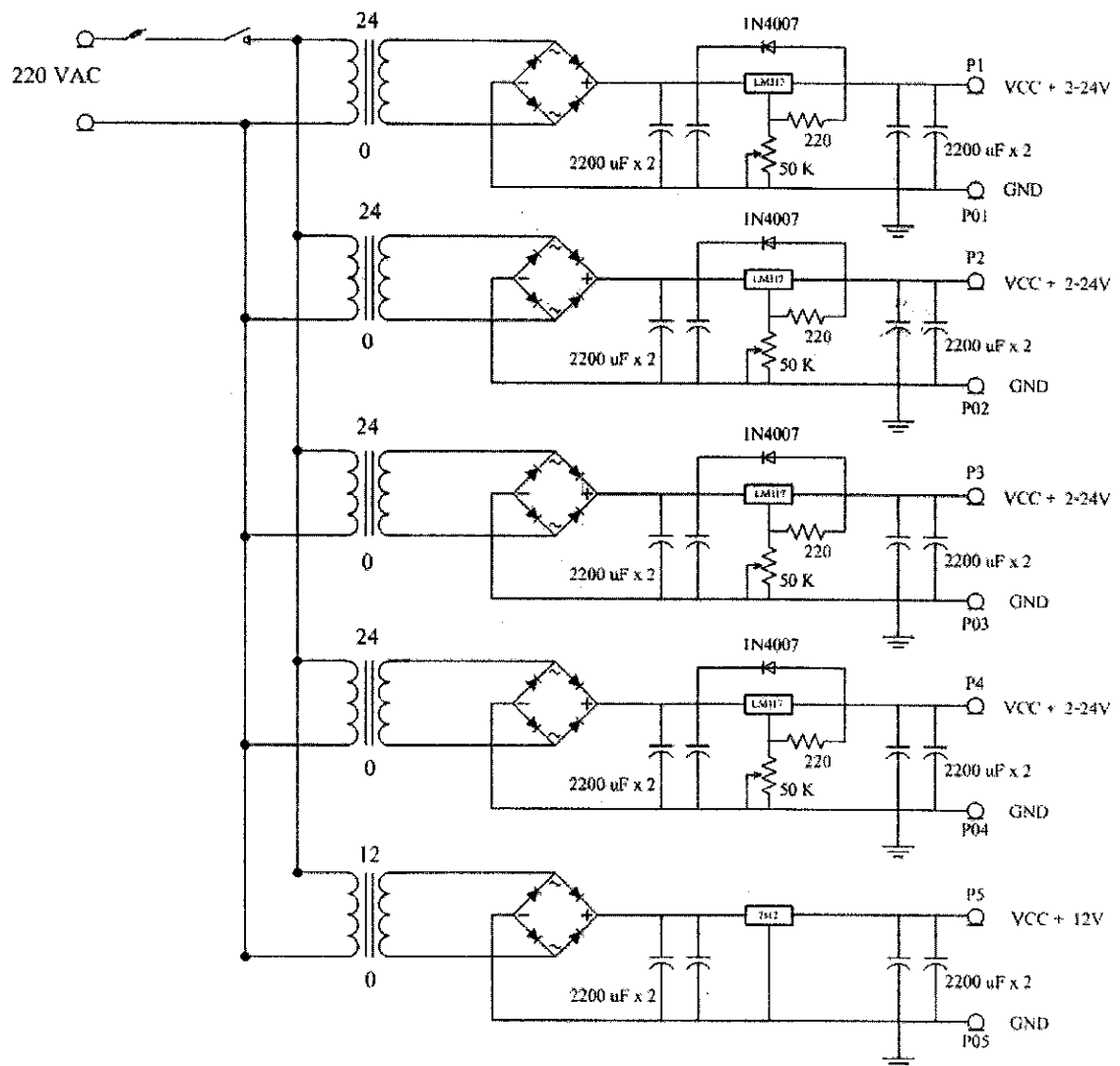
รูปที่ 3.1 บล็อกไซซ์แกรมแสดงส่วนประกอบของเครื่องให้ความร้อนแบบเหนี่ยววน

### 3.2 วงจรเพาเวอร์ชั้บพลาญ

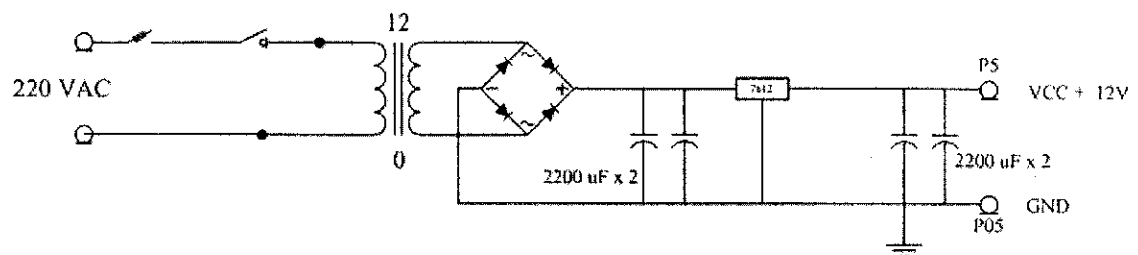
วงจรเปลี่ยนไฟฟ้ากระแสสลับเป็นไฟฟ้ากระแสตรง ทำหน้าที่เปลี่ยนไฟฟ้ากระแสสลับแรงดัน 220 โวลต์ ความถี่ 50 เฮิร์ซ เป็นไฟฟ้ากระแสตรง ประกอบด้วย วงจรเรียงกระแสแบบบริดจ์ และตัวเก็บประจุซึ่งทำหน้าที่เป็นวงจรกรองแรงดัน จากรูป 3.2 เพาเวอร์ชั้บพลาญซึ่งเป็นส่วนที่จ่ายไฟให้กับวงจรต่างๆ ทั้งส่วนของวงจรควบคุมจากแรงดันที่เป็นส่วนให้กำเนิดสัญญาณความถี่ ส่วนของวงจรขับนำเกต และส่วนของวงจรภาคกำลัง ซึ่งแต่ละส่วนต้องการแรงดันไฟฟ้ากระแสตรงที่ไม่เท่ากัน ดังนี้จึงต้องออกแบบเพื่อจ่ายไฟแต่ละส่วนให้พอดีกับอุปกรณ์ส่วนนั้นๆ เพื่อประสิทธิภาพของแต่ละวงจร โดยที่ความสามารถแยกวงจรเพาเวอร์ชั้บพลาญได้ทั้งหมดเป็น 3 ส่วน ด้วยกันคือ เพาเวอร์ชั้บพลาญที่ใช้ในส่วนของวงจรควบคุมจากแรงดัน, เพาเวอร์ชั้บพลาญที่ใช้ในส่วนของวงจรขับนำเกต และ เพาเวอร์ชั้บพลาญที่ใช้ในส่วนของวงจรภาคกำลัง

#### 3.2.1 เพาเวอร์ชั้บพลาญที่ใช้ในส่วนของวงจรควบคุมจากแรงดัน

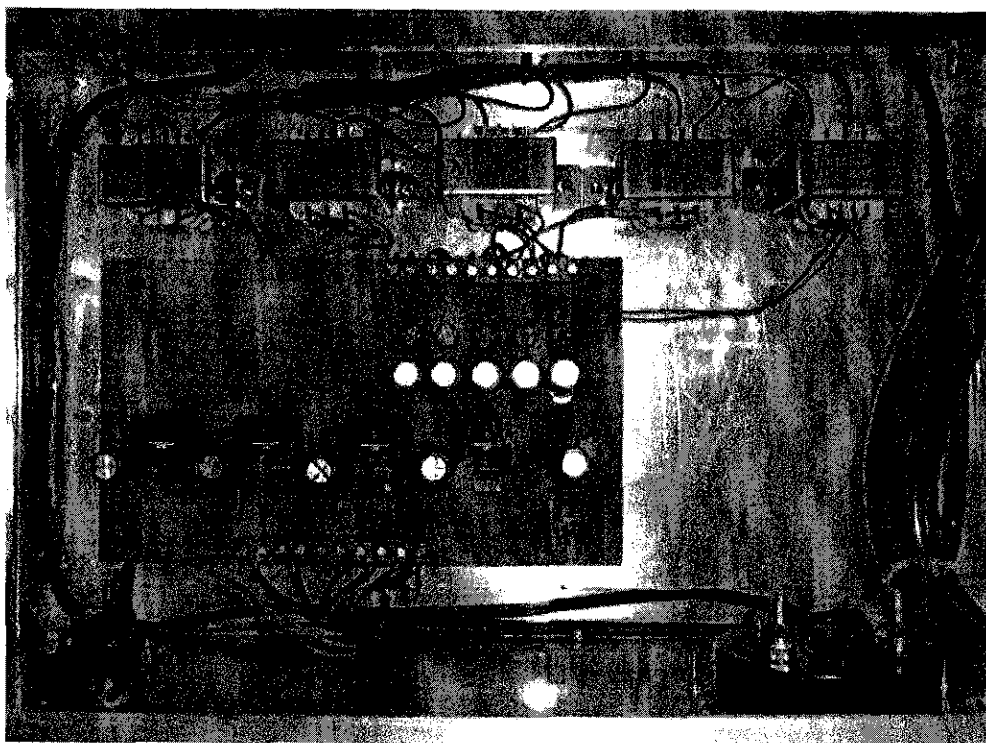
จากรูปที่ 3.3 วงจรชุดนี้เป็นวงจรที่ต้องการเอาท์พุท  $12 \text{ V}_{dc}$  เพื่อเป็นวงจรจ่ายไฟให้กับชุดวงจรควบคุมจากแรงดัน โดยวงจรชุดนี้จะรับไฟกระแสสลับแรงดัน 220 V ผ่านหม้อแปลง  $12 \text{ V}_{ac}$  เพื่อทำการแปลงแรงดันลง แล้วผ่านเข้าวงจรบริจจ์ไอโอดิเพื่อทำการแปลงไฟกระแสสลับให้เป็นไฟกระแสตรง ที่มีแรงดัน  $17 \text{ V}_{dc}$  แต่แรงดันที่ได้อ้างบันมีค่าไม่สมำเสมอ ดังนั้นถ้าต้องการให้วงจรแปลงไฟฟ้ากระแสสลับเป็นไฟฟ้ากระแสตรงที่สมำเสมอขึ้นจึงต้องมีวงจรกรองกระแส โดยที่วงจรกรองกระแสประกอบด้วยตัวเก็บประจุที่ต่อขนานกันอยู่นั่นเอง วงจรชุดนี้ต้องการแรงดันไฟที่จ่ายให้กับวงจรเพียงแค่  $12 \text{ V}_{dc}$  เท่านั้น แต่แรงดันหลังจากผ่านวงจรบริจจ์มีค่าถึง  $17 \text{ V}_{dc}$  ดังนั้นเราจึงใช้ไอซีเบอร์ 7812 เพื่อปรับแรงดันให้ได้  $12 \text{ V}_{dc}$  ตามต้องการ โดยที่วงจรเพาเวอร์ชั้บพลาญรวมที่สร้างขึ้นจริงแสดงไว้ดังรูปที่ 3.4 และ รูปที่ 3.5 แสดงถึงวงจรจริงของเพาเวอร์ชั้บพลาญในส่วนของวงจรควบคุมจากแรงดัน



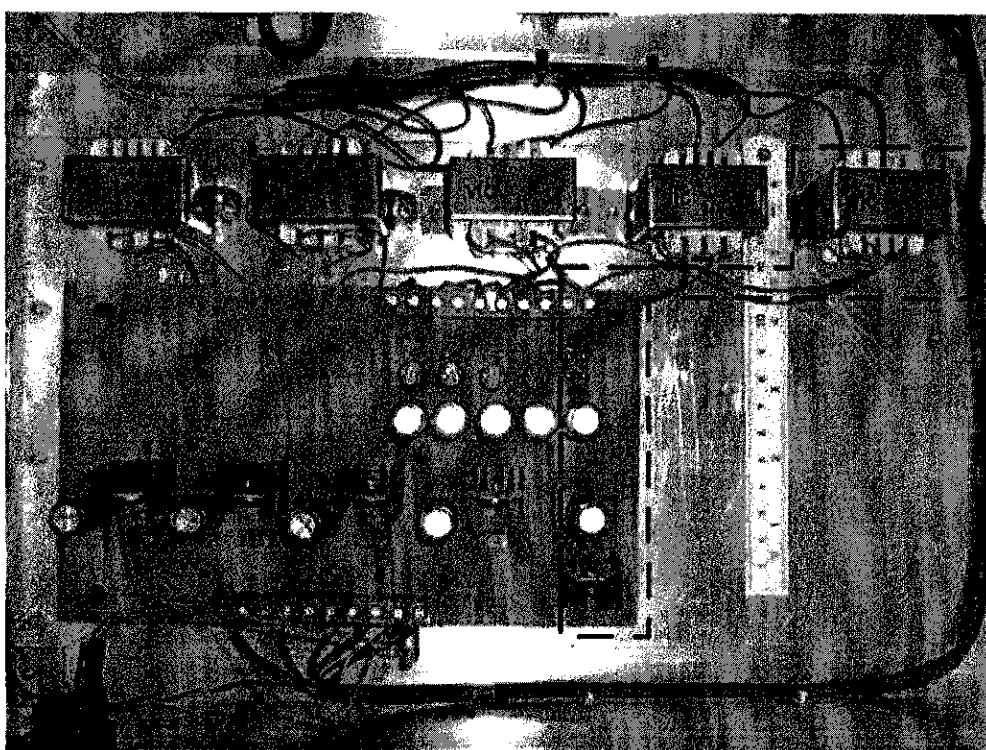
รูปที่ 3.2 วงจรเพาเวอร์ซับพลाय



รูปที่ 3.3 เพาเวอร์ซับพลायในส่วนของวงจรควบคุมจากแรงดัน



รูปที่ 3.4 วงจรริบของเพาเวอร์ซัพพลาย



รูปที่ 3.5 วงจรริบของเพาเวอร์ซัพพลายในส่วนของวงจรควบคุมจากแรงดัน

### 3.2.2 เพาเวอร์ซับพลายที่ใช้ในส่วนของวงจรขับนำเกต

วงจรขับนำเกตเป็นวงจรที่ต้องการไฟฟ้ากระแสสลับแรงดัน  $24 \text{ V}_{dc}$  ทึ้งหมด 4 ชุด ดังนั้นเราจึงต้องออกแบบวงจรเพาเวอร์ซับพลายที่แปลงไฟฟ้ากระแสสลับ 220 V ผ่านหม้อแปลง  $24 \text{ V}_{ac}$  เพื่อแปลงแรงดันไฟฟ้าลงให้เหลือ 24 V แล้วผ่านบีริดจ์ไดโอดเพื่อทำการแปลงไฟฟ้ากระแสสลับให้เป็นไฟฟ้ากระแสตรง และผ่านวงจรกรองกระแสที่ใช้ตัวเก็บประจุชั่วขณะตามรูป 3.6

วงจรในส่วนนี้จะต้องการแรงดันไฟเข้าวงจร  $24 \text{ V}_{dc}$  เท่านั้นแต่เมื่อแรงดันผ่านบีริดจ์ไดโอดและวงจรเรียงกระแสแล้วจะมีค่าแรงดันเท่ากับ  $24 \sqrt{2}$  伏ต ซึ่งจะมีค่าเท่ากับ  $34 \text{ V}_{dc}$  และใช้ไอซีเบอร์ LM317 เพื่อปรับแรงดันให้ได้  $24 \text{ V}_{dc}$  ตามต้องการ วงจรจริงของเพาเวอร์ซับพลายในส่วนของวงจรขับนำเกตแสดงไว้ตามรูป 3.7

การออกแบบ LM317 ที่ต้องการเอาท์พุต  $24 \text{ V}_{dc}$

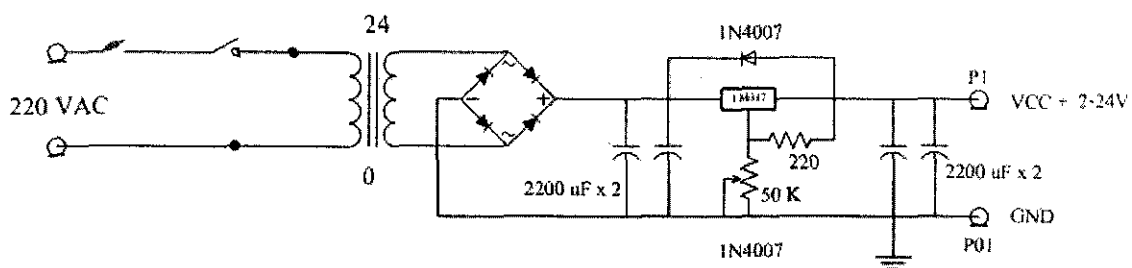
จากสูตร

$$V_{OUT} = 1.25V \left(1 + \frac{R_2}{R_1}\right) + I_{ADJ} R_2$$

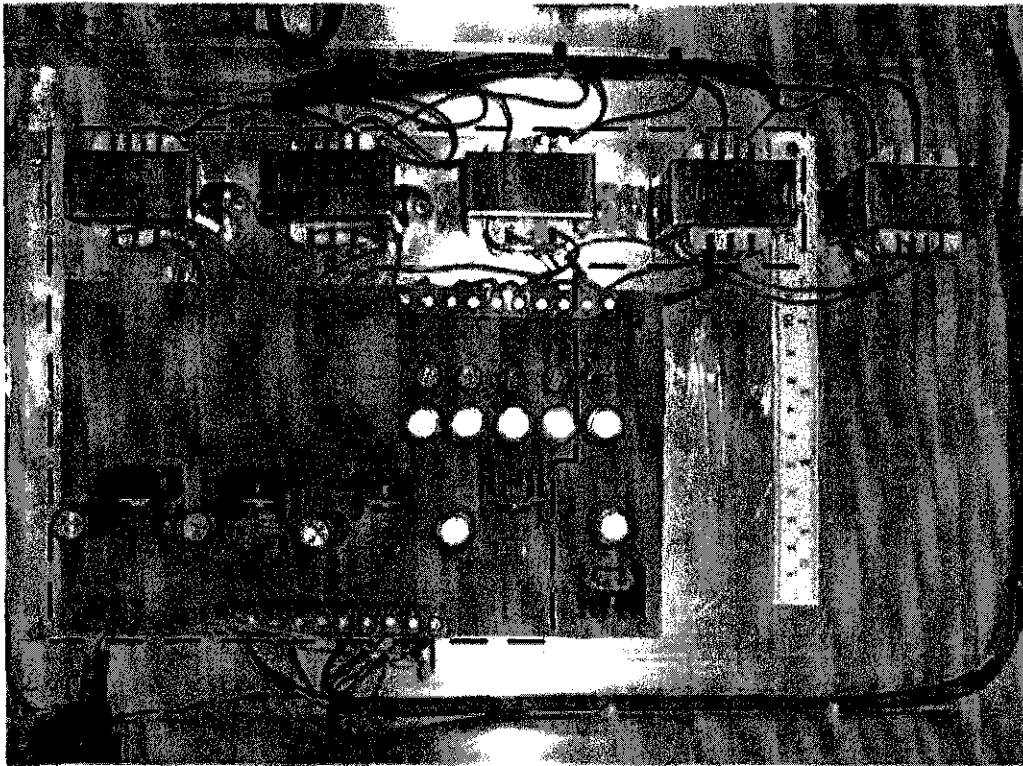
โดยที่  $R_1$  มีค่าเท่ากับ 220 โอห์ม จะได้

$$24V = 1.25V \left(1 + \frac{R_2}{220}\right) + I_{ADJ} R_2$$

$$R2 = 5k\Omega$$



รูปที่ 3.6 เพาเวอร์ซับพลายในส่วนของวงจรขับนำเกต (หนึ่งในสี่ชุด)



รูปที่ 3.7 วงจรริบของเพาเวอร์ชั้บพลาຍในส่วนของวงจรขับนำแกท

### 3.2.3 เพาเวอร์ชั้บพลาຍที่ใช้ในส่วนของวงจรภาคกำลัง

เพาเวอร์ชั้บพลาຍที่ใช้ในส่วนของวงจรภาคกำลังแสดงดังรูป 3.8 วงจรดูดนี้ต้องการแรงดันไฟฟ้า  $320 \text{ V}_{dc}$  มาเป็นไฟเลี้ยงให้กับระบบของวงจรภาคกำลัง โดยวงจรส่วนนี้จะรับไฟกระแสสลับ  $220 \text{ V}$  เข้ามาผ่านชุดวงจรบริคจ์ไดโอดเพื่อทำการแปลงไฟฟ้ากระแสสลับให้เป็นไฟฟ้ากระแสตรง เอ้าท์พุทที่ออกจากบริคจ์ไดโอดจะต่อเข้ากับตัวเก็บประจุขนาด  $4700 \mu\text{F}$  ที่ต่อขนานกันอยู่ 2 ตัว จากว่างส่วนนี้เราสามารถคำนวณค่าไฟฟ้ากระแสตรงจากสมการ 3.1 ได้  $320 \text{ V}$  จากรูป 3.8 แสดงส่วนของวงจรเพาเวอร์ชั้บพลาຍที่ใช้ในส่วนของวงจรภาคกำลัง วงจรริบของเพาเวอร์ชั้บพลาຍในส่วนของวงจรภาคกำลัง แสดงดังรูป 3.9

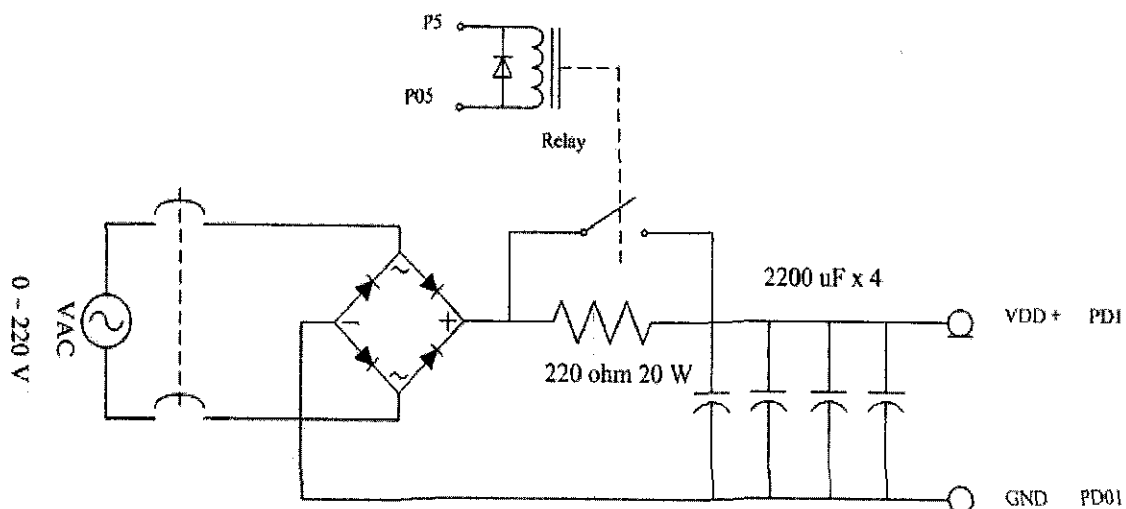
$$V_{DC} = \sqrt{2} \times V_s - V_D \quad (3.1)$$

เมื่อ  $V_s$  คือ แรงดันที่ใช้งาน

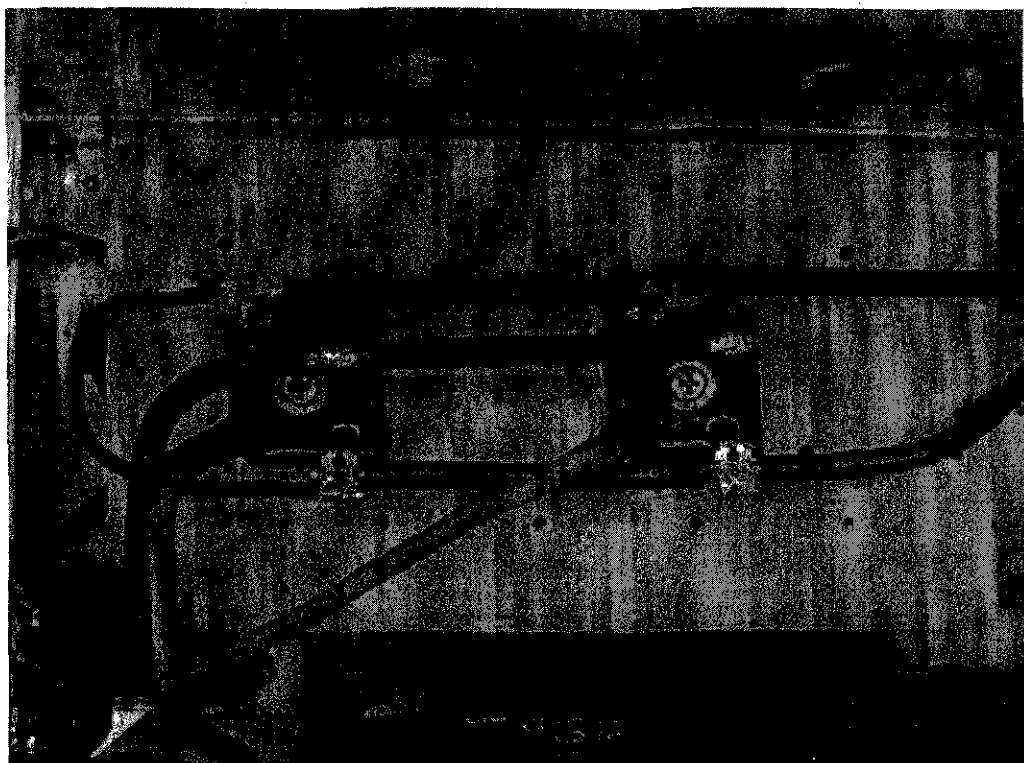
$V_D$  คือ แรงดันที่ตกคร่อมไดโอด

$$\text{ดังนั้น } V_{DC} = (\sqrt{2} \times 220) - (2 \times 0.7)$$

$$= 310V$$



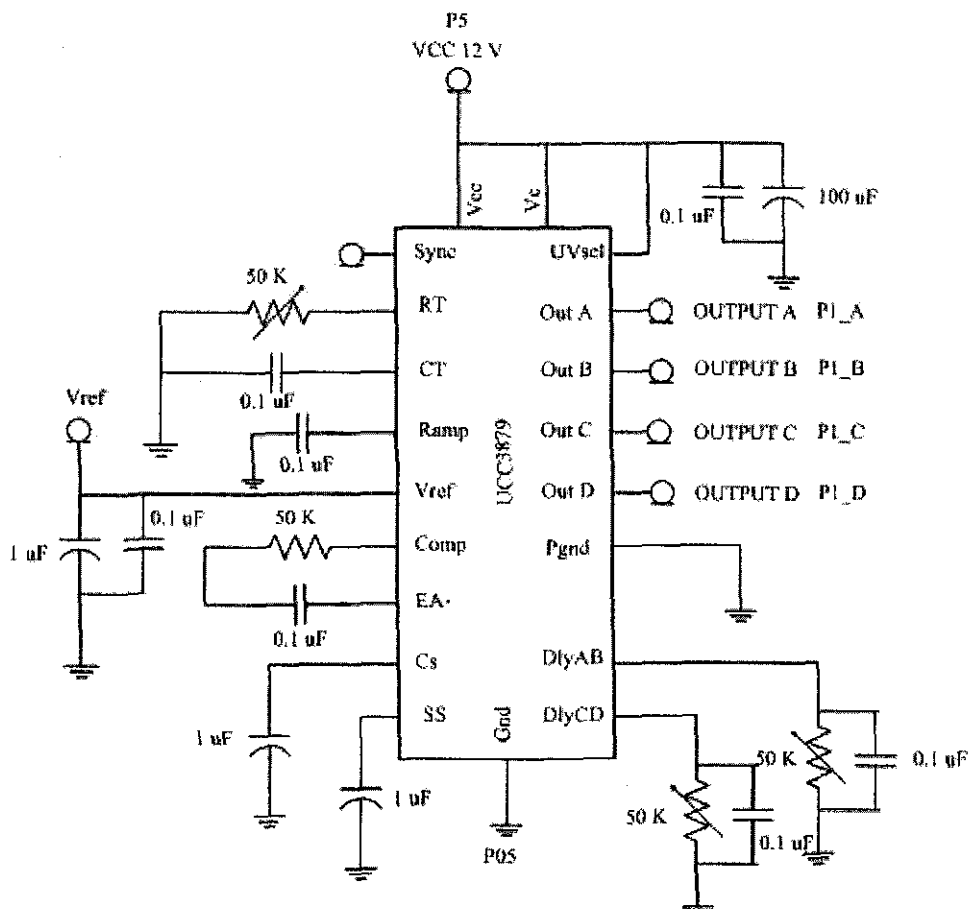
รูปที่ 3.8 เพาเวอร์ชั้นพลาຍในส่วนของวงจรภาคกำลัง



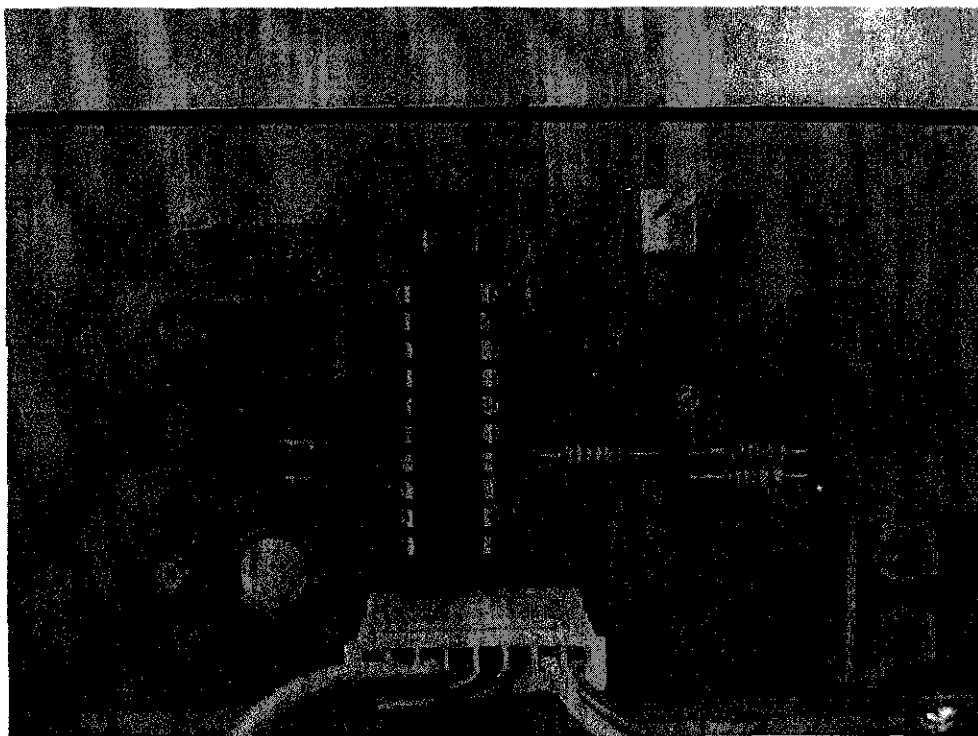
รูปที่ 3.9 วงจรจริงของเพาเวอร์ชั้นพลาຍในส่วนของวงจรภาคกำลัง

### 3.3 การออกแบบวงจรควบคุมในโหมดของแรงดัน

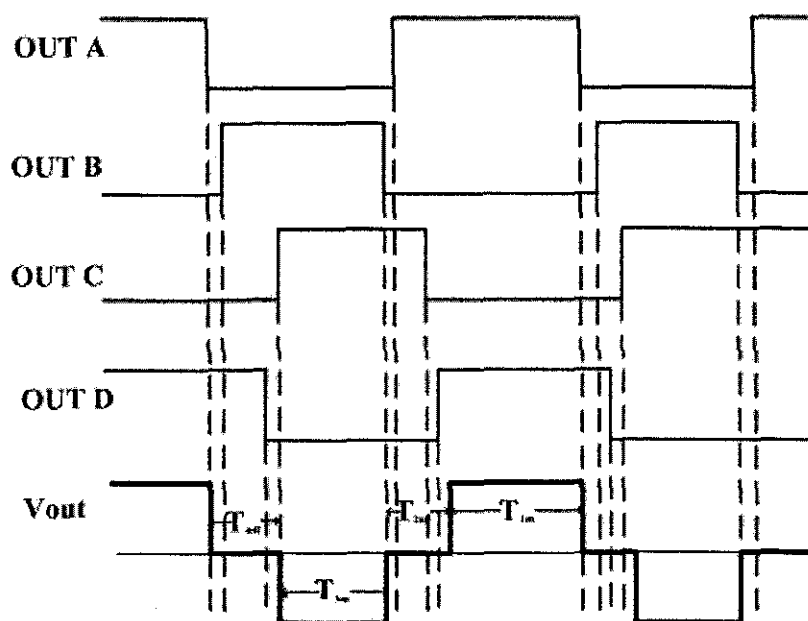
สำหรับวงจรควบคุมในโหมดของแรงดันนี้จะเป็นส่วนที่ใช้ควบคุมการทำงานของวงจรภาคกำลังอิเล็กทรอนิกส์ เพื่อเป็นการกำหนดการทำงานของ IGBT แต่ละตัว โดยที่ส่วนของวงจรภาคกำลังมีแบบวงจรเป็นแบบเติมบริดจ์ ดังนั้นจึงต้องใช้ไอซีที่สามารถกันเนิร์ฟพุทได้ 4 ค่ามาตรฐาน จึงได้เลือกใช้ไอซีสำเร็จรูปเบอร์ UC3879N ซึ่งเป็นไอซีที่มี 4 เอ้าพุท และมีคุณสมบัติพร้อมที่จะนำมาใช้เป็นวงจรควบคุม จากรูป 3.10 แสดงการต่อวงจรของไอซีเบอร์ UC3879N โดยใช้แรงดันไฟกระแสตรง 12 V ในการทำให้ไอซีทำงาน เราจะได้สัญญาณที่ออกมากในรูปของแรงดัน 4 เอ้าพุท แรงดันที่ได้นี้จะเป็นตัวกำหนดการทำงานของวงจรขั้นเกตอิเล็กทรอนิกส์หนึ่ง โดยที่เราสามารถปรับการประวิง (Delay) สัญญาณพัลส์ OUT A และ OUT B ได้ที่ตัวด้านหน้าที่ต่อ กับขา 5 ของ ไอซี และตัวด้านหน้าที่ต่อ กับขา 15 ของ ไอซี สำหรับปรับการประวิงสัญญาณพัลส์ของ OUT C และ OUT D สำหรับการปรับเวลาไว้เพลสนอง (Dead time) สามารถปรับได้โดยการปรับตัวด้านหน้าที่ขา 1-3 ของ ไอซี วงจรจริงของ ไอซีเบอร์ UC3879N แสดงไว้ดังรูปที่ 3.11



รูปที่ 3.10 ลักษณะวงจรของ ไอซีเบอร์ UC3879N



รูปที่ 3.11 วงจรจริงของไอซีเบอร์ UC3879N



รูปที่ 3.12 ลักษณะของสัญญาณที่ใช้ขับเกตของ IGBT และสัญญาณเอาท์พุต ( $V_{out}$ ) ที่ตอกคร่อง  
ขาด漉คหนึ่งยิ่งนำความถี่สูง

แรงดันเอาท์พุทที่ได้จะนำไปเป็นสัญญาณอินพุทธองงงชั้นนำเกต โดยเรา กำหนดให้สัญญาณอินพุททำงานไม่พร้อมกัน เพื่อให้เกิดช่วงการนำกระแสเป็นศูนย์ (Zero Voltage Switching, ZVS) การทำงานของอุปกรณ์สวิตช์ โดยช่วงนำกระแสเป็นศูนย์คือช่วง  $T_{2\text{off}}$  และ  $T_{4\text{off}}$  ของกราฟ  $V_{\text{out}}$  ในรูปที่ 3.12 และส่วนของกราฟด้านบนช่วง  $T_{1\text{on}}$  คือช่วงที่ G1 และ G4 ทำงาน กราฟ ด้านลับช่วง  $T_{3\text{on}}$  คือช่วงที่ G2 และ G3 ทำงาน ทั้งนี้สวิตช์ทั้ง 4 ตัวยังทำงานไม่พร้อมกันอีกด้วย โดย ที่กราฟ  $V_{\text{out}}$  คือลักษณะของสัญญาณที่บัดคลื่นหนี่ยวนำ

### 3.4 การออกแบบวงจรชั้นนำเกต

IGBT จะทำงานเมื่อมีแรงดันมาทำให้เกิดการนำกระแสผ่านคอลเลกเตอร์ สู่อิมิเตอร์ แรงดันที่เกตสามารถที่จะจ่ายได้จากการขยายแบบ วงจรชั้นนำเกตจึงควรมีทั้งในอัสบากเพื่อให้ นำกระแส และในอัสลบเพื่อให้หยุดนำกระแส การที่ต้องมีในอัสลบเพื่อมีองกันการเกิดการ นำกระแสเนื่องจากมีสัญญาณรบกวนเข้ามาทางเกต

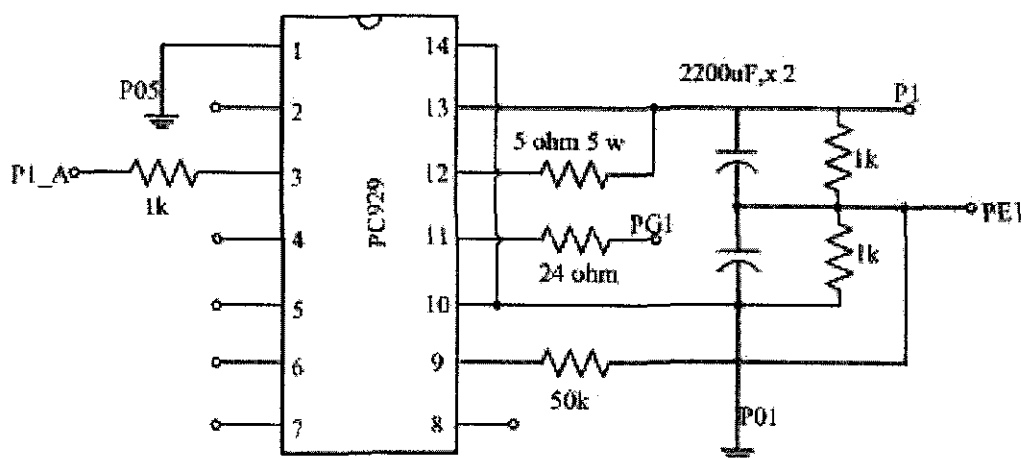
แรงดันชั้นเกตสำหรับช่วงนำกระแส แรงดันเกตควรอยู่ที่ระดับแรงดัน 12 V ค่าที่จะสูงเพียง พอดีจะทำให้ IGBT อิ่มตัวเต็มที่ และมีค่าสัญเสียงในขณะนำกระแสต่ำ และ IGBT จะหยุด นำกระแสเมื่อแรงดันเกตเป็นศูนย์ แต่ถ้ายังไรก็ตาม เพื่อความนิ่นใจจะร่องน้ำในอัสลบเพื่อป้องกัน การรบกวนของสัญญาณเนื่องจาก  $\frac{dv}{dt}$  ของแรงดันคอลเลกเตอร์-อิมิเตอร์ นอกจากนี้การให้ในอัสลบ ยังช่วยลดกำลังสัญเสียงในขณะหยุดการนำกระแสอีกด้วย

ตัวต้านทานอนุกรมที่เกต  $R_g$  มีความสำคัญอย่างมาก เพราะค่าของความต้านทานที่ขาเกตนี้ จะมีผลกระทบต่อคุณสมบัติของ IGBT เมื่อระบบเริ่มนำกระแสและเริ่มหยุดนำกระแส โดยการเก็บ ประจุและคายประจุของตัวเก็บประจุเกต ค่าความต้านทานที่ต่ำจะทำให้การเก็บประจุและคายประจุ ที่รวดเร็ว ทำให้ลดเวลาในการทำงานของสวิตช์ และลดกำลังสัญเสียงในการสวิตช์ แต่ถ้าให้ตัว ต้านทานเกตมีค่าน้อยเกินไปอาจจะทำให้เกิดการรบกวนของสัญญาณที่เกตได้ง่าย และอาจนำไปสู่ ปัญหาการแกว่งระหว่างตัวเก็บประจุเกต-อิมิเตอร์ กับ ค่าความหนาแน่นยานแม่เอ็นที่ปนเข้ามา (parasitic inductance) ในวงจรชั้นนำเกต จากการวิจัยทางผู้วิจัยเลือกใช้ไอซีสำเร็จรูปเบอร์ PC929 ดังที่แสดง ในรูปที่ 3.13 และวงจรจริงของวงจรชั้นนำเกตผ่านไอซีเบอร์ PC929 แสดงดังรูปที่ 3.14

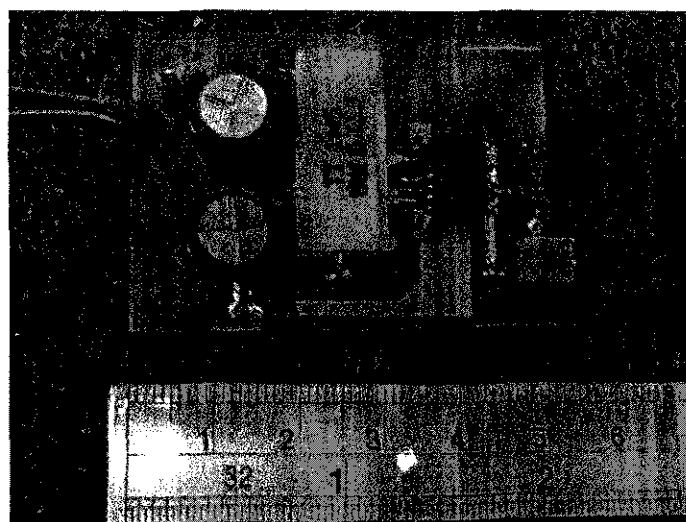
#### ข้อที่ต้องพิจารณาของชุดวงจรชั้นนำเกต

1. ภายในวงจรระหว่างเอาท์พุทธองงชั้นนำเกต และ IGBT จะต้องมีค่าความหนาแน่นยาน แพงน้อยที่สุด โดยค่าความหนาแน่นยานแพงที่เกิดจะเขียนอยู่กับการทำให้ loop area ที่เกิดจากเอาท์พุท ของวงจรชั้นนำเกตต่อเนื่องถึงขาเกต-อิมิเตอร์ของ IGBT เล็กที่สุดเท่าที่จะทำได้

2. จะต้องหลีกเลี่ยงค่าความหนาแน่นนำเขื่อมโดยระหว่างจรกำลังและวงจรควบคุม ซึ่งอาจทำได้โดยการแยกชุดขับนำเกตออก หรือ ปิดกั้นวงจรขับนำเกต
3. ควรจะมี auxiliary emitter terminal ต่อเข้ากับชุดขับนำเกต
4. ถ้าการเชื่อมต่อโดยตรงระหว่างแผ่น PCB (Printed Circuit Board) ของวงจรขับนำเกตกับขั้วของ IGBT ไม่สามารถทำได้ ให้ใช้สายพันต์เกลี่ยวหรือ strip line แทน
5. วงจรป้องกันแรงดันเกตจะต้องอยู่ใกล้กับชุดต่อเกต-อimitเตอร์ ของ IGBT ให้มากที่สุด เพื่อที่จะทำได้



รูปที่ 3.13 แสดงวงจรขับนำเกตผ่านไอซีบอร์ด PC929



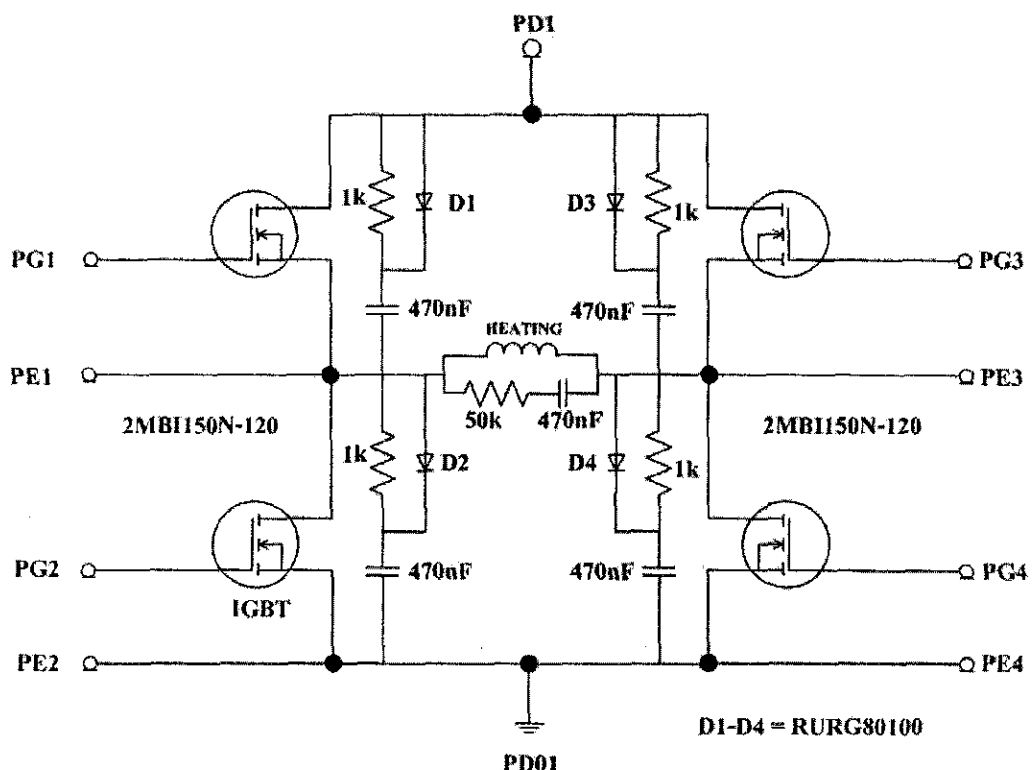
รูปที่ 3.14 วงจรจริงของวงจรขับนำเกตผ่านไอซีบอร์ด PC929

6. สำหรับลักษณะนี้เมื่อต้องไม่เดินใกล้กันเพื่อหลีกเลี่ยง mutual potential change ระหว่างที่ IGBT กำลังทำการสวิตช์ ค่า  $\frac{dv}{dt}$  สูงๆ อาจทำให้เกิดสัญญาณรบกวนผ่านค่าความจุ แฟง ถ้าไม่สามารถเลี่ยงการตัดกันหรือขอนานกันใกล้กันไปของลักษณะนี้จะพิมพ์ค่าจะปิดกันลักษณะระหว่างกัน

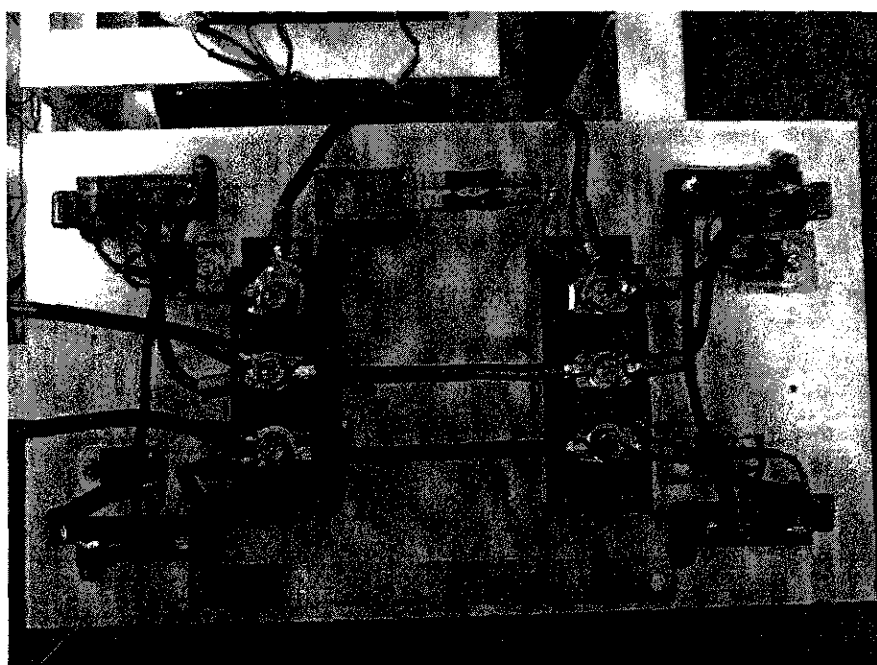
7. ค่าความจุแห่งระหว่างค้านแรงดันสูงและค้านแรงดันต่ำของวงจรขับเกต และวงจรควบคุมอาจทำให้เกิดปัญหาการเชื่อมโยงสัญญาณรบกวนได้ หนึ่งแหล่งของแหล่งจ่ายที่มีขนาดคล้ายๆ กันอาจทำให้เกิดตัวเก็บประจุระหว่างกัน จนทำให้เป็นแหล่งเชื่อมโยงการเกิดสัญญาณรบกวนได้เช่นกัน จะต้องทำการวัดเพื่อทดสอบค่าความจุ

### 3.5 การออกแบบวงจรฟูลบริดจ์อินเวอร์เตอร์

จากรูปที่ 3.15 แรงดันไฟฟ้ากระแสตรงที่ໄ่ 320 V จะป้อนให้กับวงจรฟูลบริดจ์ อินเวอร์เตอร์ที่ใช้ IGBT เบอร์ 2MBI100-120 จำนวน 2 ตัว เป็นอุปกรณ์สวิตช์ โดยที่ IGBT ทั้ง 4 ตัว จะทำงานเป็นคู่สลับกันคือ คู่ SW1 และ SW4 จะนำกระแสพร้อมกันในช่วงครึ่งคานสัญญาณแรก ส่วนครึ่งคานสัญญาณหลัง SW2 และ SW3 นำกระแสแทน ส่วน คู่ SW1 และ SW4 หยุดนำกระแส ทำให้แรงดันเอาท์พุทของอินเวอร์เตอร์ที่ขดลวดเหนี่ยวนำมีค่าอยอดลักษณะเท่ากับสองเท่าของ แรงดันไฟตรง ( $V_s$ ) ที่ป้อนให้กับวงจรภาคกำลังและมีความถี่เท่ากับการทำงานของวงจรกำเนิด สัญญาณมดดูเลตความกว้างพัลส์ (Pulse width modulation, PWM) ที่ขับให้กับ IGBT ทำงาน และวงจรริบของฟูลบริดจ์อินเวอร์เตอร์ แสดงดังรูป 3.16



รูปที่ 3.15 แสดงวงจรฟูลบридจ์อินเวอร์เตอร์



รูปที่ 3.16 วงจรจริงของฟูลบридจ์อินเวอร์เตอร์

### 3.6 การออกแบบวงจรเรโซแนนซ์

วงจรเรโซแนนซ์ เป็นวงจรสมดุลห่วงตัวเก็บประจุกับคดลวดเหนี่ยวนำซึ่งมีความสำคัญในการใช้งานกับวงจรอิเล็กทรอนิกส์ ด้วยผลต่อสัญญาณกระแสสลับของคดลวดและตัวเก็บประจุซึ่งแตกต่างกัน ในทางตรงกันข้าม จะทำให้เกิดผลต่อแรงดันในกระแสตรง และกระแสสลับในลักษณะต่างๆ เช่น เกิดการจ่ายและรับกระแสให้ซึ่งกันและกัน ทำให้เกิดสัญญาณกระแสสลับตกร่วมวงจร แต่เมื่อวงจรได้รับแรงดันกระแสตรงจะเกิดการต่อต้านและยอมให้สัญญาณกระแสสลับบางความถี่ผ่านได้ เป็นต้น

จากการออกแบบวงจรเรโซแนนซ์แบบบานาน โดยจะใช้ตัวเก็บประจุค่า  $470 \text{ nF}$  แต่เรา秧ไม่ทราบค่าตัวเหนี่ยวนำค่า ดังนั้นเราสามารถคำนวณค่าตัวเหนี่ยวนำเพื่อนำไปคำนวณความถี่เรโซแนนซ์ของระบบได้ดังนี้

$$L = \frac{a^2 N^2}{9a + 10b}$$

$$= \frac{8.75^2 (11)^2}{9(8.75) + 10(3.5)}$$

$$L = 81.44 \mu H$$

จากค่าตัวเหนี่ยวนำที่คำนวณได้ สามารถนำไปคำนวณหาความถี่เรโซแนนซ์ได้ดังนี้

$$f = \frac{1}{2\pi\sqrt{LC}}$$

$$f = \frac{1}{2\pi\sqrt{470(\text{nF}) \times 81.44(\mu\text{H})}}$$

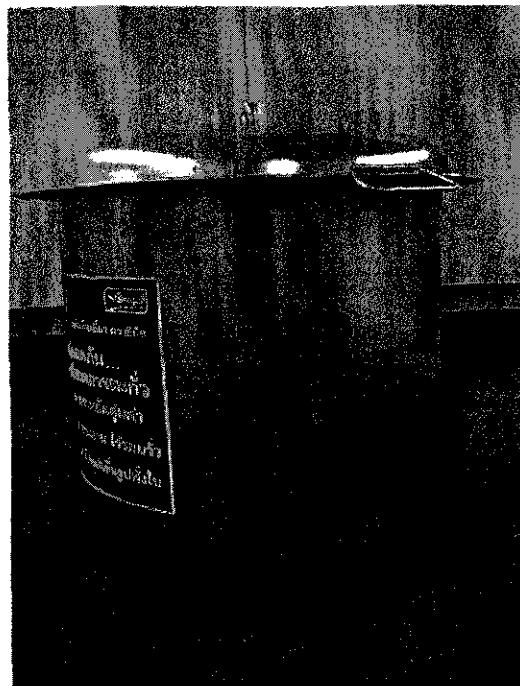
$$f = 25.72 \text{ kHz}$$

หากผลการคำนวณที่ได้ความถี่เรโซแนนซ์ คือ  $25.72 \text{ kHz}$

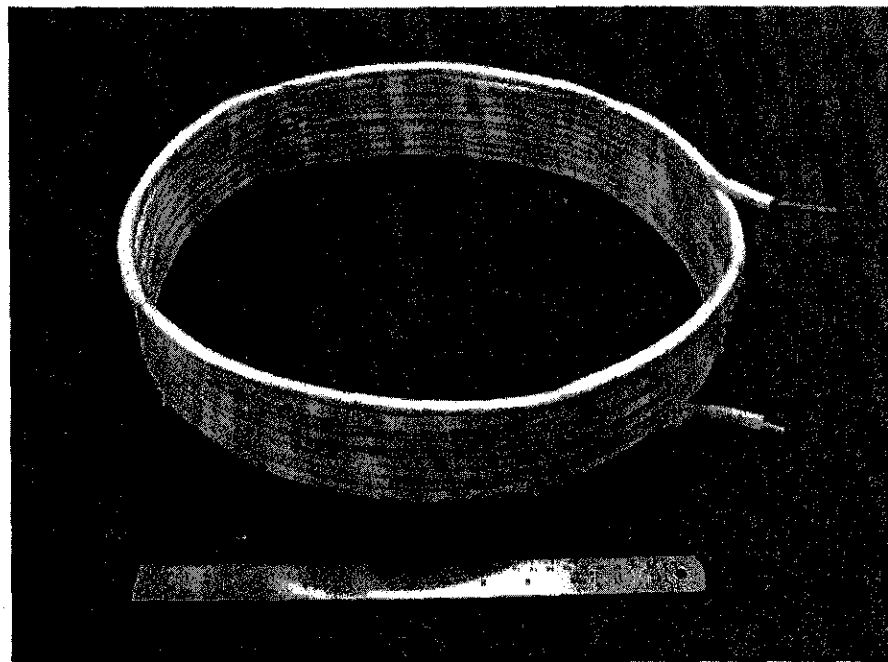
### 3.7 ลักษณะของภาชนะที่ใช้และการออกแบบด้วยเห็นี่ยวนำ

เนื่องจากเครื่องเห็นี่ยวนำที่สร้างขึ้นมีจุดประสงค์เพื่อนำไปประกอบอาหาร (หม้อ กะวายเตี้ยๆ) ทางผู้วิจัยจึงเลือกใช้ภาชนะที่เป็นหม้อกะวายเตี้ยจริงๆ ที่มีข่ายอยู่ตามห้องตลาดทั่วไปแต่มีคุณสมบัติเป็นสาร Ferro Magnetic ที่มีขนาดเส้นผ่านศูนย์กลางของภาชนะ 40 เซนติเมตร สูง 45 เซนติเมตร ดังที่แสดงไว้ในรูปที่ 3.17

จากลักษณะของหม้อต้มกะวายเตี้ยที่แสดงดังรูปที่ 3.17 ขนาดของขอลัวที่นำมาใช้พันรอบภาชนะจึงต้องเลือกที่เหมาะสมกับขนาดของภาชนะที่ใช้ ทางผู้วิจัยจึงเลือกใช้ท่อทองแดงขนาด 0.625 เซนติเมตร พันรอบภาชนะมีเส้นผ่านศูนย์กลาง 43.75 เซนติเมตร จำนวน 11 รอบ ดังที่แสดงในรูปที่ 3.18

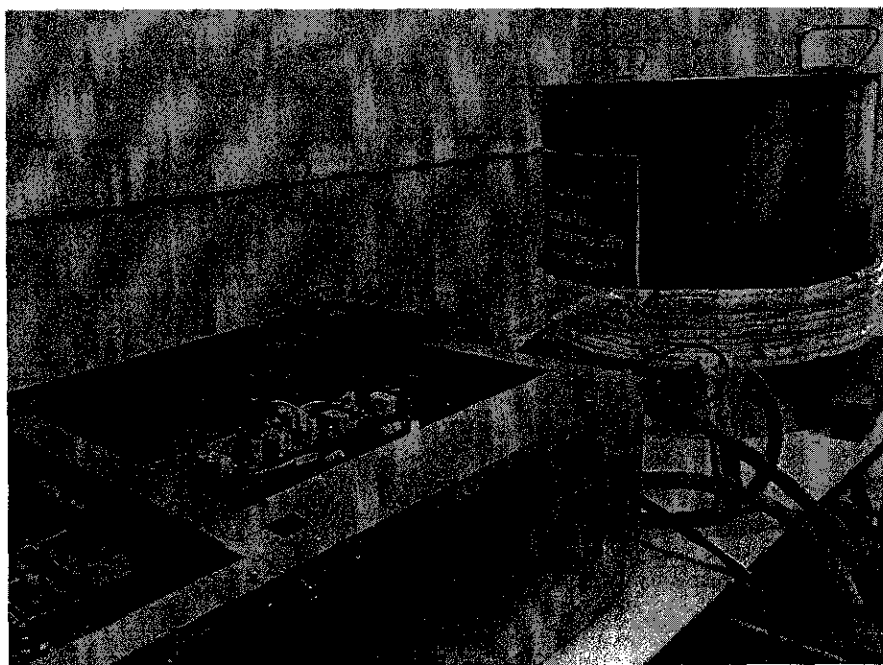


รูปที่ 3.17 ลักษณะของหม้อกะวายเตี้ยที่เลือกใช้



รูปที่ 3.18 ลักษณะของคลอดเหนียวนำ

จากลักษณะของภาชนะที่ใช้และขดคลอดเหนียวนำที่ทำขึ้นเมื่อนำมาประกอบกับตัวเครื่องให้ความร้อนด้วยการเหนียวนำแล้วจะมีลักษณะดังรูปที่ 3.19



รูปที่ 3.19 ลักษณะของเครื่องให้ความร้อนด้วยการเหนียวนำและภาชนะที่ใช้

### 3.8 สรุป

ในการออกแบบวงจรหนี่งที่มีความร้อนด้วยสวิตช์ความถี่สูงสำหรับอุตสาหกรรมอาหาร ซึ่งใช้หลักการหนี่งที่มีความร้อนด้วยสนามแม่เหล็กไฟฟ้า ประกอบไปด้วยตัวต่างๆ คือ ภาควงจรขั้นกำลัง สัญญาณออกแบบด้วย IGBT เบอร์ 2MBI150N-120 โดยต้องมีข้อมูลที่ต้องพิจารณาในการออกแบบ ได้แก่ แรงดันไฟฟ้าขาเข้า กระแสที่ใช้ วงจรสนับเบอร์ วงจรรีไซเคิลและวงจรตัวตัด

เข่นเดียวกับการออกแบบภาควงจรกำเนิดสัญญาณซึ่งใช้ไอซีเบอร์ UC3879N เป็นตัวควบคุมลำดับการทำงานของสวิตช์แต่ละตัว โดยการออกแบบวงจรกำเนิดสัญญาณนี้ต้องคำนึงถึง ลำดับการทำงานของสวิตช์ให้มีประสิทธิภาพสูงสุด

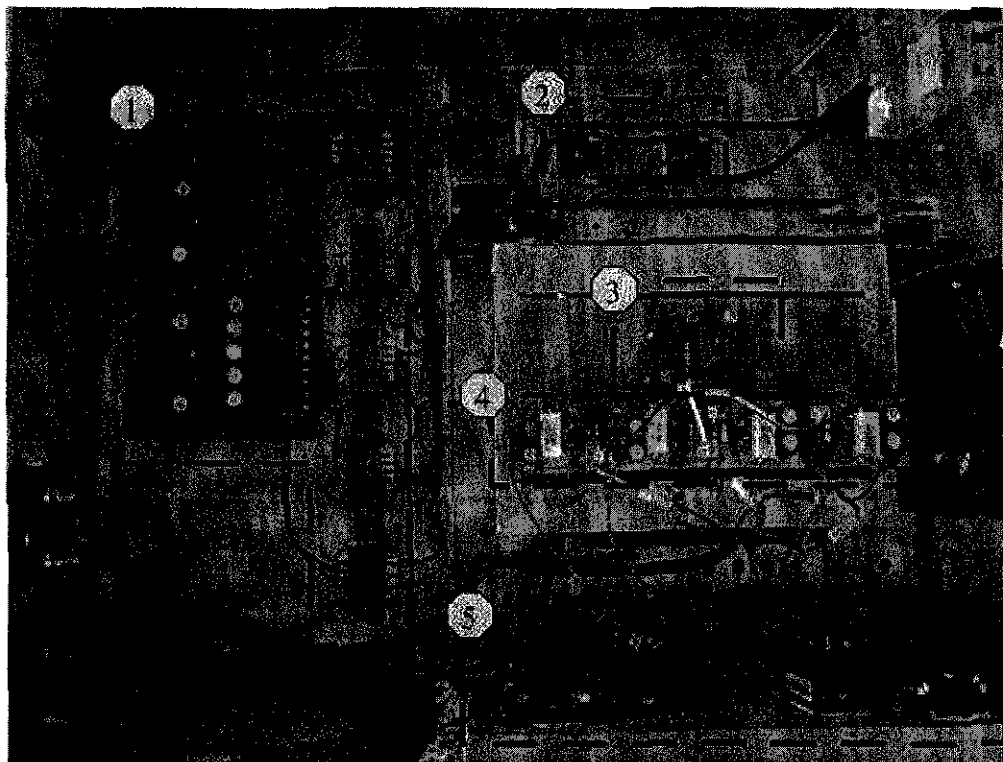
การออกแบบคลอดหนี่งที่มีความร้อนด้วยสวิตช์ความถี่สูง พิจารณาการใช้คลอดทองแดงพันเป็นชด ที่สามารถเกิดการกระจายตัวของสนามแม่เหล็กไฟฟ้าได้ดีที่สุดและเหมาะสมกับงานมากที่สุดและพิจารณาการเร ไซเคิลของวงจรภาคกำลังซึ่งเป็นปัจจัยที่สำคัญที่สุดสำหรับการให้ความร้อน

## บทที่ 4

### การทดสอบและการทดสอบเครื่องเหนี่ยวนำความร้อน

#### 4.1 บทนำ

บทนี้กล่าวถึงการทดสอบการทำงานของวงจร และผลการทดสอบวงจรต่างๆ ของให้การความร้อนโดยการเห็นขวางนำด้วยสวิตช์ความถี่สูง ซึ่งสามารถแยกส่วนประกอบต่างๆ ของเครื่องได้ดังรูปที่ 4.1

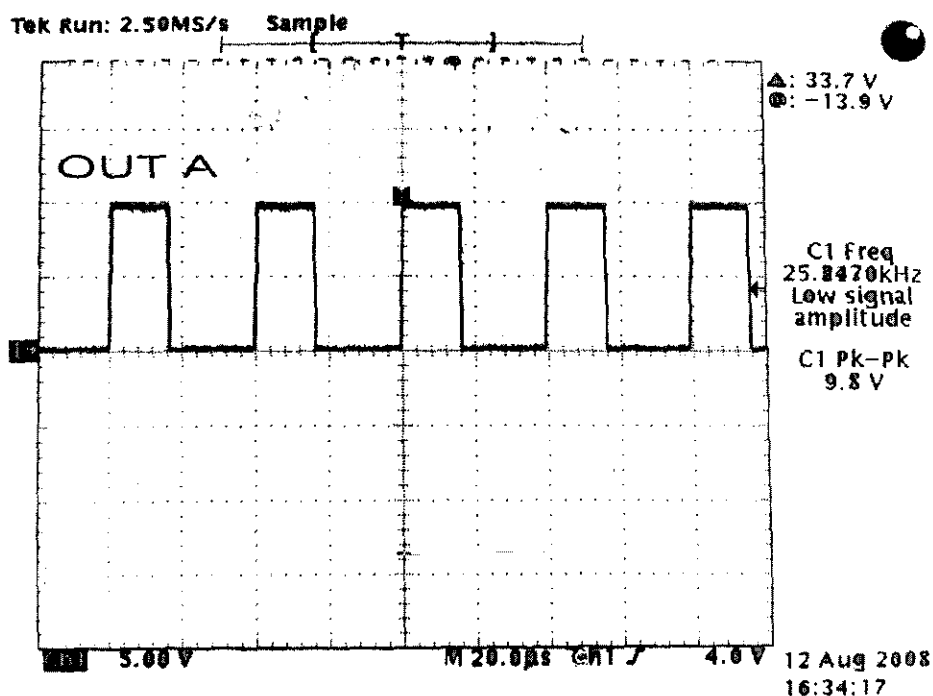


รูปที่ 4.1 เครื่องให้ความร้อนด้วยการเห็นขวางนำ

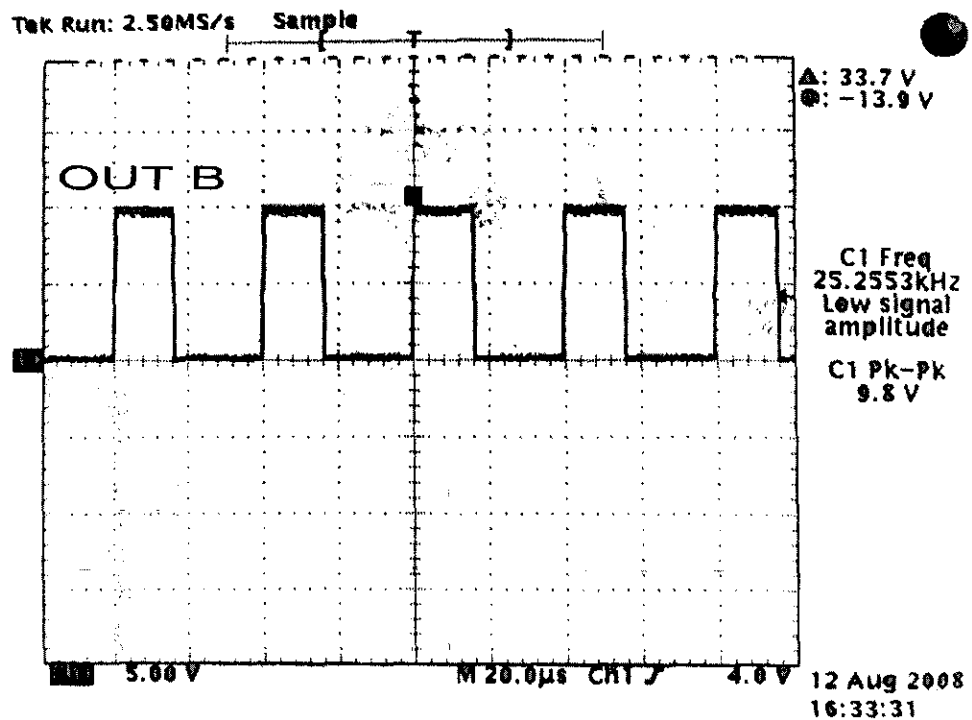
- โดยที่ 1) เพาเวอร์ซัพพลายที่ใช้ในส่วนของวงจรควบคุมจากแรงดันและวงจรขับเกต  
 2) เพาเวอร์ซัพพลายที่ใช้ในส่วนของวงจรภาคกำลัง  
 3) วงจรควบคุมในโหมดของแรงดัน  
 4) วงจรขับน้ำเกต  
 5) วงจรฟูลบริดจ์อินเวอเตอร์

#### 4.2 การทดสอบวงจรควบคุมในโหมดของแรงดัน

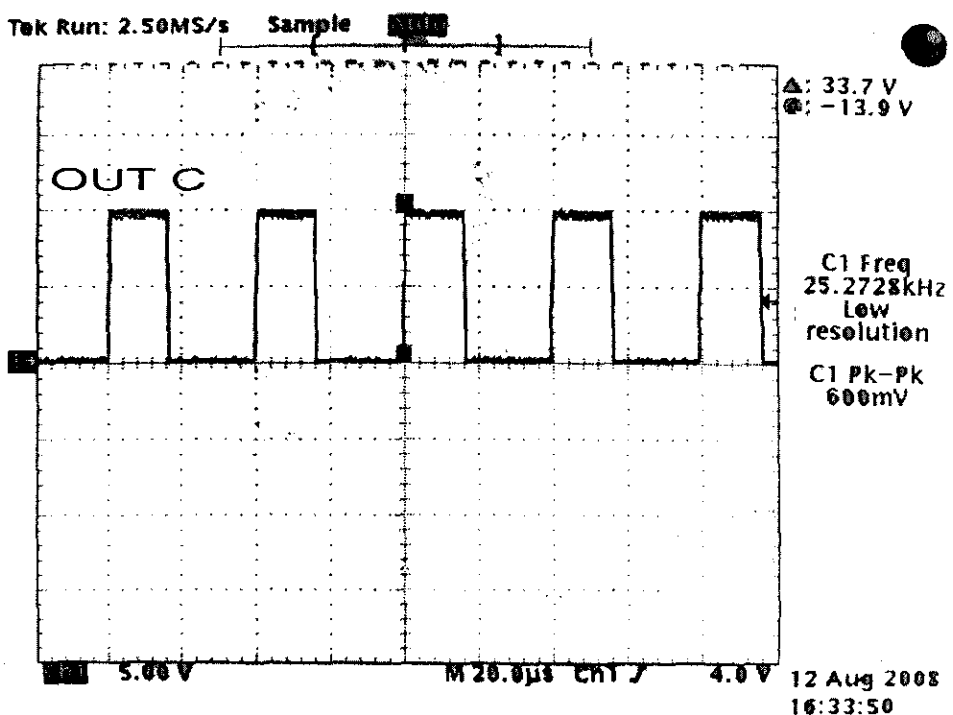
ในส่วนวงจรควบคุมในโหมดของแรงดันนี้ เป็นการสร้างสัญญาณพัลส์ขึ้นมา 4 สัญญาณ เพื่อนำเป็นสัญญาณอินพุทให้กับวงจรขั้นเกทอิกที่หนึ่ง โดยที่สัญญาณที่ได้จากไอซีเบอร์ UC3879N นั้นเราสามารถที่จะปรับความถี่ของสัญญาณและปรับเฟสของสัญญาณแต่ละตัวได้ เพื่อให้ได้ สัญญาณตามที่ต้องการ โดยสัญญาณ OUT A จะได้สัญญาณเอาท์พุทจากขา 13 ลักษณะของสัญญาณ แสดงดัง รูปที่ 4.2 สัญญาณ OUT B จะได้สัญญาณเอาท์พุทจากขา 12 ลักษณะของสัญญาณแสดงดัง รูปที่ 4.3 สัญญาณ OUT C จะได้สัญญาณเอาท์พุทจากขา 8 ลักษณะของสัญญาณแสดงดังรูปที่ 4.4 และสัญญาณ OUT D จะได้สัญญาณเอาท์พุทจากขา 7 ลักษณะของสัญญาณแสดงดังรูปที่ 4.5



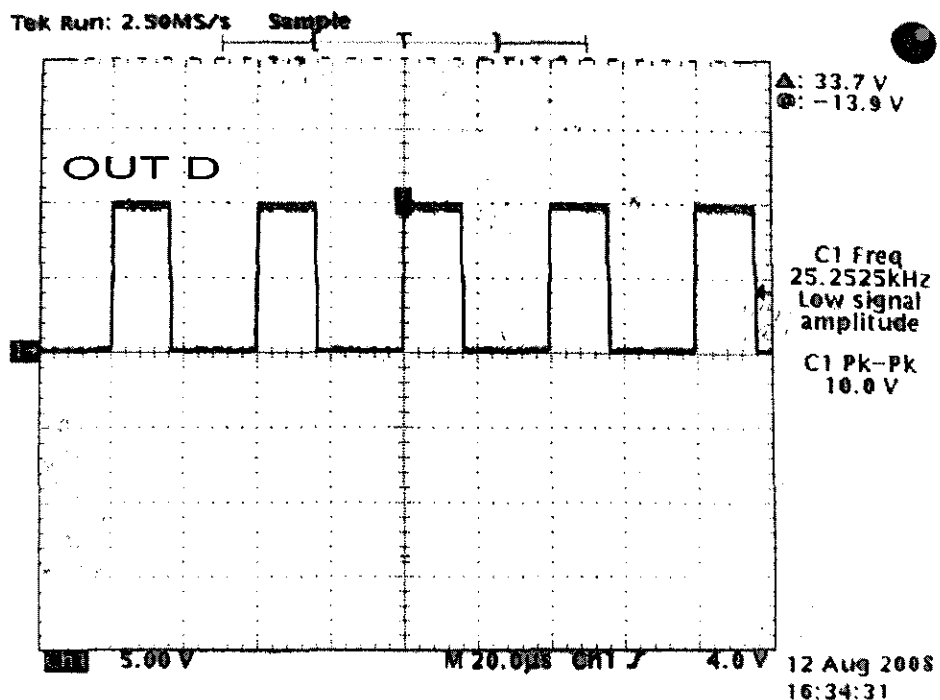
รูปที่ 4.2 ลักษณะของสัญญาณ OUT A จากไอซี UC3879N



รูปที่ 4.3 ลักษณะของสัญญาณ OUT B จากไอซี UC3879N



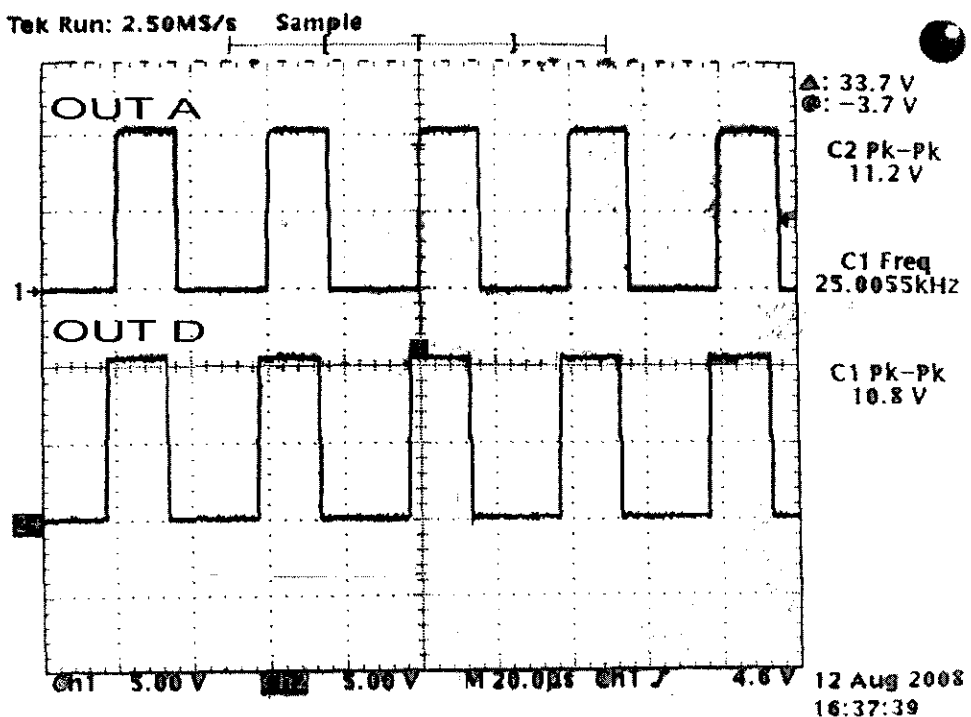
รูปที่ 4.4 ลักษณะของสัญญาณ OUT C จากไอซี UC3879N



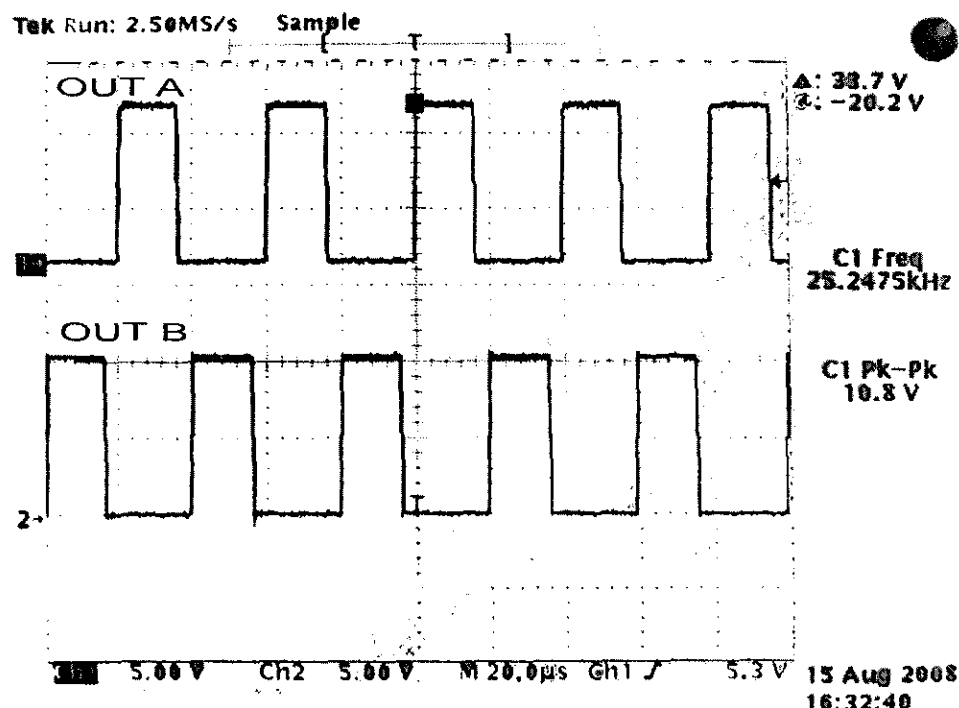
รูปที่ 4.5 ลักษณะของสัญญาณ OUT D จากไอซี UC3879N

ลักษณะของสัญญาณที่ได้ทั้ง 4 นั้นจริงๆ แล้วมีไฟส่องสัญญาณแต่ละสัญญาณต่างกันไป เพื่อเป็นการกำหนดให้ไอซีที่แต่ละตัวทำงานไม่พร้อมกันนั่นเอง โดยเราสามารถเปรียบเทียบ ลักษณะของสัญญาณแต่ละสัญญาณได้ดังรูปที่ 4.6 แสดงลักษณะของสัญญาณ OUT A เปรียบเทียบ กับ OUT D รูปที่ 4.7 และแสดงลักษณะของสัญญาณ OUT A เปรียบเทียบกับ OUT B รูปที่ 4.8 และ ลักษณะของสัญญาณ OUT A เปรียบเทียบกับ OUT C รูปที่ 4.9 และแสดงลักษณะของสัญญาณ OUT B เปรียบเทียบกับ OUT C รูปที่ 4.10 และแสดงลักษณะของสัญญาณ OUT B เปรียบเทียบกับ OUT D และ รูปที่ 4.11 และแสดงลักษณะของสัญญาณ OUT C เปรียบเทียบกับ OUT D ตามลำดับ

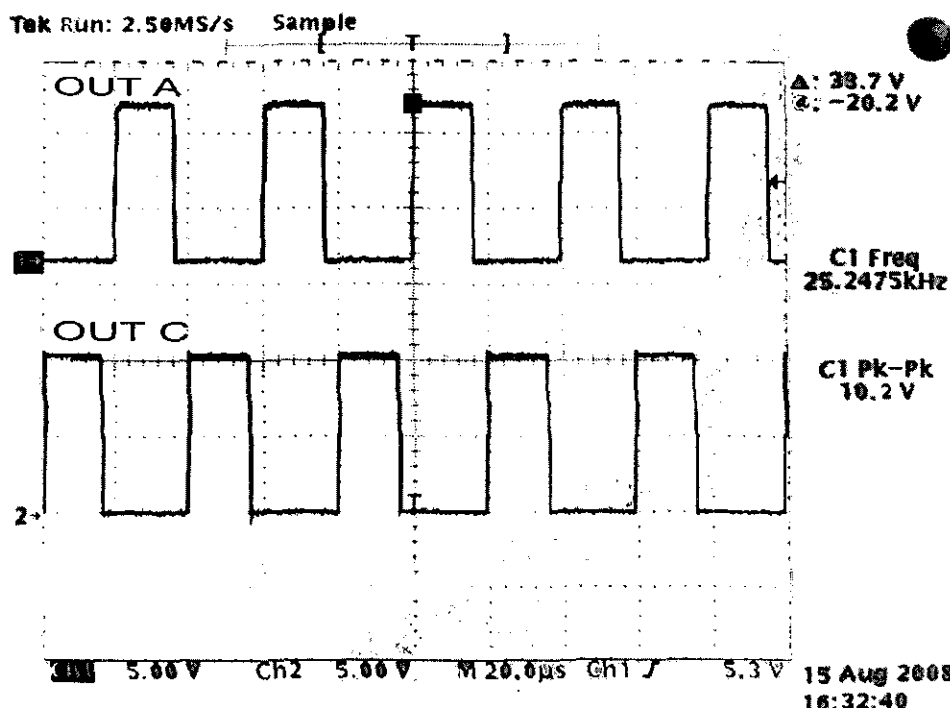
ดังที่กล่าวมาแล้วว่าหลักการทำงานของอินเวอร์เตอร์ความถี่สูงนั้นสวิตช์ตัวที่ 1 จะทำงาน พร้อมกับสวิตช์ตัวที่ 4 และสวิตช์ตัวที่ 2 จะทำงานพร้อมกับสวิตช์ตัวที่ 3 ดังนั้นสัญญาณเอาท์พุท ที่ออกมาจากไอซี UC3879N ของ OUT A ที่ทำงานพร้อมกับ OUT D และ OUT B ที่ทำงานพร้อมกับ OUT C นั้น เมื่อนำมาซ้อนกันจะมีลักษณะดังรูปที่ 4.12



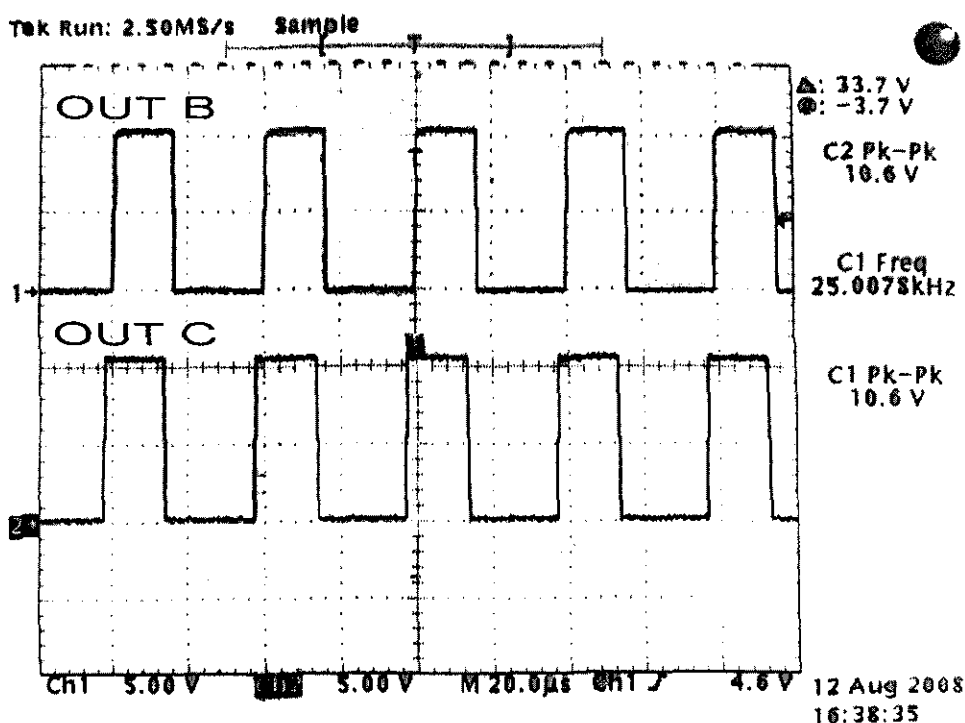
รูปที่ 4.6 แสดงถักยเมะของสัญญาณ OUT A เปรียบเทียบกับ OUT D ของไอซี UC3879N



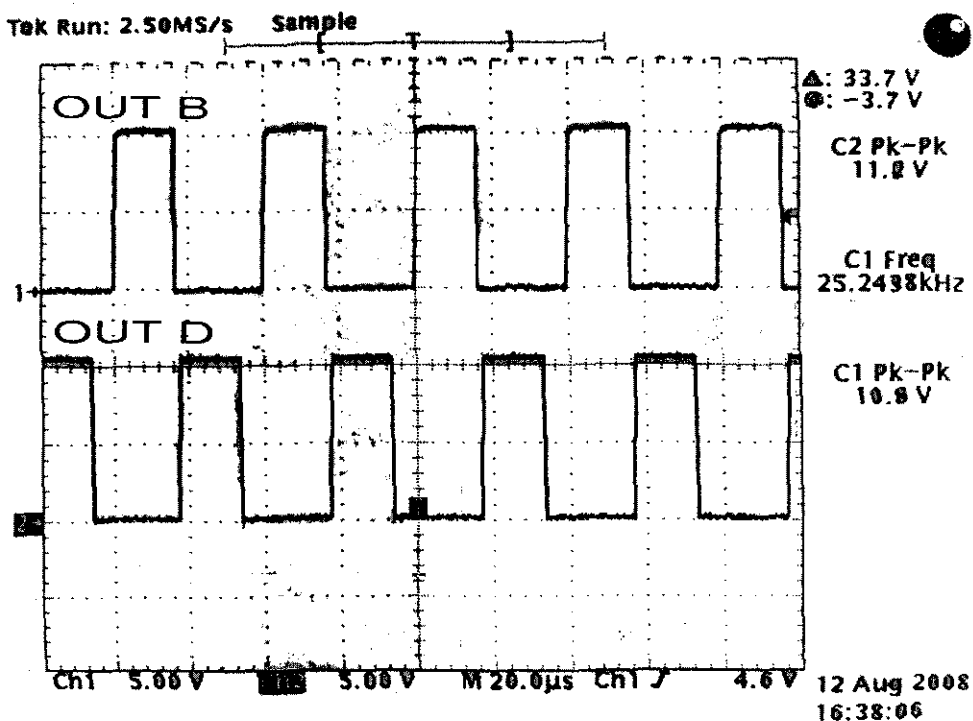
รูปที่ 4.7 แสดงถักยเมะของสัญญาณ OUT A เปรียบเทียบกับ OUT B ของไอซี UC3879N



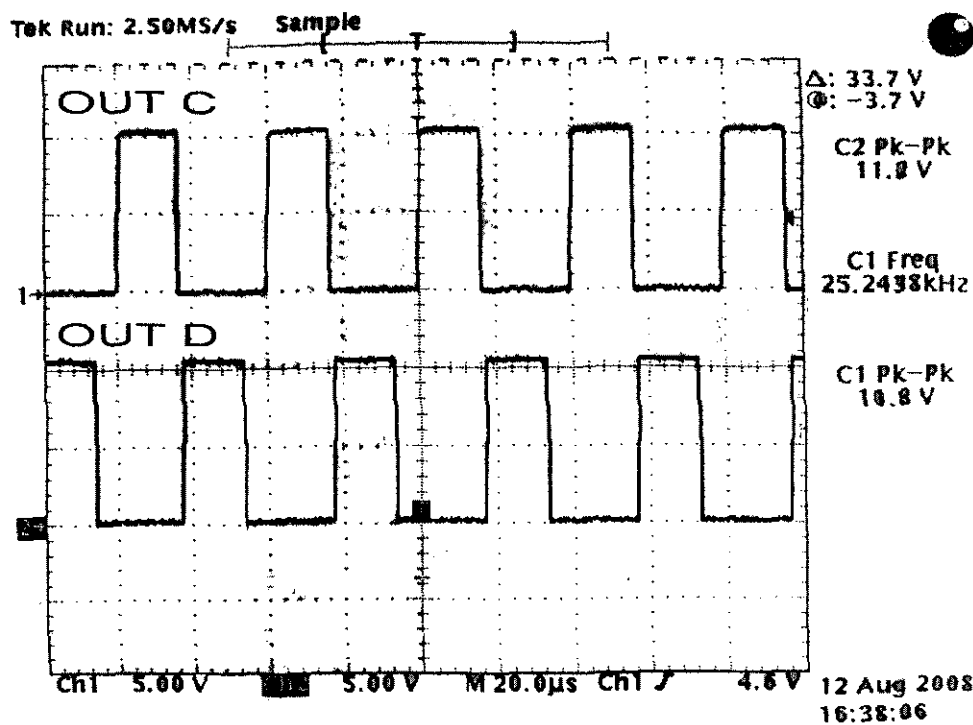
รูปที่ 4.8 แสดงลักษณะของสัญญาณ OUT A เปรียบเทียบกับ OUT C ของไอซี UC3879N



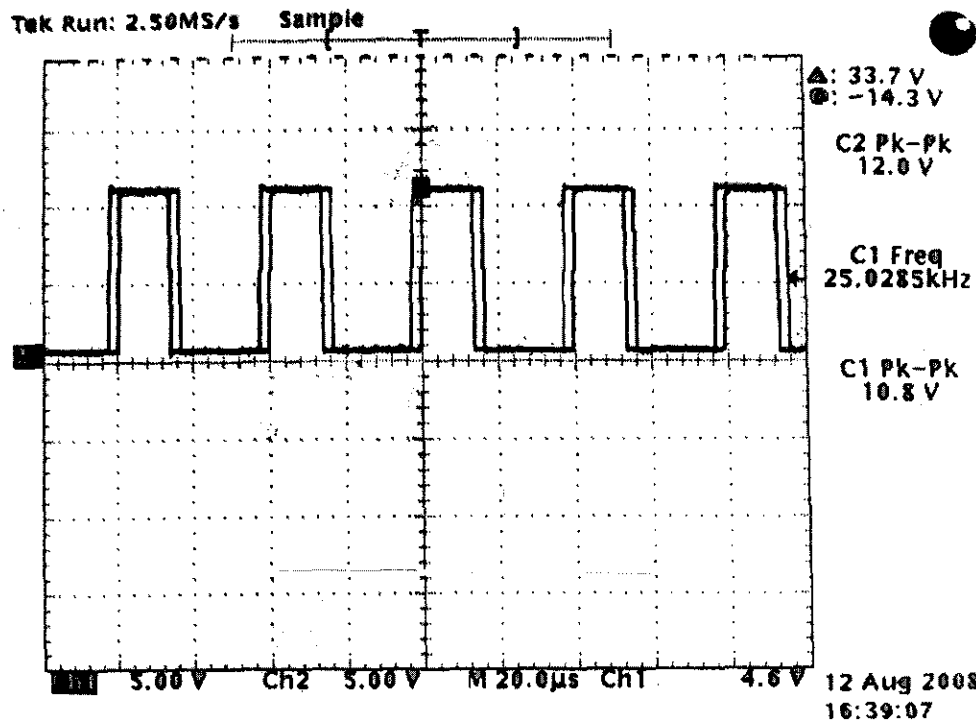
รูปที่ 4.9 แสดงลักษณะของสัญญาณ OUT B เปรียบเทียบกับ OUT C ของไอซี UC3879N



รูปที่ 4.10 แสดงลักษณะของสัญญาณ OUT B เปรียบเทียบกับ OUT D ของไอซี UC3879N



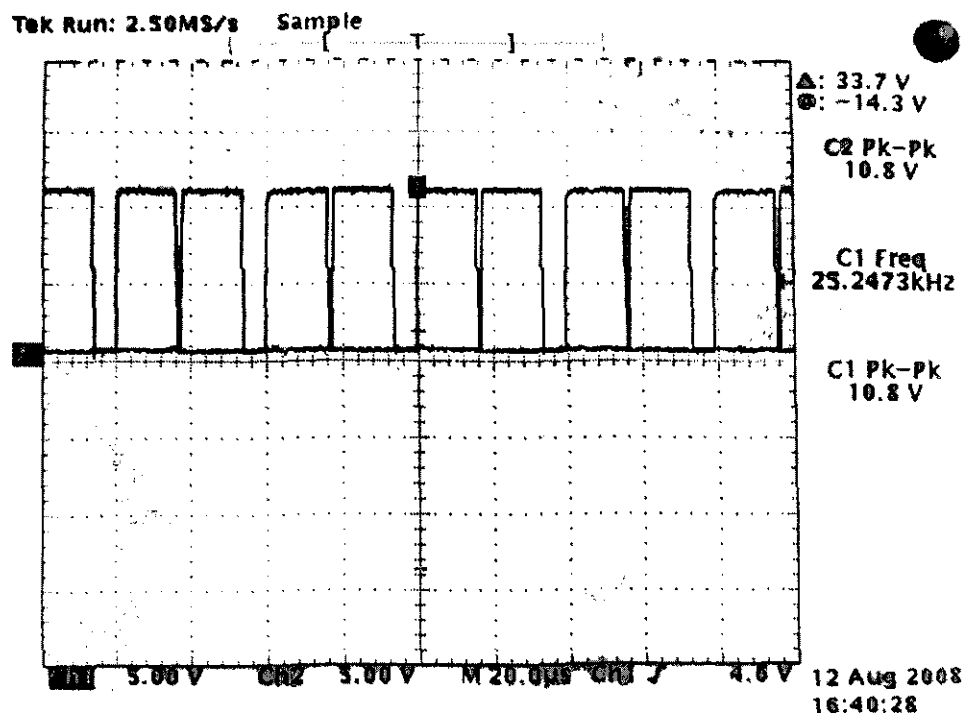
รูปที่ 4.11 แสดงลักษณะของสัญญาณ OUT C เปรียบเทียบกับ OUT D ของไอซี UC3879N



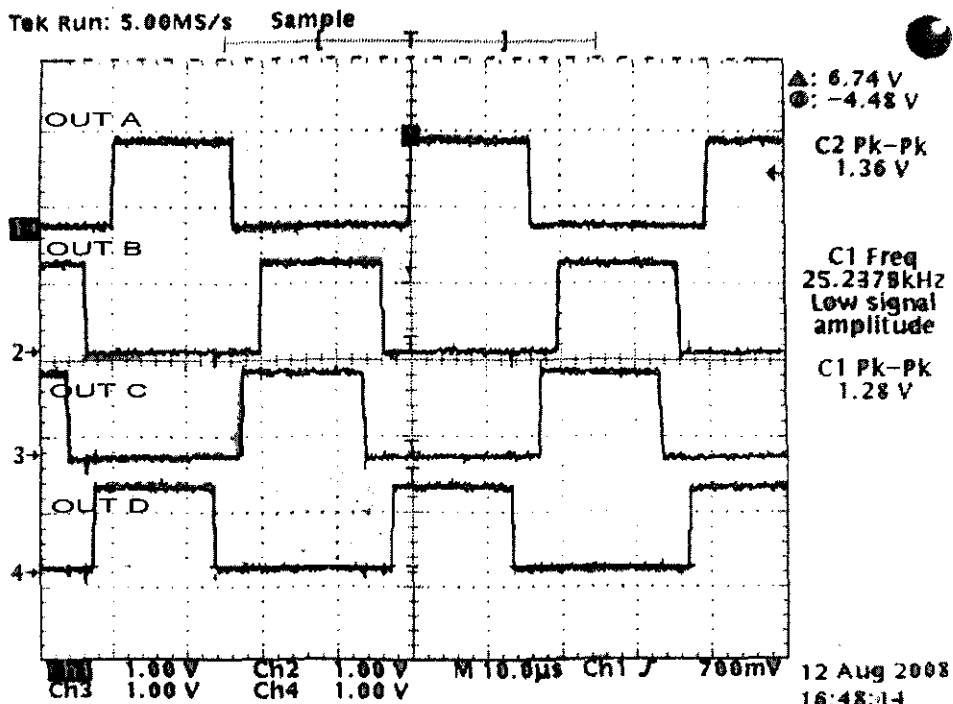
รูปที่ 4.12 สัญญาณเอาท์พุทที่ออกมาจากไอซี UC3879N ของ OUT A ที่ทำงานพร้อมกับ OUT D และ OUT B ที่ทำงานพร้อมกับ OUT C

ในทำงานเดียวกันหลักการทำงานของอินเวอร์เตอร์ความถี่สูงสวิตช์ตัวที่ 1 จะทำงานไม่พร้อมกับ กับสวิตช์ตัวที่ 2 และสวิตช์ตัวที่ 3 สวิตช์ตัวที่ 2 ทำงานไม่พร้อมกับ กับสวิตช์ตัวที่ 1 และ สวิตช์ตัวที่ 4 ดังนั้นสัญญาณเอาท์พุทที่ออกมาจากไอซี UC3879N ของ OUT A ที่ทำงานไม่พร้อมกับ OUT B และ OUT C สัญญาณเอาท์พุทที่ออกมาจากไอซี UC3879N ของ OUT B ที่ทำงานไม่พร้อม กับ OUT A และ OUT B สัญญาณที่ได้นี้เมื่อนำมาซ้อนกันจะมีลักษณะดังรูปที่ 4.13

และสัญญาณทั้งสี่ของไอซี UC3879N แสดงไว้ในรูปที่ 4.14



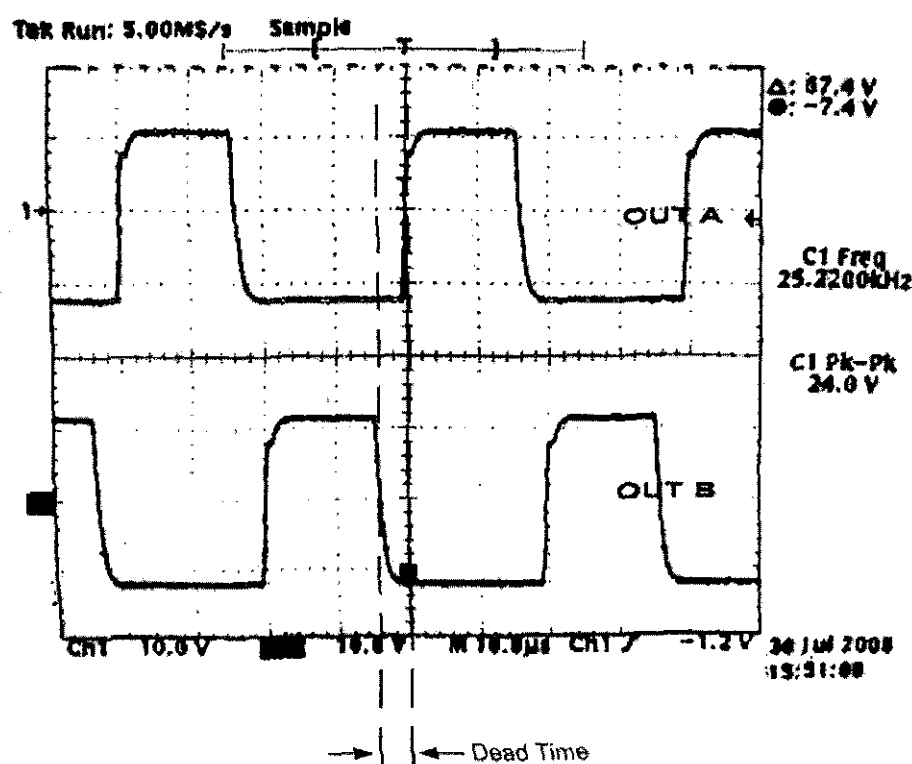
รูปที่ 4.13 สัญญาณเอาท์พุทที่ออกมาจากไอซี UC3879N ของ OUT A ที่ทำงานไม่พร้อมกับ OUT B และ OUT C ที่ทำงานพร้อมกับ OUT D



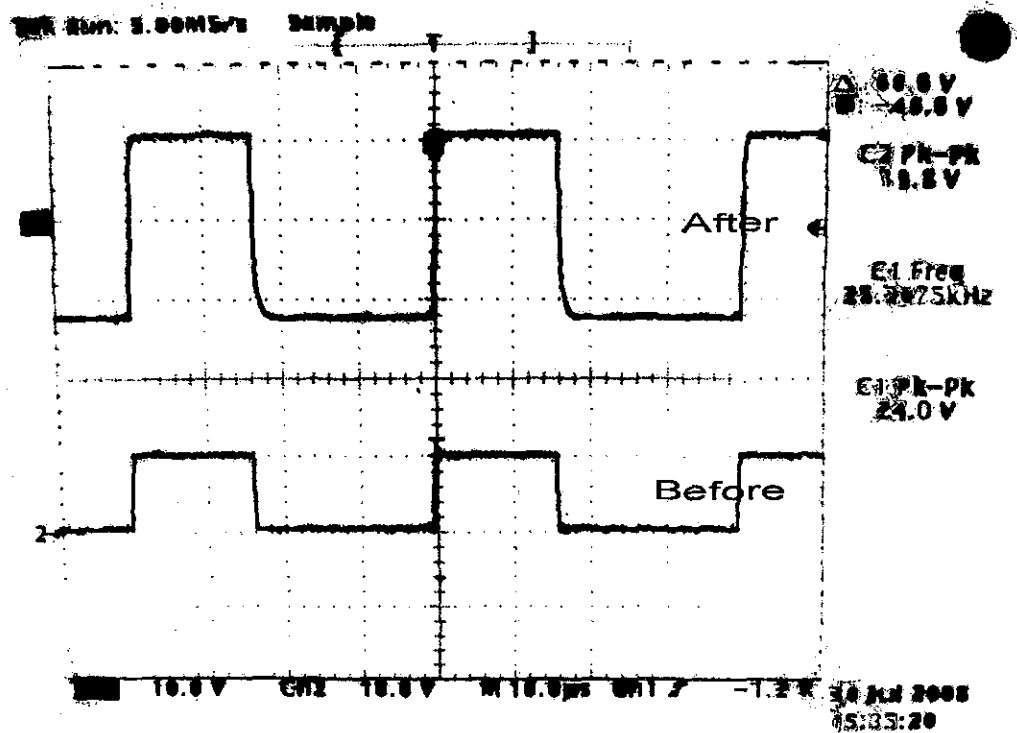
รูปที่ 4.14 สัญญาณทั้งสี่ของไอซี UC3879N

### 4.3 การทดสอบภาคขับขานขาเกทของไอจีบีที

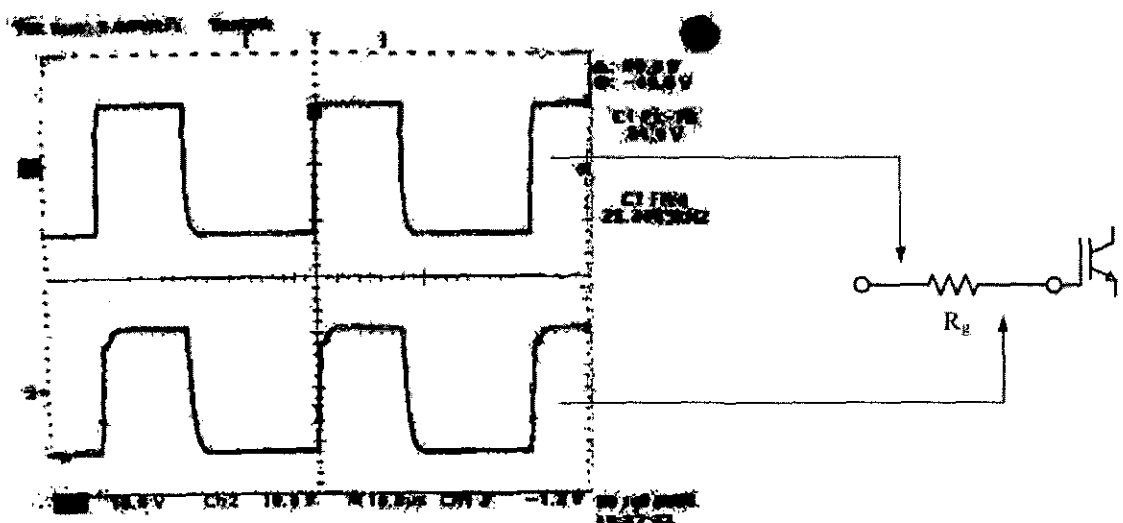
เนื่องจากสัญญาณที่จะนำไปขับไอจีบีทีให้ทำงานในวงจรอินเวอร์เตอร์นั้นสัญญาณในการขับแต่ละคู่นั้นจะต้องมีการเพื่อเวลาซึ่งกันและกันเอาไว้ (Dead Time) ดังรูป 4.15 โดยงานวิจัยนี้อาศัยหลักการทำงานแบบ PWM ที่มีรีจิสเตอร์ในการกำหนดค่าเวลาในส่วนนี้อยู่แล้ว ในรูป 4.16 จะเป็นสัญญาณก่อนที่จะเข้าสู่ชุดขยายสัญญาณเมริยนเทียบกับหลังขยายสัญญาณ ของ OUT A และในรูป 4.17 จะเป็นสัญญาณที่ผ่านการตัวต้านทานที่ขาเกท และพร้อมที่จะทำให้ไอจีบีทีทำงานได้



รูปที่ 4.15 สัญญาณขับเกทไอจีบีทีที่ออกจากไอซี UC3879N ที่ OUT A เปรียบเทียบกับ OUT B



รูปที่ 4.16 สัญญาณก่อนที่จะเข้าวงจรขยายสัญญาณเปรียบเทียบกับหลังขยายสัญญาณ ของ OUT A



รูปที่ 4.17 สัญญาณที่ผ่านตัวด้านหน้าที่ข้างอก

#### 4.4 การทดสอบวงจรสวิตช์ความถี่สูง

เราสามารถจำลองการทำงานของวงจรสวิตช์ความถี่สูงได้ตามลำดับดังรูป 4.18

Mode 1 : เมื่อเริ่มทำงาน SW4 ทำงานก่อน

Mode 2 : ที่  $T_{1on}$  : SW1 เริ่มทำงาน และ SW4 ยังคงทำงานอยู่ ทำให้มีกระแสไฟล ผ่านไปยังขดลวดเหนือบาน้ำ จนกระทั่งมีแรงดันต่ำกว่า 0 伏ต์ กับ 2 เท่าของแรงดันอินพุท ( $V_s$ )

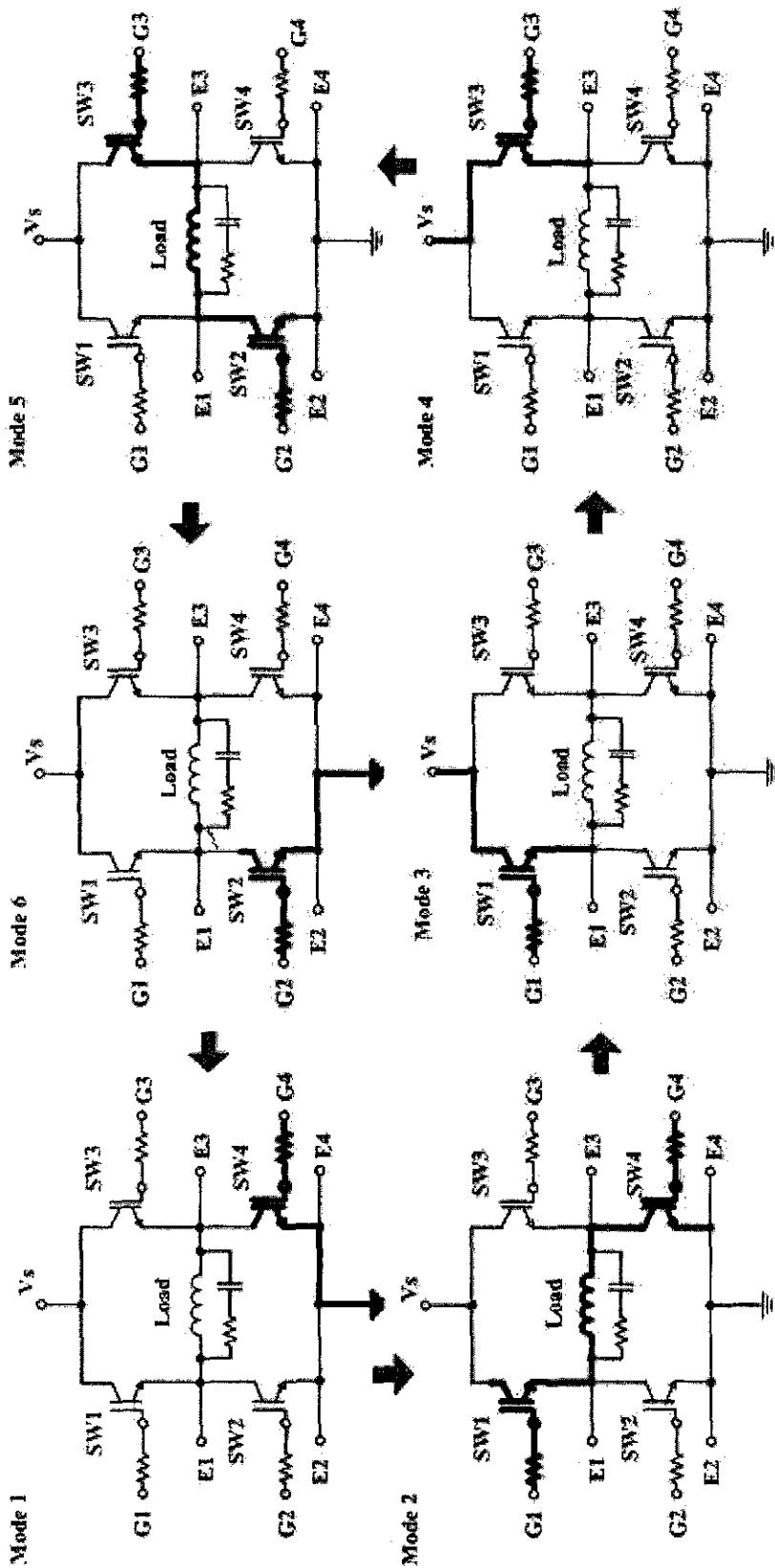
Mode 3 : ที่  $T_{4off}$  : SW1 ยังคงทำงาน และ SW4 หยุดการทำงาน จนกระทั่งขดลวดเหนือบาน้ำเกิดการยุบตัวของสนามแม่เหล็ก และแรงดันคร่อมขดลวดเหนือบาน้ำเป็นศูนย์

Mode 4 : ที่  $T_{3on}$  : SW1 หยุดทำงาน และ SW3 เริ่มทำงาน

Mode 5 : ที่  $T_{2on}$  : SW2 เริ่มทำงานและ SW3 คงการทำงาน ทำให้มีกระแสไฟล ไปยังขดลวดเหนือบาน้ำ จนกระทั่งมีแรงดันต่ำกว่า 0 伏ต์ กับ 2 เท่าของแรงดันอินพุท

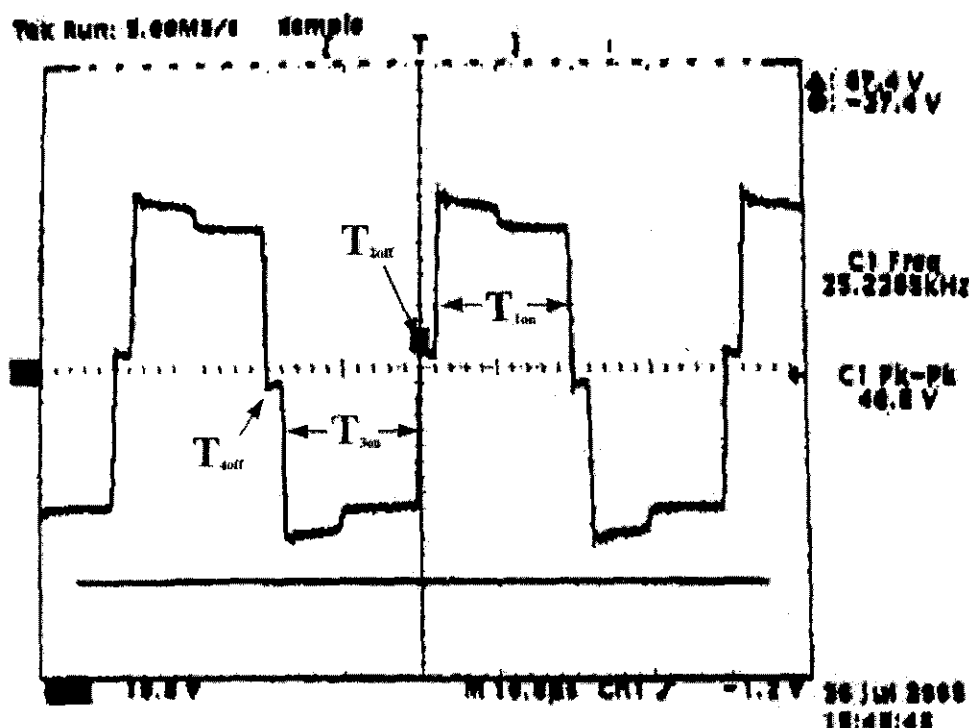
Mode 6 : ที่  $T_{3off}$  : SW2 ยังคงทำงาน ส่วน SW3 หยุดการทำงาน จนกระทั่งขดลวดเหนือบาน้ำเกิดการยุบตัวของสนามแม่เหล็ก และแรงดันคร่อมขดลวดเหนือบาน้ำเป็นศูนย์

เมื่อจบการทำงานของเครื่องให้ความร้อนแบบเหนือบาน้ำความถี่สูงใน Mode 6 แล้วเครื่องจะดำเนินการทำงานตาม Mode 1 ต่อไป



รูปที่ 4.18 ลำดับการทำงานของวงจรสวิตช์ความถี่สูง

จากลำดับการทำงานของอินเวอร์เตอร์ความถี่สูง ที่ขดลวดเหนี่ยวนำมีสัญญาณดังรูปที่ 4.19



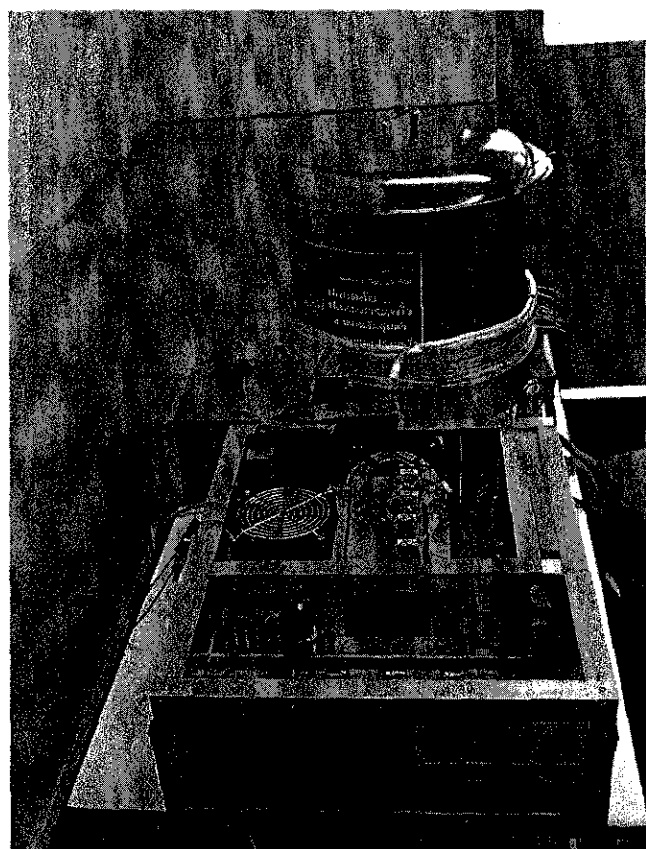
รูปที่ 4.19 ลักษณะสัญญาณที่ขดลวดเหนี่ยวนำ

#### 4.5 ผลการทดลอง

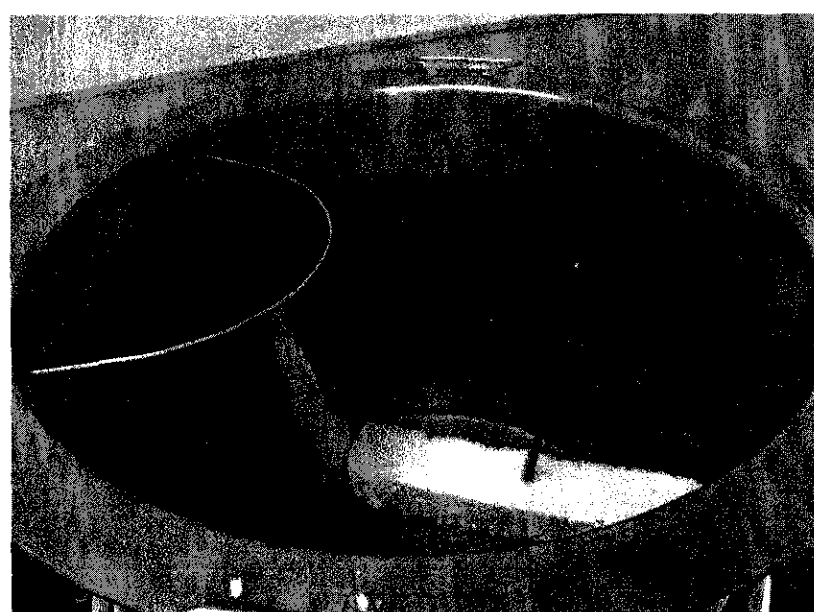
จากการทดลองต้มน้ำปริมาตร 15 ลิตรและ 20 ลิตร โดยเริ่มทดลองจากอุณหภูมิห้อง 27 องศาเซลเซียสเท่ากันและถ้าจะทำการทดลองเหมือนกันทุกขั้นตอน โดยมีข้อสังเกตขณะทำการทดลอง ดังนี้

- 1) ทำการทดลองโดยการปิดฝาของภาชนะที่ใช้ทดลองตลอดช่วงการทดลอง โดยทำการทดลองเป็นช่วง ช่วงละ 10 นาที
- 2) เปิดฝาของภาชนะที่ใช้ทดลองทุก 1 นาที เพื่อสังเกตอุณหภูมิของน้ำ
- 3) หลังจาก 10 นาทีแรก ผู้วิจัยได้ทำการวนน้ำเพื่อให้การถ่ายเทความร้อนภายในภาชนะ ดีขึ้น และสังเกตอุณหภูมิของน้ำ
- 4) หลังจากวนน้ำในภาชนะ 1 นาที ทำการทดลองต่อจนกระทั่งอุณหภูมิของน้ำเพิ่มสูงขึ้นจนกระทั่งมีอุณหภูมิ 100 องศาเซลเซียส (น้ำเดือด)

โดยขณะทำการทดลองและเมื่อน้ำในภาชนะมีอุณหภูมิถึง 100 องศาเซลเซียส แสดงดังรูปที่ 4.20 และ รูปที่ 4.21 ตามลำดับ



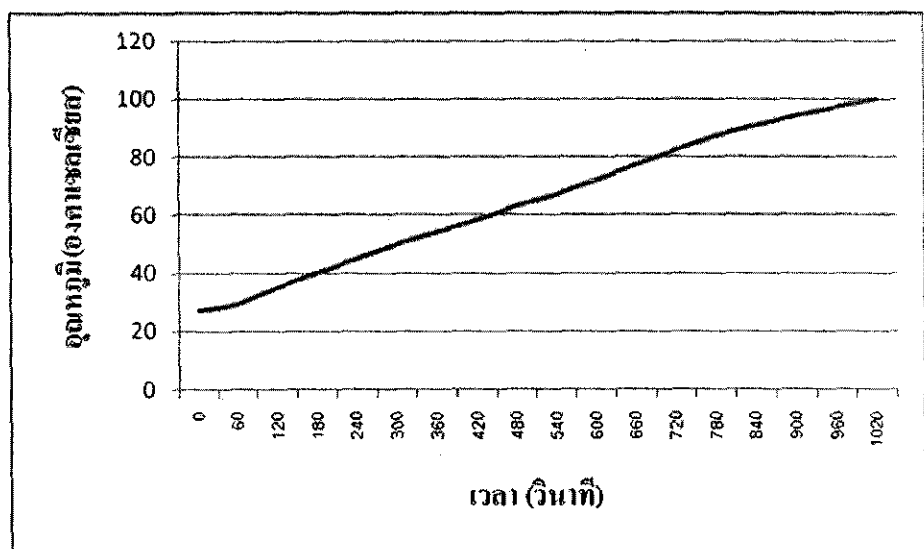
รูปที่ 4.20 เครื่องเหนี่ยวน้ำความร้อนขณะทำการทดลอง



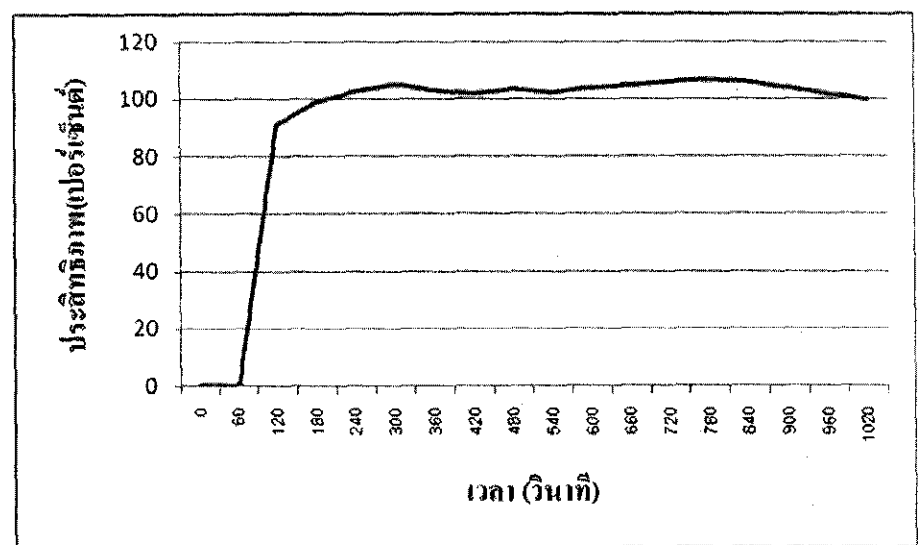
รูปที่ 4.21 ขณะน้ำในภาชนะเริ่มเดือด

#### 4.5.1 กรณีที่ 1 น้ำ 15 ลิตร

จากรูปที่ 4.22 กราฟแสดงความสัมพันธ์ระหว่างอุณหภูมิของน้ำในภาชนะกับเวลาที่ใช้ จากการทดลองที่อุณหภูมิห้อง 27 องศาเซลเซียส ในช่วง 60 วินาทีแรก ปริมาณความร้อนที่ถ่ายเทสูน้ำทำให้อุณหภูมิของน้ำเปลี่ยนแปลงไปน้อยมาก แต่เมื่อเวลาผ่านไป 120 วินาที อุณหภูมิของน้ำในภาชนะมีอัตราเริ่มเปลี่ยนแปลงเป็นแบบกราฟเส้นตรงที่มีความชันเพิ่มขึ้น จนกระทั่งสุดการทดลองในเวลา 1020 วินาที น้ำมีอุณหภูมิเพิ่มสูงขึ้นถึง 100 องศาเซลเซียส โดยวัดอุณหภูมิบริเวณกลางภาชนะที่ใช้ต้ม



รูปที่ 4.22 กราฟแสดงความสัมพันธ์ระหว่างอุณหภูมิของน้ำ 15 ลิตรกับเวลา

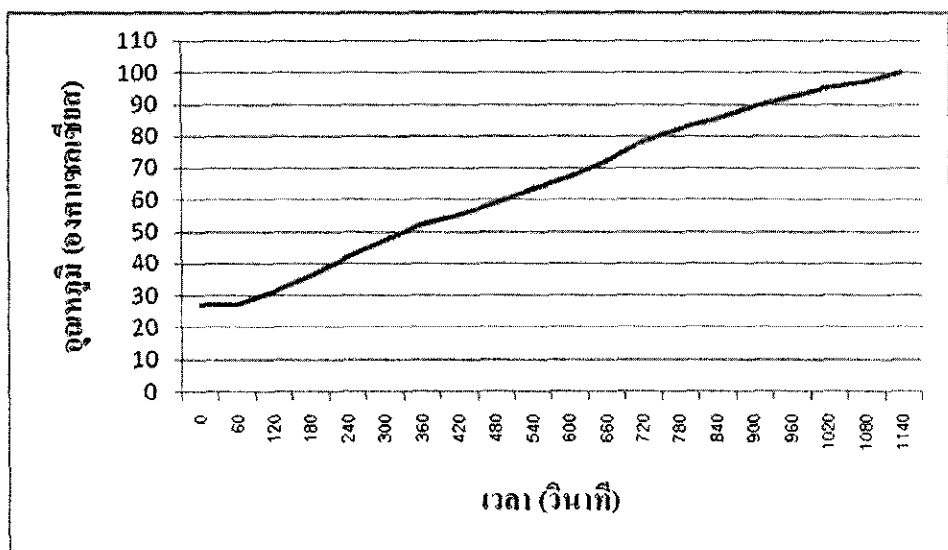


รูปที่ 4.23 ประสิทธิภาพของเครื่องให้ความร้อนแบบไหนที่บันดาลความถี่สูงกับเวลาของน้ำ 15 ลิตร

กราฟในรูปที่ 4.23 แสดงให้เห็นถึงประสิทธิภาพของ เครื่องให้ความร้อนแบบเหนียวแน่ ความถี่สูง ณ เวลาต่างๆ จะเห็นว่าในช่วงแรกยังหาประสิทธิภาพของเครื่องไม่ได้ เพราะอุณหภูมิของน้ำขังคงที่ เมื่อเวลาผ่านไป 60 วินาที ความชันของกราฟเพิ่มสูงขึ้นอย่างมาก เมื่อทำการทดลอง ประสิทธิภาพของเครื่องคิดจากปริมาณความร้อนที่เกิดขึ้นต่อกำลังไฟฟ้าที่ใช้คิดได้เป็น 99.95 % โดยเราคิดกระแสไฟฟ้าจริง ตามช่วงเวลาต่างๆ ที่ทำการทดลอง

#### 4.5.2 กรณีที่ 2 น้ำ 20 ลิตร

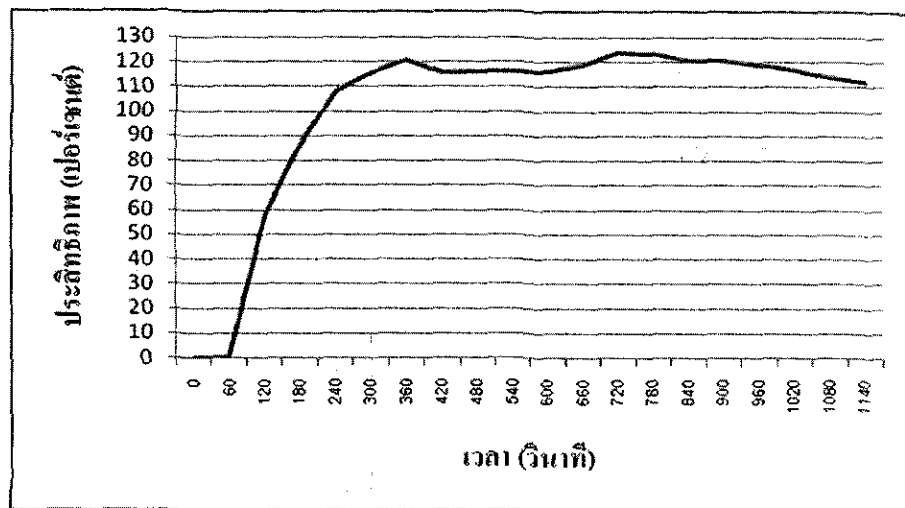
จากรูปที่ 4.24 กราฟแสดงความสัมพันธ์ระหว่างอุณหภูมิของน้ำในภาชนะกับเวลาที่ใช้ จากการทดลองที่อุณหภูมิห้อง 27 องศาเซลเซียส ในช่วง 60 วินาทีแรก ปริมาณความร้อนที่ถ่ายเทสู่น้ำทำให้อุณหภูมิของน้ำเปลี่ยนแปลงไปน้อยมาก แต่เมื่อเวลาผ่านไป 120 วินาที อุณหภูมิของน้ำในภาชนะน้ำดัน เริ่มเปลี่ยนแปลงเป็นแบบกราฟเส้นตรงที่มีความชันเพิ่มขึ้น จนกระทั่งสิ้นสุดการทดลองในเวลา 1140 วินาที น้ำมีอุณหภูมิเพิ่มสูงขึ้นจนถึง 100 องศาเซลเซียส โดยวัดอุณหภูมิบริเวณกลางภาชนะที่ใช้ต้ม



รูปที่ 4.24 กราฟแสดงความสัมพันธ์ระหว่างอุณหภูมิของน้ำ 20 ลิตรกับเวลา

กราฟในรูปที่ 4.25 แสดงให้เห็นถึงประสิทธิภาพของ เครื่องให้ความร้อนแบบเหนียวแน่ ความถี่สูง ณ เวลาต่างๆ ของการทดลองที่ใช้น้ำ 20 ลิตร จะเห็นว่าในช่วงแรกยังหาประสิทธิภาพของเครื่องไม่ได้ เพราะอุณหภูมิของน้ำขังคงที่ เมื่อเวลาผ่านไป 60 วินาที ความชันของกราฟเพิ่มสูงขึ้น

อย่างมาก เมื่อทำการทดลองประสิทธิภาพของเครื่องคิดจากปริมาณความร้อนที่เกิดขึ้นต่อกำลังไฟฟ้าที่ใช้คิดได้เป็น 112.17 % โดยเรียกว่าไฟฟ้าจริง ตามช่วงเวลาต่างๆ ที่ทำการทดลอง



รูปที่ 4.25 ประสิทธิภาพของเครื่องให้ความร้อนแบบหนึ่ยาน้ำความถี่สูงกับเวลาของน้ำ 20 ลิตร

จากผลการทดลองเมื่อเราคำนวณหาค่าไฟฟ้า โดยคิดค่ากระแสเฉลี่ยที่ 22 แอมป์ แล้วค่าไฟฟ้าเฉลี่ยหน่วยละ 3 บาท จะได้ผลดังนี้

$$\begin{aligned}
 \text{ค่าไฟฟ้า(บาทต่อชั่วโมง)} &= \frac{P_{in} \times Hr}{1000} \text{ ค่าไฟฟ้าต่อหน่วย} \\
 &= \frac{(220 \times 22) \times 1}{1000} \times 3 \\
 &= 14.52 \text{ บาทต่อชั่วโมง}
 \end{aligned}$$

จากการตรวจสอบอัตราการใช้แก๊สหุงต้มแบบแรงดันสูง(หัวพู่) ขนาด 7 นิ้ว จะมีอัตราการใช้แก๊สประมาณ 1 กิโลกรัมต่อชั่วโมง ดังนั้นแก๊สหนึ่งถังจะใช้ได้ 15 ชั่วโมงคิดเป็นเงิน

$$\begin{aligned}
 \text{ค่าแก๊สหุงต้ม(บาทต่อชั่วโมง)} &= \frac{300}{15} \\
 &= 20 \text{ บาทต่อชั่วโมง}
 \end{aligned}$$

จะเห็นได้ว่าการใช้แก๊สหุงต้มทั่วไปจะมีอัตราค่าใช้จ่ายมากกว่า และการใช้เครื่องให้ความร้อนแบบเหนี่ยวนำความถี่สูงยังสามารถให้ความร้อนได้รวดเร็วกว่าอีกด้วย

#### 4.6 สรุป

บทนี้ได้นำเสนอการวัดและผลการทดลองของเครื่องให้ความร้อนแบบเหนี่ยวนำด้วยสวิตซ์ความถี่สูงสำหรับอุตสาหกรรมอาหาร โดยได้วัดสัญญาณของภาชนะต่างๆ และการให้ความร้อนกับภาชนะหม้อต้มอาหาร ซึ่งผลการวัดภาชนะกำเนิดสัญญาณ มีลักษณะของสัญญาณเอาท์พุททั้งสี่ดังรูป 4.14 ภาชนะร่วมสวิตซ์ความถี่สูง มีลักษณะของสัญญาณที่ขัดแย้งเหนี่ยวนำดังรูป 4.19 สำหรับการให้ความร้อนด้วยคลอดเหนี่ยวนำซึ่งให้ความร้อนกับภาชนะหม้อต้มกับวัสดุเดียวกันด้วยเติบวนภาคเส้นผ่านศูนย์กลางของหม้อ 40 เซนติเมตร สูง 45 เซนติเมตร จากการทดลองต้มน้ำ 15 ลิตร สามารถให้ความร้อนจนน้ำถึงจุดเดือดได้ภายในเวลา 17 นาที ประสิทธิภาพของเครื่องคิดจากปริมาณความร้อนที่เกิดขึ้นต่อกำลังไฟฟ้าที่ใช้คิดได้เป็น 99.95 % และกรณีที่ 2 ต้มน้ำ 20 ลิตร สามารถให้ความร้อนจนน้ำถึงจุดเดือดได้ภายในเวลา 19 นาที ประสิทธิภาพของเครื่องคิดจากปริมาณความร้อนที่เกิดขึ้นต่อกำลังไฟฟ้าที่ใช้คิดได้เป็น 112.17 % เมื่อเปรียบเทียบกับการใช้แก๊สหุงต้มตามปกติสามารถประหยัดได้ 5.48 บาทต่อชั่วโมง ซึ่งผลที่ได้ทำให้เห็นว่ามีประสิทธิภาพมากต่อการใช้งานเหมาะสมกับการนำไปประยุกต์ใช้ในการให้ความร้อนในรูปแบบต่างๆ และพัฒนาต่อไป

## บทที่ 5

### สรุปผลและข้อเสนอแนะ

การวิจัยฉบับนี้นำเสนอการวิเคราะห์ ออกแบบ ทดสอบ และเปรียบเทียบผลของการวัดผล ของเครื่องให้ความร้อนเหนี่ยวนำด้วยสวิตช์ความถี่สูง จากการวิเคราะห์ผลการให้ความร้อนและ ประสิทธิภาพของเครื่องสามารถตระหนักรู้ได้ดังนี้

#### 5.1 สรุปผลการทดลอง

การให้ความร้อนด้วยวิธีเหนี่ยวนำของสนาમแม่เหล็กไปที่ชิ้นโลหะนี้ รอบๆ คลุม เหนี่ยวน้ำจะเกิดกระแสไฟลุก เป็นกระแสที่เกิดขึ้นในโลหะเมื่อสนาમแม่เหล็กรอบๆ เกิดการ เปิดคืนแปลง กระแสไฟลุวนนี้ก่อให้เกิดพลังงานความร้อนที่ต้องการในชิ้นโลหะ สำหรับวงจรที่ใช้ แบ่งออกเป็น 4 ส่วนคือ วงจรเพาเวอร์ชันพลาย ที่ใช้เป็นตัวจ่ายไฟฟ้ากระแสตรงให้กับวงจรต่างๆ ส่วนที่สอง เป็นวงจรกำเนิดความถี่ที่สร้างความถี่เพื่อไปขับสวิตช์ IGBT ที่สามารถปรับความถี่และ ขนาดของแรงดันได้โดยการปรับความด้านทาน ส่วนที่สาม เป็นวงจรขับเกตของสวิตช์ IGBT ทำ หน้าที่ขยายสัญญาณจากส่วนที่หนึ่งเพื่อกำหนดให้ IGBT ทำงาน ส่วนที่สุดท้าย เป็นวงจรภาคกำลังที่ ประกอบด้วยวงจรอินเวอร์เตอร์แบบฟูลบริดจ์ มี IGBT เป็นอุปกรณ์สวิตช์ ทำงานที่ ความถี่ 25 กิโลเฮิรตซ์ ภายใต้การทำงานแบบ ZVS-PWM และเอาท์พุทที่ต่อกับบดคลุมเหนี่ยวนำ โดยตรง โดยไม่ใช้หม้อแปลงความถี่สูงภาคสุดท้ายในการเหนี่ยวนำด้วยไฟฟ้า

จากการทดสอบเครื่องให้ความร้อนด้วยการเหนี่ยวนำที่สร้างขึ้น พบว่าระบบต้องใช้เวลา อย่างน้อยประมาณ 1 นาทีในการเพิ่มอุณหภูมิของน้ำให้สูงขึ้นมา และการเพิ่มอุณหภูมน้ำ 20 ศู๊ตให้ ถึงจุดเดือดจะต้องใช้เวลาประมาณ 19 นาที ประสิทธิภาพของวงจรอินเวอร์เตอร์ประมาณ 112.17 เปอร์เซนต์ จะเห็นได้ว่าวงจรสวิตช์ความถี่สูงที่ออกแบบให้มีการทำงานที่ความถี่ไกล์ความถี่เร โทแอนชันนั้น ประสิทธิภาพที่ได้จะสูงมาก เพราะว่าเกิดการสูญเสียที่อุปกรณ์สวิตช์น้อย

#### 5.2 ข้อเสนอแนะ

- 1) เครื่องให้ความร้อนด้วยวิธีเหนี่ยวนำควรปรับปรุงแก้ไขให้สามารถควบคุมกำลังความร้อน ได้ง่ายขึ้น และละเอียดขึ้น รวมทั้งปรับปรุงเพิ่มเติมส่วนป้องกันตรายจากกระแสไฟฟ้า เช่น ไฟตัดไฟเกิน เพื่อความปลอดภัยของเครื่องผู้ใช้งานมากขึ้น

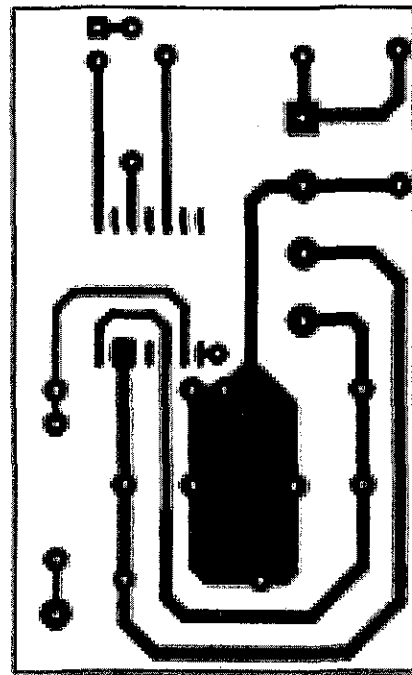
- 2) จากการทดสอบเครื่องให้ความร้อนด้วยวิธีเหนี่ยวนำ ที่อุปกรณ์สวิตซ์จะเกิดการสูญเสียพลังงานในรูปของความร้อนออกมากทำให้ประสิทธิภาพของอุปกรณ์สวิตซ์ไม่แสดงออกมากเท่าที่ ดังนั้นถ้าเพิ่มทางเดินให้น้ำไหลผ่านชิ้นส่วนเพื่อระบายน้ำความร้อนของอุปกรณ์สวิตซ์จะทำให้ประสิทธิภาพการทำงานของเครื่องดีขึ้น
- 3) ขาด漉เดนี่ยวนำควรออกแบบให้มีรูปร่างที่ใช้งานได้กับภาระหลากหลายมากขึ้น
- 4) ควรปรับปรุงให้เครื่องมีขนาดและน้ำหนักลดลง เพื่อสะดวกต่อการใช้งานมากขึ้น
- 5) ระบบที่สร้างขึ้นควรจะปรับเปลี่ยนความถี่ให้เข้าใกล้ความถี่เรโซแนนซ์ได้ง่าย เพราะเมื่อมีการเปลี่ยนรูปร่างของโหลด หรือภาระที่ต้องการให้ความร้อน ขนาดและรูปร่างของขาด漉เดนี่ยวนำจะต้องเปลี่ยนไปตามรูปร่างของภาระ ดังนั้นเพื่อประสิทธิภาพที่สูงที่สุด แล้วจะต้องมีการปรับความถี่ของเครื่องให้เข้าใกล้กับความถี่เรโซแนนซ์มากที่สุด

### បរចលាណករណ៍

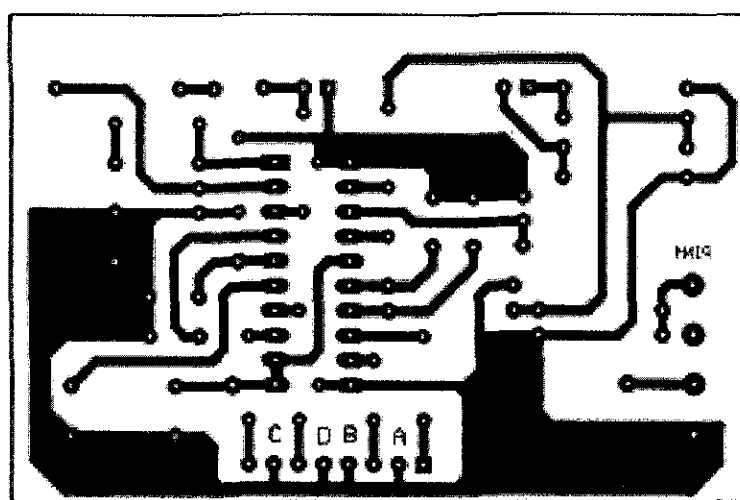
- [1] Terai, H., Sadakata, H., Omori, H., Yamashita, H., and Nakaoka, M. "High frequency soft switching inverter for fluid-heating appliance using induction eddy current-based involuted type heat exchanger". Proc. IEEE 33<sup>rd</sup> Annual Power electronics specialists Conf. (PESC), Cairns, Australia, June 2002, Vol. 4, pp. 1874-1878
- [2] Kurose, Y., Muraoka, S., Chandhaket, S., Okuno, A., and Nakaoka, M. "An improved zero voltage soft switching PWM high-frequency inverter with active inductor snubber for induction heated roller", Proc. IEE Japan, April 2002, Vol. 2, pp. 446-451
- [3] Wang, S., Izaki, K., Hirota, I., Yamashita, H., Omori, H., and Nakaoka, M. "Induction-heated cooking appliance using new quasi-resonant ZVS-PWM inverter with power factor correction", IEEE Trans. Ind. Appl., 1998, 34, (4), pp. 705-712
- [4] Lee, D., Hyun, D., and Choy, I. "A new hybrid control scheme using active-clamped class-E inverter with induction heating jar for high power applications". Proc. 17<sup>th</sup> Annual IEEE Alllied power electronics Conf., Dallas, USA, March, 2002, Vol. 2, pp. 1148-1153
- [5] Llorente, S., Monterde, F., Burdio, J.M., and Acero, J. "A comparative study of resonant inverter topologies used in induction cookers". Proc. 17<sup>th</sup> Annual IEEE Alllied power electronics Conf., Dallas, USA, March, 2002, Vol. 2, pp. 1168-1174
- [6] Fujita, H., and Akagi, H. "Pulse-density-modulated power control of a 4 kW, 450 kHz voltage-source inverter for induction melting applications", IEEE Trans. Ind. Appl., 1996, 32, (2), pp. 279-286
- [7] Yamato, M., Iseki, T., Kajiyama, A., G. Bin. and M. Nakaoka. "Latest Electromagnetic Induction-based Fluid-Heating Equipment using High-Frequency PWM Load Resonant Inverter", Power Electronics and Drive Systems, 1997. Proceedings., 1997 International Conference on Vol.1, 26-29 May 1997 Page(s):153 – 162
- [8] Sugimura, H., Ahmed, T., Orabi, M., Hyun-Woo Lee, Nakaoka, M., "Commercial Utility Frequency AC to High Frequency AC Soft Switchinh Power Conversion Circuit with Non Smoothing DC Link for IH Dual Packs Heater", Industrial Electronics Society, 2004. 30<sup>th</sup> Annual Conference of IEEE. 2-6 Nov 2004, pp. 1155-1160
- [9] K. Ogura, L. Gamage, T. Ahmed, M. Nakaoka, I. Hirota, H. Yamashita and H. Omori, "Performance evaluation of edge-resonant ZVS-PWM high-frequency inverter using

- trench-gate IGBTs for consumer induction cooking heater" IEE Proc.-Electr. Power Appl., Vol. 151, No. 5, September 2004, PP.563-568
- [10] Hui Cai, Rong Xiang Zhao, Shi Ping Wang, " Analysis and Design of Multiple Frequency IGBT High Frequency Inverter Supply for Induction Heating " Proceeding of International Conference on Electrical Machine and Systems 2007,PP.118-122
- [11] E.J.Davies "Conduction and Induction Heating"
- [12] UC3879. Unitrode Products from Texas Instruments, Phase Shift Resonant Controller, Available from: <http://focus.ti.com/lit/ds/symlink/uc3879.pdf>
- [13] LM317. National Semiconductor, LM117/LM317A/LM317,3-Terminal Adjustable Regulator, Available from: <http://www.national.com/mpf/LM/LM317.html>
- [14] Valery Rudnev, Don Loveless, Raymond Cook and Micah Black "Handbook of induction heating"

ภาคผนวก  
รายละเอียดงานจรพิมพ์



วงจรขับเกท



วงจรกำเนิดความถี่